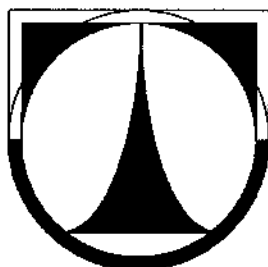


**TECHNICKÁ UNIVERZITA V LIBERCI**  
**FAKULTA STROJNÍ**  
**Katedra vozidel a motorů**



## **LABORATOŘE PÍSTOVÝCH SPALOVACÍCH MOTORŮ**

**Laboratories of piston combustion engines**

**BAKALÁŘSKÁ PRÁCE**

**Petr Diviš**

**Červen 2009**

**TECHNICKÁ UNIVERZITA V LIBERCI**  
**FAKULTA STROJNÍ**  
**Katedra vozidel a motorů**



Obor 23 – 17 – 8

Stroje a zařízení

Zaměření

Dopravní stroje a zařízení

**LABORATOŘE PÍSTOVÝCH SPALOVACÍCH MOTORŮ**

**Laboratories of piston combustion engines**

Bakalářská práce

KVM – BP – 146

Petr Diviš

Vedoucí bakalářské práce: Doc. Ing. Celestýn Scholz, Ph.D.  
Konzultant bakalářské práce: Ing. László, MSc. Vojtíšek - KVM

Počet stran: 55  
Počet obrázků: 27  
Počet tabulek: 15  
Počet příloh: 7  
Počet výkresů: 0

Červen 2009

**Místo pro vložení originálního zadání DP (BP)**

# **Laboratoře pístových spalovacích motorů**

## **Anotace**

Tato bakalářská práce popisuje současný stav laboratoře spalovacích motorů katedry vozidel a motorů při Technické univerzitě v Liberci. Porovnává úroveň vybavenosti laboratoře s vybranými pracovišti. Jejím úkolem je její využití k propagaci při získávání nových zakázek a projektů vědy a výzkumu. Předkládá také několik návrhů na zlepšení stavu a modernizaci.

Klíčová slova: dynamometr, brzdové stanoviště, laboratoř motorů

## **Laboratories of piston combustion engines**

## **Annotation**

This bachelor thesis describes the current situation of the gas engine laboratory at Department of Transport Machines at Technical University of Liberec. It compares the level of endowment of the laboratory with chosen workplaces. The aim is to use the thesis for promotion during the process of gaining new science and research contracts. It also proposes several suggestions for improvement and modernisation.

Key words: dynamometer, brake station, laboratory of engines

Zpracovatel:

Dokončeno :

Archivní označení zprávy:

TU v Liberci, Fakulta strojní, Katedra vozidel a motorů

2009

## Prohlášení k využívání výsledků bakalářské práce

Byl(a) jsem seznámen(a) s tím, že na mou bakalářskou práci se plně vztahuje zákon č. 121/2000 Sb. o právu autorském, zejména § 60 – školní dílo.

Beru na vědomí, že technická univerzita v Liberci (TUL) nezasahuje do mých autorských práv užitím mé bakalářské práce pro vnitřní potřebu TUL.

Užiji-li bakalářskou práci nebo poskytnu-li licenci k jejímu využití, jsem si vědom(a) povinnosti informovat o této skutečnosti TUL; v tomto případě má TUL právo ode mne požadovat úhradu nákladů, které vynaložila na vytvoření díla, až do jejich skutečné výše.

Bakalářskou práci jsem vypracoval(a) samostatně s použitím uvedené literatury a na základě konzultací s vedoucím diplomové práce a konzultantem.

V ..... dne .....

.....  
podpis

## Poděkování

Chtěl bych poděkovat Doc. Ing. Celestýnu Scholzovi, Ph.D., vedoucímu mé bakalářské práce se kterým jsem bakalářskou práci konzultoval. Chtěl bych také poděkovat všem pracovníkům laboratoře motorů za cenné rady. Dále bych rád poděkoval Prof. Ing. Michalu Takátsovi CSc. a Ing. Jiřímu Vávrovi Ph.D. za provedení laboratoří motorů na ČVUT v Praze. Také bych chtěl poděkovat Ing. Karlu Pávovi, Ph.D za provedení laboratoří motorů ve Škoda auto a.s.

## **Seznam symbolů a jednotek**

P	výkon	[kW]
M	kroutící moment	[Nm]
F	síla	[N]
n	otáčky	[ot/min]
$\omega$	úhlová rychlosť	[rad/s]
a	délka ramene	[m]

## Obsah

1	Úvod .....	9
2	Obecná problematika brzdových stanovišť motorů .....	10
2.1	Výkonové brzdy .....	10
2.1.1	Hydraulické brzdy .....	10
2.1.2	Elektromagnetické vířivé brzdy .....	12
2.1.3	Elektrické brzdy .....	13
2.1.4	Porovnání vlastností brzd .....	14
2.2	Sběr dat .....	15
2.3	Kalibrace .....	15
3	Popis uspořádání a vybavení laboratoře motorů KVM .....	15
3.1	Infrastruktura .....	16
3.2	Brzdové stanoviště č. 2 .....	18
3.3	Brzdové stanoviště č. 3 .....	21
3.4	Brzdové stanoviště č. 4 .....	24
3.5	Brzdové stanoviště č. 5 .....	28
3.6	Brzdové stanoviště č. 6 .....	30
3.7	Brzdové stanoviště č. 7 .....	33
3.8	Brzdové stanoviště č. 8 .....	34
3.9	Brzdové stanoviště č. 9 .....	35
3.10	Brzdové stanoviště č. 10 .....	39
3.11	Společné mobilní příslušenství .....	41
3.11.1	Měření plynných emisí .....	41
3.11.2	Měření pevných částic .....	44
3.11.3	Měření kapalných paliv .....	45
3.11.4	Měření koncentrace vodíku .....	45
3.11.5	Indikace tlaku ve válci spalovacího motoru .....	46
3.11.6	Vizualizace .....	46
4	Popis a uspořádání cizích laboratoří motorů .....	48
4.1	Popis uspořádání a vybavení laboratoře motorů ČVUT .....	48
4.2	Popis uspořádání a vybavení laboratoře motorů ŠKODA AUTO a.s. ....	50
5	Porovnání laboratoří .....	51
6	Návrhy na zlepšení stavu a modernizace .....	51
7	Závěr .....	54

## **1 Úvod**

Spalovací motor je nejrozšířenější energetický prostředek ve světě, který přeměňuje chemickou energii paliva na mechanickou energii. Slouží jako zdroj energie ve všech hospodářských odvětvích, především v dopravě, zemědělství, stavebnictví a mnoha dalších.

Na spalovací motory jsou kladený vysoké nároky, především vysoký výkon při nízké spotřebě a zároveň musí splňovat náročné emisní limity výfukových plynů. Vývoj motoru musí proto probíhat ve zkušebním provozu napodobujícím skutečné provozní podmínky daného vozidla. Výsledky zkoušek zpětně zasahují do konstrukce vozidla až do stádia celkového projektu, protože moderní měřící zařízení spolu s výpočetní technikou umožňují věrně simulovat provozní podmínky.

Cílem bakalářské práce je vytvoření souhrnné dokumentace současného stavu laboratoře spalovacích motorů katedry vozidel a motorů při Technické univerzitě v Liberci, která by mohla být využita k propagaci nabídek pro získávání projektů vědy a výzkumu. Součástí bakalářské práce je i průzkum uspořádání a vybavenosti brzdových stanovišť v laboratořích univerzit a pracovišť automobilového průmyslu a výsledky porovnat s laboratoří katedry vozidel a motorů.

## 2 Obecná problematika brzdrových stanovišť motorů

Základem každého brzdového stanoviště motorů je výkonová brzda pro nastavení požadovaného režimu motoru. Tento režim závislosti točivého momentu na otáčkách může být stacionární ( bod po bodu s ustálením parametrů ) nebo nestacionární ( plynule dynamický ) v závislosti na druhu brzdy a jejího řídícího ovládání.

Brzdové stanoviště je dále vybaveno sběrem dat z nejrůznějších měřících čidel. Tato data slouží k víceparametrové optimalizaci využívaných motorů.

## 2.1 Výkonové brzdy

Pro měření velikosti výkonu ve zkušebnách se používají výkonové brzdy. Výkon motoru se zjišťuje zprostředkováně ze základní rovnice

$$P = M \cdot \phi \quad \dots \dots \dots \quad (1)$$

pomocí měření otáček a výpočtu úhlové rychlosti

a momentu

$$M = F \cdot a \quad \dots \dots \dots \quad (3)$$

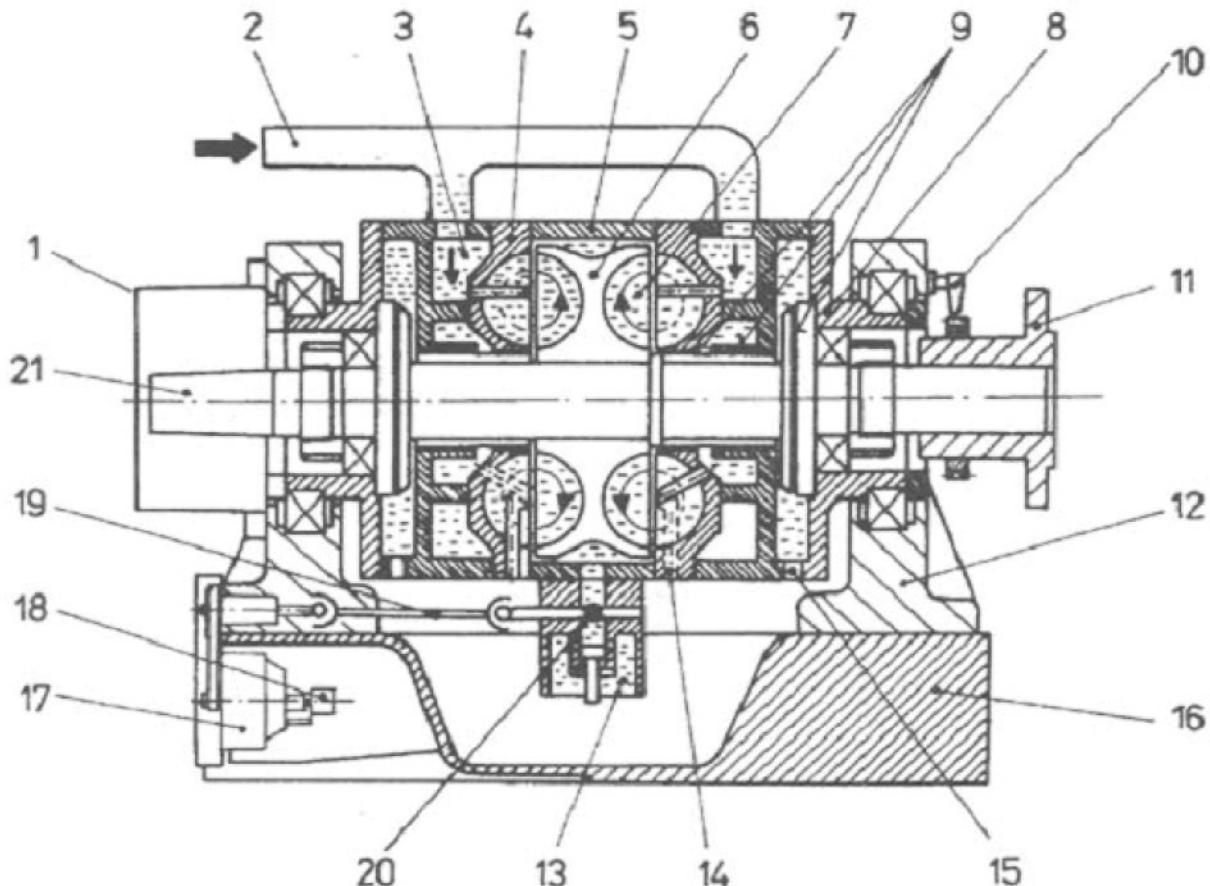
měříme reakční sílu  $F$  zjištěnou siloměrem na rameni  $a$  statoru brzdy.

### 2.1.1 Hydraulické brzdy

Tekutinové brzdy se vyznačují tím, že pohybová energie dodávaná hnacím strojem se mění v teplo vnitřním třením částic kapaliny (brzdy hydraulické) nebo plynu (brzdy vzduchové). Točivý moment je úměrný druhé mocnině otáček rotoru brzdy, protože síly vyvolané vnitřním třením představují v podstatě aerodynamický odpor, který je přibližně úměrný druhé mocnině rychlosti víření kapaliny. Příklad hydraulické brzdy s elektrickým ovládáním je znázorněn na obr. 1.

Jako kapaliny se používá voda, která v brzdě slouží současně jako pracovní médium i jako chladící prostředek. Přes přívod (2) se voda rovnoměrně rozděluje do kruhových komor (3) a otvory ve statorových lopatkách protéká do vířivých komor (7). Otáčející se rotor víří vodu v těchto komorách a tím přeměňuje odbrzděný výkon zkoušeného zařízení v tepelnou energii. Točivý moment, který brzda odebírá, je při konstantních otáčkách závislý na stupni naplnění vířivých komor. Plnění komor je závislé na poloze servoventilu (13), který je umístěn na tělese brzdy a ovládán motorkem. Po zmaření energie vytéká ohřátá voda z vířivých komor přes obě

kruhové mezery mezi statorem (4) a dvojitým rotorem (6). Přes servoventil (13) pak voda odtéká do odpadu.



Obr. 1 Schématické znázornění hydraulické brzdy s elektrickým ovládáním [ 1 ]

1 – kryt; 2 – přívod vzduchu; 3 – kruhová komora; 4 – stator; 5 – těleso; 6 – dvojitý rotor; 7 – vířivá komora; 8 – příruba mezilehlého ložiska; 9 – labyrintové těsnění; 10 – snímač otáčkoměru; 11 – spojovací příruba; 12 – ložiskový stojan; 13 – řídící ventil; 14 – odvzdušňovací otvor; 15 – otvor pro odvod prosakující vody; 16 – rám stroje; 17 – pohon řídícího ventilu; 18 – potenciometr pro nastavení skutečné hodnoty; 19 – kloubový hřídel; 20 – škrtící klapka; 21 – konec hřídele pro nasazení spojovací přírudy na opačnou stranu

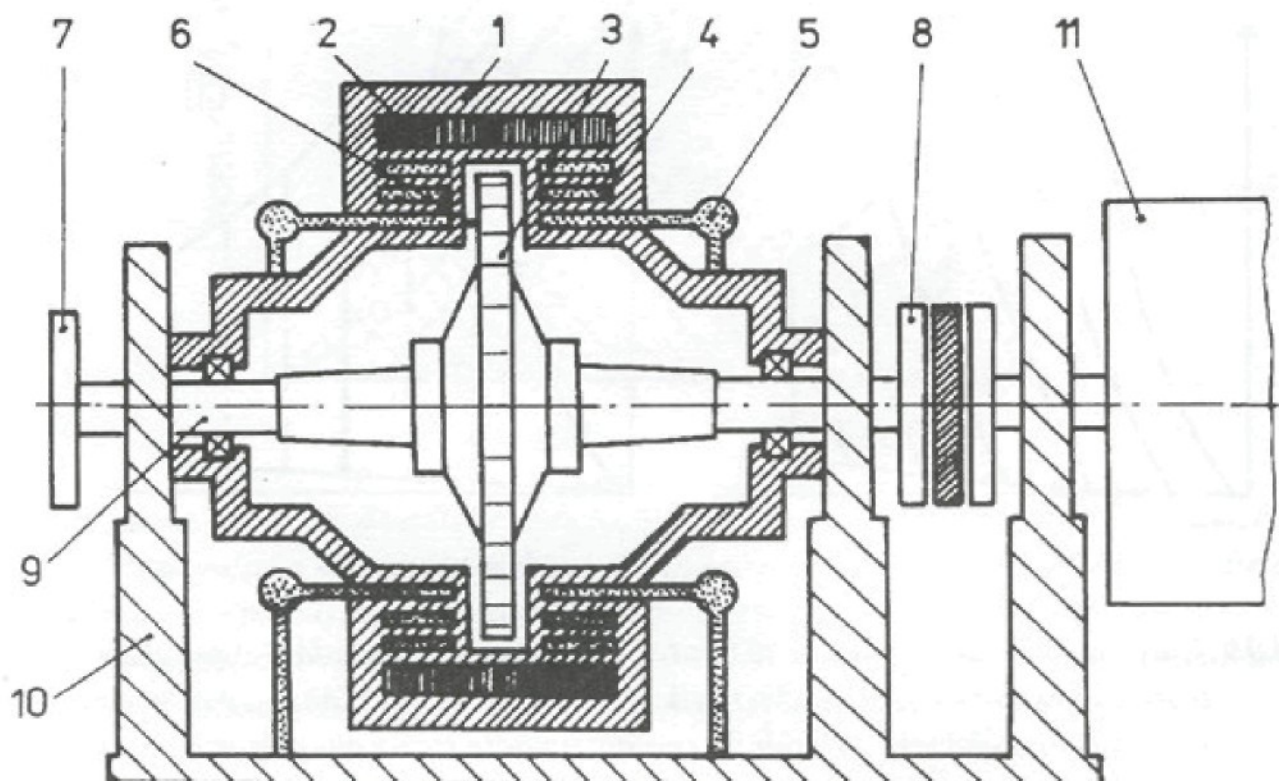
V průběhu přeměny energie přenáší voda točivý moment z dvojitého rotoru na oba statory, které jsou upevněny ve výkyvném tělese brzdy. Toto těleso se pákou opírá o siloměrné zařízení (mechanické váhy, pneumatický nebo elektrický siloměr). Rychlosť otáčení se měří bezdotykovým otáčkoměrem. Při použití elektrického měřícího zařízení může být točivý moment a počet otáček indikován analogovým nebo číslicovým ukazovacím přístrojem.

## 2.1.2 Elektromagnetické vířivé brzdy

Elektromagnetické vířivé brzdy mají širší využitelný rozsah otáček než hydraulické brzdy stejného výkonu.

U moderních vířivých brzd se točivý moment a otáčky nastavují elektricky. Proto jsou tyto brzdy velmi vhodné pro řešení úloh v automatizovaném zkušebnictví. Pro automatické nastavování zkušebního programu zkoušeného zařízení lze volit řízení podle časového plánu, pomocí počítače.

Výkyvně uložené těleso (1) obsahuje ozubený půlový kotouč (3). Dále těleso obsahuje budící vinutí (2) a chladící komory (4), kterými protéká voda. Při přítoku stejnosměrného proudu budícím vinutím vzniká magnetické pole. Toto pole je v zubech půlového kotouče statické, tzn. obíhá spolu s půlovým kotoučem. Ve stěnách chladících komor přivrácených ke kotouči však toto pole pulsuje s frekvencí, která odpovídá frekvenci otácejících se zubů. Tím vznikají ve stěnách komor vířivé proudy, které vytvářejí vstřícné pole a brzdí rotor. Odbrzděná energie se odvádí do chladících komor ve formě tepla. Magnetické silokřivky procházejí zuby pouze v axiálním směru. Proto může být půlový kotouč poměrně úzký, čímž se v porovnání s jinými konstrukcemi získá malý moment setrvačnosti. Konstrukce vířivé brzdy je symetrická a brzda se může proto otáčet oběma směry.



Obr. 2 Elektromagnetická vířivá brzda [ 1 ]

1 – těleso brzdy; 2 – budící ventil; 3 – plovový kotouč; 4 – chladící komory; 5 – vodní chlazení; 6 – vzduchová mezera; 7 – levá příruba; 8 – pravá příruba; 9 – hřídel brzdy; 10 – rám; 11 – připojené měřené zařízení

### 2.1.3 Elektrické brzdy

Elektrické brzdy (často označované jako dynamometry) jsou v podstatě elektrické stroje, které pracují jako elektrické generátory nebo elektromotory s výkyvně uloženým statorem. Výkyvné uložení může být (podobně jako u hydraulických a vířivých brzd) dvojího druhu. Buď je stator zavěšen v ložiskách hřídele rotoru a hřídel rotoru v pevných ložiskách, nebo je stator výkyvně uložen v pevných ložiskách, uložených v statoru.

Dynamometr může pracovat při chodu generátorickém i motorickém a v obou smyslech točení.

Při chodu generátorickém se používá jako brzda k zatěžování poháněcích strojů (motorů všech druhů), při chodu motorickém k určování ztrátového výkonu protáčením strojů poháněných, případně k jejich startování.

Použití dynamometru k brzdění poháněcích strojů je zvláště výhodné, neboť energie vznikající brzděním se rekuperuje do sítě.

#### Stejnosměrné

Každý stejnosměrný stroj může pracovat jako generátor nebo motor. Stator se skládá z ocelového prstence, na kterém jsou uloženy póly s budicím vinutím. Rotor se skládá ze svazku elektrotechnických plechů, v nichž je umístěno vinutí. Začátky a konce cívek rotorového vinutí jsou zapájeny do lamel komutátoru. Po lamelách komutátoru kloužou sběrné uhlíkové kartáče.

Statorové vinutí napájené ze stejnosměrného zdroje vytváří magnetické pole. Magnetický tok prostupuje vinutím otáčeného rotoru, v rotorovém vinutí se indukuje střídavé napětí, které je usměrněno pomocí komutátoru.

#### Střídavé

##### - asynchronní

Asynchronní stroje se používají nejčastěji jako motory. Jsou nejrozšířenějšími elektromotory vůbec a používají se proto, že jsou nejjednodušší, nejlacinější, jsou také provozně nejspolohlivější a vyžadují malou údržbu.

Otáčí-li se asynchronní stroj, připojený k síti rychlostí větší než synchronní, pak v takovém stavu pracuje stroj jako generátor, tj. přeměňuje mechanickou energii na elektrickou. Asynchronní stroj odebírá vždycky (v režimu motorickém i generátorickém) magnetizační příkon ze sítě, napájené synchronními generátory. Pokud chceme asynchronní stroj provozovat v režimu samostatně pracujícího generátoru, musí mít na svorkách statoru připojen trojfázový kondenzátor o jalovém výkonu rovném alespoň magnetizační spotřebě generátoru.

Kmitočtový (frekvenční) měnič je nutný ke změně kmitočtu, která je potřeba k plynulé a hospodárné regulaci otáček asynchronního stroje. Výstupní napětí měniče není sinusové (obsahuje harmonické složky), proto ve stroji vznikají vyšší přídavné ztráty. Tímto napětím je namáhána i izolace vinutí.

#### - synchronní

Synchronní stroje jsou dodnes nejdůležitější elektrické generátory pro výrobu elektrické energie, které se také nazývají alternátory a jsou nejčastěji v trojfázovém provedení. Později se synchronní stroje začaly používat také jako motory, jednak jako synchronní kompenzátory (pro zlepšení účiníku v elektrické síti), jednak pro pohony velkých čerpadel, ventilátorů a kompresorů.

Stator synchronního stroje se příliš neliší od statoru asynchronního stroje a obsahuje trojfázové vinutí, které je umístěno v drážkách. Na rotoru je pak umístěno budící vynutí napájené stejnosměrným proudem přes sběrací kroužky a kartáče.

Otáčí-li poháněcí stroj, nabuzeným rotem indukují se v jednotlivých cívkách statoru střídavá napětí, sinusového průběhu, která jsou v jednotlivých cívkách vzájemně časově posunutá.

Prochází-li vinutím statoru střídavý trojfázový proud, vzniká stejně jako u asynchronního stroje točivé magnetické pole s otáčkami  $n$ , které má stejnou rychlosť otáčení jako rotor a jeho magnetické pole, skruz (rozdíl otáček) stroje je tedy nulový. Proto se nazývá synchronní. Rotor stroje vychýlen oproti magnetickému poli o určitý kladný úhel (předbíhá).

#### 2.1.4 Porovnání vlastností brzd

Hydraulické brzdy jsou vhodné pro stacionární testy, jejich točivý moment roste s druhou mocninou otáček.

Vířivé dynamometry mají díky malému rotoru nízký moment setrvačnosti. Mají také širší využitelný rozsah otáček.

Elektrické brzdy mohou pracovat v generátorickém i motorickém chodu, při brzdění motorů se vznikající energie rekuperuje do sítě, nevyžadují vodní chlazení. Jsou vhodné pro nestacionární testy, simulaci různých druhů zatížení, včetně dynamického zatěžování od setrvačných hmot.

## **2.2 Sběr dat**

Napěťové nebo proudové údaje čidel umístěných na zkoušeném motoru se zpracovávají a převádějí na data parametrů v příslušných jednotkách ( Pa, °C, ppm, apod. ). Toto zpracování více dat současně zabezpečují nejrůznější elektronické sestavy se softwarovým zpracováním na PC.

## **2.3 Kalibrace**

Přesnost měřící jednotky momentu dynamometru se kontroluje pomocí kalibrační jednotky, sestávající se ze dvou kalibračních ramen a dvou závěsných misek na závaží.

Měřící jednotka momentu se musí kontrolovat po každé změně montáže snímače síly nebo upevnění výkyvného tělesa vřívého dynamometru. Za upevnění výkyvného tělesa se považují pružné podpory a ložiskové stojany.

K výkyvnému tělesu se přišroubují kalibrační ramena a do misek je vloženo závaží, jak se žádá pro příslušný dynamometr. Závaží jsou přidávána až se dosáhne plného rozsahu stupnice měřidla momentu, následně jsou závaží ve stejných krocích odebírána. Odchylinky naměřených hodnot musí být uvnitř tolerančního pole.

# **3 Popis uspořádání a vybavení laboratoře motorů KVM**

Laboratoř pístových spalovacích motorů (obr. 3) katedry vozidel a motorů ( KVM ) se nachází v hale budovy E Technické Univerzity v Liberci. Je zde umístěno devět brzdových stanovišť pro měření motorů. Čtyři z nich jsou elektrické (stanoviště 6, 8, 9, 10), dvě hydraulické (4, 5) a tři vřívé (2, 3, 7) jejich rozmístění je znázorněno v příloze 1. Brzdová stanoviště jsou umístěna v jedné velké hale, to přináší výhody snazší manipulace s instalovanými motory a menších nároků na odvětrání velké místnosti. Velikou nevýhodou je hlučnost, která při měření na jednom stanovišti obtěžuje jeho obsluhu i ostatní pracovníky.



Obr. 3 Celkový pohled na laboratoř motorů KVM

### **3.1 Infrastruktura**

Elektrické brzdy jsou spojeny silovými rozvody o napětí  $3 \times 380$  V a maximálním proudu 900 A s trafostanicí. Při protáčení motorů se energie ze sítě odebírá a při brzdění je možno ji do sítě dodávat. Dimenzování rozvodů neumožňuje současný provoz více elektrických brzd současně.

Chladící systém vodních a vířivých brzd je napojen na vodní z bazén, který se nachází pod částí podlahy laboratoře KEZ. Voda je do systému dodávána podávacím čerpadlem a odsávací čerpadlem odvedena zpět do bazénu.

Rozměry bazénu:

Délka bazénu 16,5 m  
Výška bazénu 2,1 m  
Šířka bazénu 2,625 m  
Množství vody v bazénu  $65\text{ m}^3$

Laboratoř je odvětrána čtyřmi ventilátory. Vzhledem k halovému uspořádání laboratoře je často využíváno větrání otevřenými dveřmi, které je velice účinné, ale je možné použít pouze s ohledem na počasí. Pro odsávání výfukových plynů od

měřených motorů je centrální sběrné potrubí. Toto potrubí je vyvedeno nad střechu budovy a výfukové plyny jsou odsávány rotačním dmychadlem.

Laboratoř je vybavena jeřábem o nosnosti 3000 kg, určeným k manipulaci s instalovanými motory a brzdami.

#### **Rozvod plynů:**

Laboratoř má vlastní sklad plynů umístěný na dvoře sousedící s laboratoří.

Ze svazku dvanácti lahví o celkovém objemu 145 litrů je vodík dodáván do rozvodu. Z 20 MPa v lahvích je tlak plynu regulován na 4 MPa do středotlakého rozvodu a je přiveden ke stanovištěm číslo 3, 8 a 10. Vysokotlakým rozvodem 20 MPa je přiveden ke stanovišti číslo 3.

Zemní plyn je přiveden jako vysokotlaký (11,5 MPa) ke stanovištěm číslo 2, 3, 4, 5, 6, 9 a 10. Jako nízkotlaký (2,2 MPa) je přiveden ke stanovištěm číslo 2, 4, 6, 8 a 10. Zdrojem zemního plynu je soustava patnácti tlakových lahví. Každá láhev má objem 95 litrů. Lahve jsou konstruovány na maximální tlak 30 MPa. Zemní plyn je do této soustavy dodáván z běžného rozvodu a na provozní tlak 11,5 MPa je stlačen třístupňovým kompresorem.

Propan-butan je přiveden ke stanovištěm číslo 3, 9 a 10.

Zdrojem propan-butanu jsou tři sudy, každý o hmotnosti náplně 200 kg. Ze sudů se odebírá kapalná fáze propan-butanu (LPG). Tato kapalná fáze se potrubím vede až k pracovišti, kde se ve výparníku získává plyn dodávaný do motoru. Tlak plynu není regulován.

U stanoviště číslo 10 je umístěn směšovač vodíku a zemního plynu, tato směs je přivedena ke stanovišti číslo 9.

U schodiště ke skladu náhradních dílů je rozvod cejchovních plynů pro měření emisí u válcové brzdy. V budoucnu by se mohl rozšířit i do laboratoře motorů, ale s ohledem na délku potrubí by se jednalo jen o některá stanoviště.

#### **Bezpečnostní ochrana:**

Vzhledem halovému usporádání laboratoře a umístění ovládání některých stanovišť v bezprostřední blízkosti brzdy je nutné používat sluchátka pro ochranu sluchu. Ta jsou umístěna u vchodu do laboratoře.

Pro případ nebezpečí utržení rotující části motoru se doporučuje postavit k boku motoru zástěnu. Obsluha se nesmí za provozu motoru pohybovat v místech kolmých na jeho osu.

Pro případ úniku plynů jsou nad stanovišti umístěny senzory zjišťující únik plynů lehčích než vzduch. Pod podlahou jsou umístěny senzory zjišťující únik plynů těžších než vzduch. Tím by se mělo předejít nebezpečí výbuchu nebo nadýchaní obsluhy zdraví nebezpečných plynů.

### **3.2 Brzdové stanoviště č. 2**

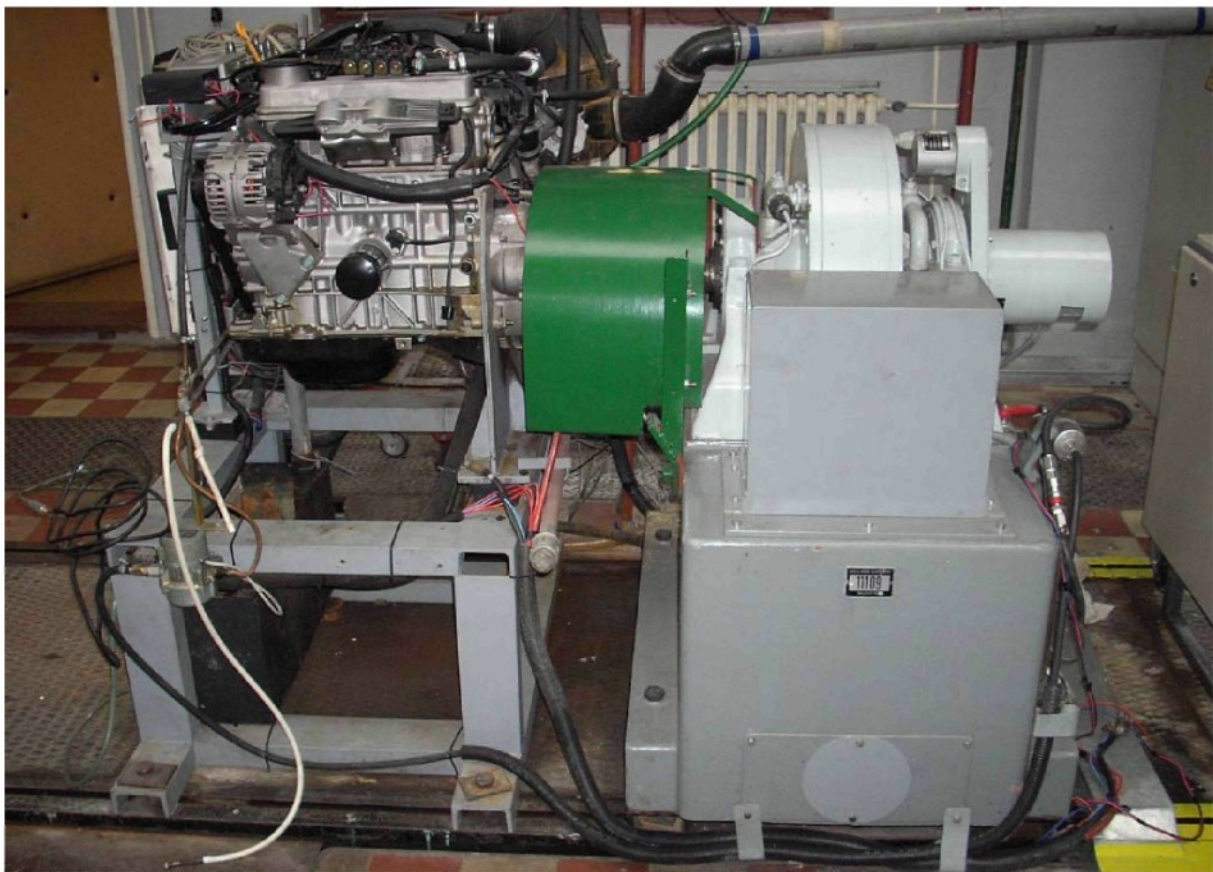
Toto stanoviště je složeno z vířivého dynamometru Schenck WT 150, jehož základní údaje jsou v tab. 1 a charakteristika v příloze 2. Napájecího rozvaděče R1 připraveného pro řízení z PLC a ovládací skříňky s měřicími přístroji a ovladači pro ruční ovládání. Dynamometr je vybaven tenzometrickým snímačem momentu s převodníkem a inkrementálním snímačem otáčivé rychlosti. Regulaci otáček a momentu provádí přímo digitální regulační obvody měniče SIEMENS 6RA70. Stanoviště je na obr. 4 a ovládací pult, který je v oddělené místnosti od laboratoře je společný pro brzdové stanoviště č. 2 a 3 je na obr. 5.

Pro sběr dat je připraveno 16 kanálů s analogovými vstupy (napěťové/proudové) a 8 kanálů s analogovými výstupy (napěťové). Čtyři kanály jsou určeny pro termočlánky. Sběr dat se provádí pomocí programu Coramsys 3.15, jehož grafické prostředí je na obr. 6. Aktuálně použitá čidla, která je v případě potřeby možné vyměnit, případně doplnit jsou v tab. 2.

U tohoto stanoviště je umístěn chladič PIKAZ – VDZ typ 0 NP 0532 pro chlazení a teplotní stabilizaci paliva (benzín, nafta), oleje a vody z připojeného motoru. Chladící výkon pro vodní okruh je 190 kW, pro olejový okruh 65 kW a palivový okruh 1 kW.

Maximální výkon [kW]	132
Maximální moment [Nm]	400
Maximální otáčky [ $\text{min}^{-1}$ ]	10 000

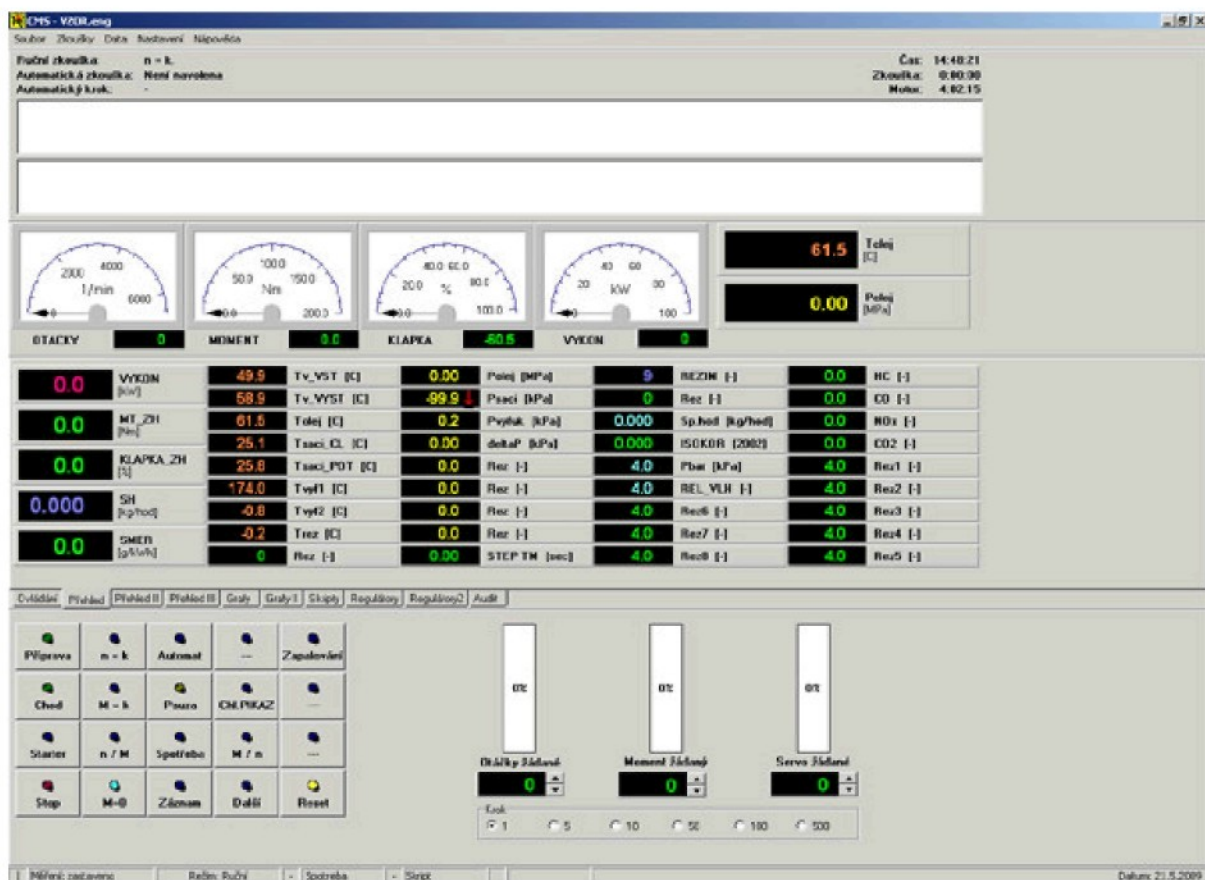
Tab. 1 Technické údaje stanoviště číslo 2 - Schenck WT



Obr. 4 Brzdové stanoviště číslo 2 - Schenck WT 150



Obr. 5 Ovládací pult pro stanoviště 2 a 3



Obr. 6 Grafické prostředí programu Coramsys 3.15

Parametr	Snímač – přístroj	Rozsah
Otáčky motoru [1/min]	Měřeno ovládáním dynamometru	
Poloha škrtící klapky [°]	Měřeno ovládáním dynamometru	
Točivý moment [Nm]	Měřeno ovládáním dynamometru	
Teplota vody před chladičem [°C]	Pt 100	
Teplota vody za chladičem [°C]	Pt 100	
Teplota výfukových plynů před katalyzátorem [°C]	Termočlánek	
Teplota výfukových plynů za 1. katalyzátorem [°C]	Termočlánek	
Teplota výfukových plynů za 2. katalyzátorem [°C]	Termočlánek	
Průtok vzduchu [m <sup>3</sup> /h]	Clonka	
Teplota oleje [°C]	Pt 100	
Teplota sání [°C]	Pt 100	
Teplota na clonce [°C]	Pt 100	

Tlak na clonce [kPa]	JSP	0 ÷ 3
Tlak výfukových plynů [bar]		0 ÷ 4
Tlak v sání [kPa]		-100 ÷ 250
Tlak oleje [bar]		0 ÷ 6
Atmosférický tlak [kPa]		
Teplota okolního vzduchu [°C]	Pt 100	
Vlhkost [%]		

Tab. 2 Použité snímače na stanovišti číslo 2 - Schenck WT 150

### 3.3 Brzdové stanoviště č. 3

Na stanovišti číslo 3 je umístěn vířivý dynamometr Schenck WT 190 skládající se ze dvou chladících komor se soustřednými kanály, které dohromady jsou namontovány na dvou podporách. Uvnitř tělesa je rotor diskového tvaru, složený z více částí a uložený v kuličkových ložiskách s drážkou, která mají životnostní tukovou náplň.

Těleso dynamometru také obsahuje budící cívku se soustředným vinutím. Pólové kolo rotoru se otáčí ve středu budící cívky.

Výkyvné uložení tělesa vířivého dynamometru a jeho působení na snímač síly pomocí páky umožnuje měření a zobrazení brzdného momentu jako síly působící na rameno dané délky. Výkon se stanoví měřením rychlosti a momentu. Šedesáti zubový pólový disk na spojovací přírubě vířivého dynamometru dává 60 impulsů na otáčku pro rychlostní převodník. Brzdové stanoviště číslo 3 je na obr. 7, jeho ovládací stanoviště společné se stanovištěm číslo 2 je na obr. 5. Základní technické údaje jsou v tab. 3 a charakteristika v příloze 3.

Chlazení brzdy má samostatný vodní okruh s upravenou chladící kapalinou a regulaci teploty pomocí tepelného výměníku PIKAZ – VDZ Lume IP65, který je napojen na vnější chladící okruh s bazénem.

Pro sběr dat je připraveno 32 kanálů na čtyřech měřících kartách. Pro ovládání brzdy a sběr dat je použit program Coramsys 2.0, jehož grafické prostředí je na obr. 8. U tohoto stanoviště se používá sběr dat a ovládání řídící jednotky motoru pomocí programu Monitor 3.0.

U tohoto stanoviště je umístěn chladič PIKAZ – VDZ typ 0 NP 0532 pro chlazení a teplotní stabilizaci paliva (benzín, nafta), oleje a vody z připojeného motoru. Chladící výkon pro vodní okruh je 190 kW, pro olejový okruh 65 kW a palivový okruh 1 kW.

Toto je jediné stanoviště u kterého jsou umístěny dynamické váhy AVL 733 S. Váha umístěná vlevo je určena pro měření nafty a druhá je určena pro měření benzínu. Měřicí paliva AVL 733 S pracuje na principu gravimетrického měření. Při tom je palivo dodáváno do motoru z měřící nádoby, jejíž váha je kontinuálně měřena.

Gravimetrický princip měření umožňuje přímé měření spotřebovaného množství paliva. Není nutné zjišťovat teplotu a hustotu paliva, což u volumetrického postupu je ovlivněno tolerancemi snižujícími přesnost.

Dynamické váhy AVL 733 S mohou měřit spotřebu v rozsahu 0 – 150 kg/h v případě zvláštního použití až do 400 kg/h.

Maximální výkon [kW]	190
Maximální moment [Nm]	600
Maximální otáčky [ $\text{min}^{-1}$ ]	10 000

Tab. 3 Technické údaje stanoviště číslo 3 - Schenck WT 190



Obr. 7 Brzdové stanoviště číslo 3 - Schenck WT 190



Obr. 8 Grafické prostředí programu Coramsys 2.0

Parametr	Snímač – přístroj	Rozsah
Otáčky motoru [1/min]	Měřeno ovládáním dynamometru	
Poloha škrtící klapky [°]	Měřeno ovládáním dynamometru	
Točivý moment [Nm]	Měřeno ovládáním dynamometru	
Teplota oleje [°C]	Pt 100	
Teplota vzduchu [°C]	Pt 100	
Teplota vody před chladičem [°C]	Pt 100	
Teplota vody za chladičem [°C]	Pt 100	
Teplota výfukových plynů před katalyzátorem [°C]	Termočlánek	
Teplota výfukových plynů za katalyzátorem [°C]	Termočlánek	
Tlak v sání za škrticí klapkou [bar]	Snímač DMP BD 331	-1 ÷ 0
Tlak výfukových plynů před katalyzátorem [bar]	Snímač DMP BD 331	0 ÷ 0,6
Tlak výfukových plynů za katalyzátorem [bar]	Snímač DMP BD 331	0 ÷ 0,6
Tlak oleje [bar]	Snímač DMP BD 331	0 ÷ 10

Tlak – nezapojený [bar]		
Tlak v sání za mezichladicem [bar]		0 ÷ 2,5
Tlak paliva – benzín [bar]	Snímač DMP BD 331	0 ÷ 6
Tlak paliva – nafta [bar]	Snímač DMP BD 331	0 ÷ 10
Teplota paliva – benzín [°C]	Pt 100	
Teplota paliva – nafta [°C]	Pt 100	
Teplota paliva [°C]	Nezapojen	
Teplota paliva [°C]	Nezapojen	
Atmosférický tlak [bar]	Snímač DMP BD 111	900 ÷ 1100
Teplota okolního vzduchu [°C]		
Vlhkost [%]		

Tab. 4 Použité snímače na stanovišti číslo 3 - Schenck WT 190

### 3.4 Brzdové stanoviště č. 4

Na tomto stanovišti je umístěna hydraulická brzda Schenck D 630 – 1 (obr. 9). Voda v brzdě se při otáčení rotoru víří v kruhových komorách a vytváří tím brzdný moment. Zároveň slouží jako chlazení a odvádí zmařenou energii v podobě ohřáté vody. Technické údaje jsou v tabulce 5 a charakteristika brzdy v příloze 4. Tato brzda může měřit jen ustálené stavy a to v jednom smyslu otáčení, ale je možné připojit motor z obou stran a tím změnit smysl brzdného momentu. Charakteristika brzdy je v příloze 4.

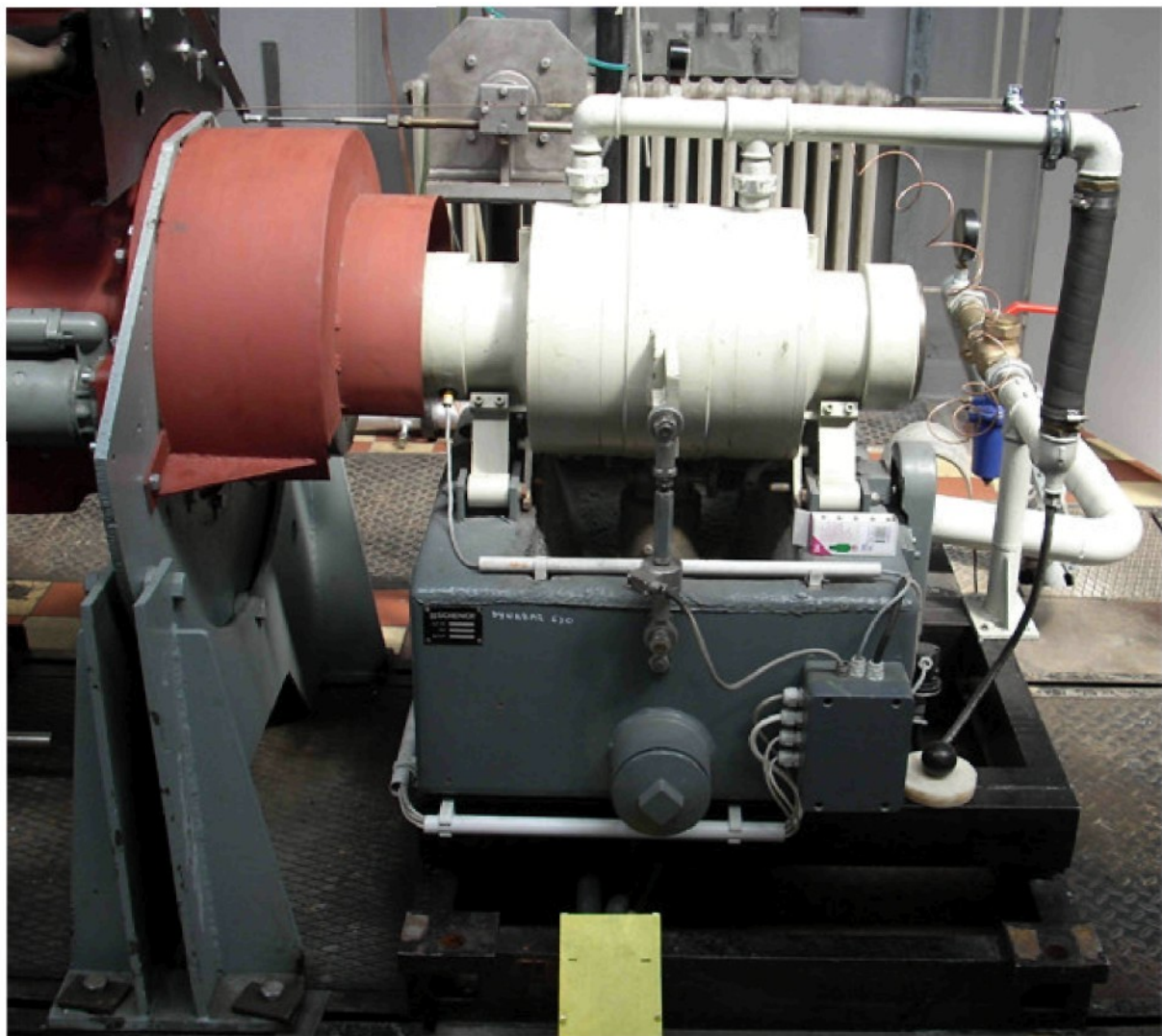
Pro sběr dat je zde 32 kanálů, ale měřící karty jsou společně se stanovištěm číslo 5, proto se musí přepojovat. Společné je i ovládací stanoviště (obr. 10), z toho důvodu není možné pracovat na obou stanovištích současně. Ovládání brzdy je řízeno programem Controlweb, ten slouží i pro sběr dat. Aplikace pro ovládání a sběr dat byla vytvořena na TUL. Grafické prostředí programu Controlweb je na obr. 11.

Stanoviště je osazeno traktorovým motorem s vlastním chladícím systémem, odpadní teplo je odváděno do laboratoře.

Aktuálně použité snímače jsou v tabulce 6.

Maximální výkon [kW]	630
Maximální moment [Nm]	3000
Maximální otáčky [ $\text{min}^{-1}$ ]	5500

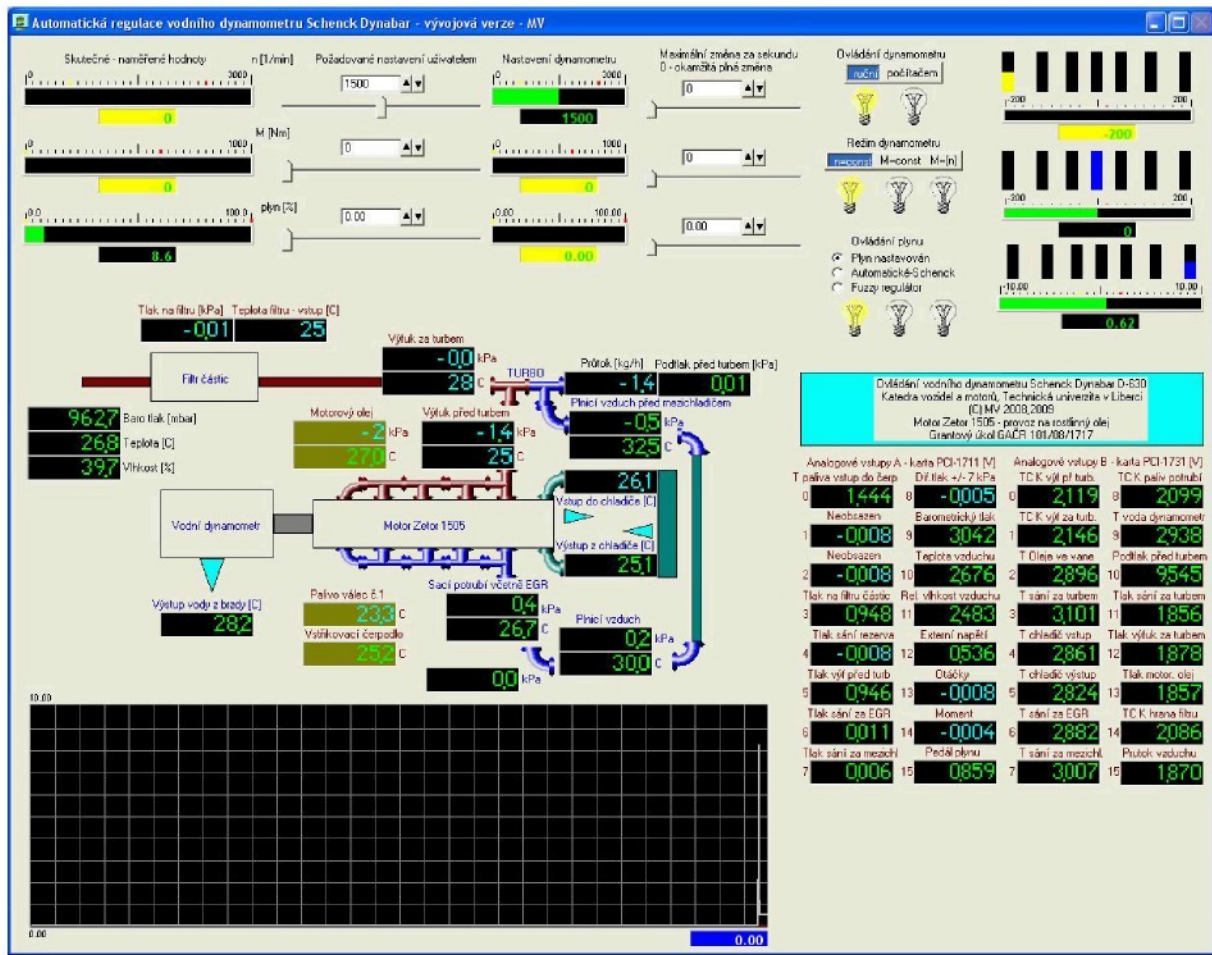
Tab. 5 Technické údaje stanoviště číslo 4 - Schenck D 630 – 1



Obr. 9 Brzdové stanoviště číslo 4 - Schenck D 630 – 1



Obr. 10 Ovládací pult pro stanoviště 4 a 5



Obr. 11 Grafické prostředí programu Controlweb pro stanoviště č. 4 – aplikace vytvořená na TUL

Parametr	Výrobce	Rozsah
Měřicí karta PCI-1711	Advantech	16 x AI 0-10V
(měřicí karty společné pro stanoviště 4 a 5)		16 DI, 16 DO
		2 x AO 0-10V
Měřicí karta PCI-1731	Advantech	16 x AI 0-10V
		16 DI, 16 DO
Aplikace Control Web	Moravské přístroje	
Tlak v sání za turbodmychadlem	JSP	0-160 kPa rel.
		0-400 kPa abs.
Tlak v sání za turbodmychadlem	JSP	0-160 kPa rel.
		0-400 kPa abs.
Tlak v sání za mezichladičem	JSP	0-160 kPa rel.
		0-400 kPa abs.
Tlak v sání za mezichladičem	JSP	0-160 kPa rel.
		0-400 kPa abs.
Tlak v sání za vstupem EGR	JSP	0-160 kPa rel.
		0-400 kPa abs.
Tlak v sání za vstupem EGR	JSP	0-160 kPa rel.
		0-400 kPa abs.
Tlak v sání (rezerva)	JSP	0-260 kPa abs.
Tlak oleje	JSP	0-600 kPa rel.
Tlak výstupu před turbem	JSP	0-400 kPa rel.

Tlak výfuku za turbem	JSP	0-25 kPa rel.
Tlak nasávaného vzduchu	neuveden	+/- 7 kPa rel.
Tlak v sání (rezerva)	JSP	0-400 kPa abs.
Tlak na clonce nasávaného vzduchu	JSP	-10 kPa rel.
Relativní vlhkost nasávaného vzduchu	Sensorika	0-100%
Teplota nasávaného vzduchu	Sensorika	0-60 °C
Teplota výfukových plynů v zachycovači pevných částic	JSP TK	T/CK
Teplota vody v dynamometru		
Hmotnostní tok nasávaného vzduchu	Sierra Instruments 620S	0-90 nmmps
Teplota výfuku před turbem	JSP	T/C K
Teplota výfuku za turbem	JSP	T/C K
Teplota vzduchu za turbem	Jumo Vibrotemp	Pt 100
Teplota vzduchu za mezichladičem	Jumo Vibrotemp	Pt 100
Teplota vzduchu za vstupem EGR	Jumo Vibrotemp	Pt 100
Teplota oleje ve vaně	Sensit	Pt 100
Teplota chladící kapaliny – vstup	Jumo Vibrotemp	Pt 100
Teplota chladící kapaliny – výstup	Jumo Vibrotemp	Pt 100
Teplota paliva na vstupu do vstřikovacího čerpadla	Jumo Vibrotemp	Pt 100
Převodníky T/C na 4-20 mA, 2 x	JSP 2x Pt040	
Převodníky T/C nebo Pt-100 na 4-20 mA, 6 x	JSP 8x P5311	
Převodníky T/C nebo Pt-100 na 4-20 mA, 2 x	JSP 2x P5311	

Tab. 6 Použité snímače na stanovišti číslo 4 - Schenck D 630 – 1

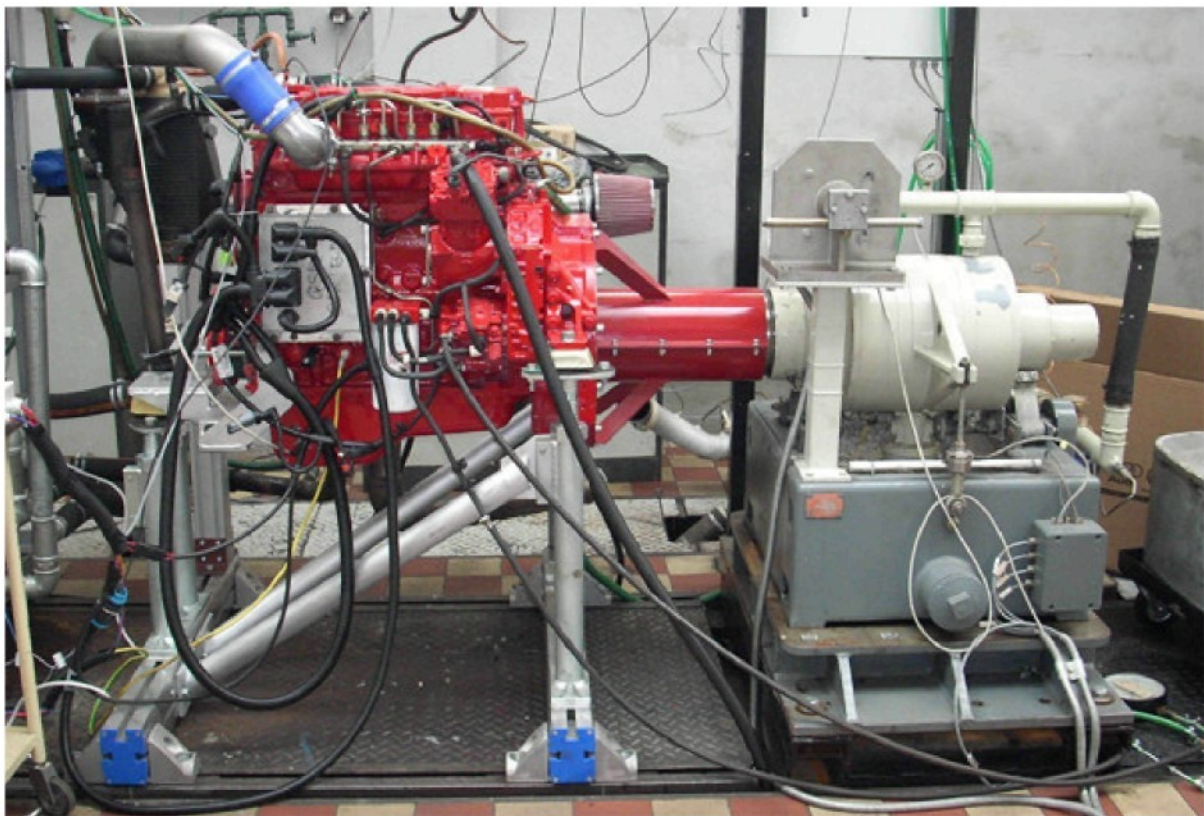
### 3.5 Brzdové stanoviště č. 5

Na obr. 12 je brzdové stanoviště číslo 5 s hydraulickou brzdu Schenck D 700 – 1e. Jedná se o hydraulickou brzdu s elektrickým ovládáním. Voda slouží k přeměně odbržděného výkonu na tepelnou energii ve vířivých komorách. Charakteristika brzdy je v příloze 5 a technické údaje v tabulce 7. Chlazení motoru a mezichladiče stlačeného vzduchu je napojeno na tepelný výměník, do kterého je přivedena voda z bazénu pro chlazení dynamometrů.

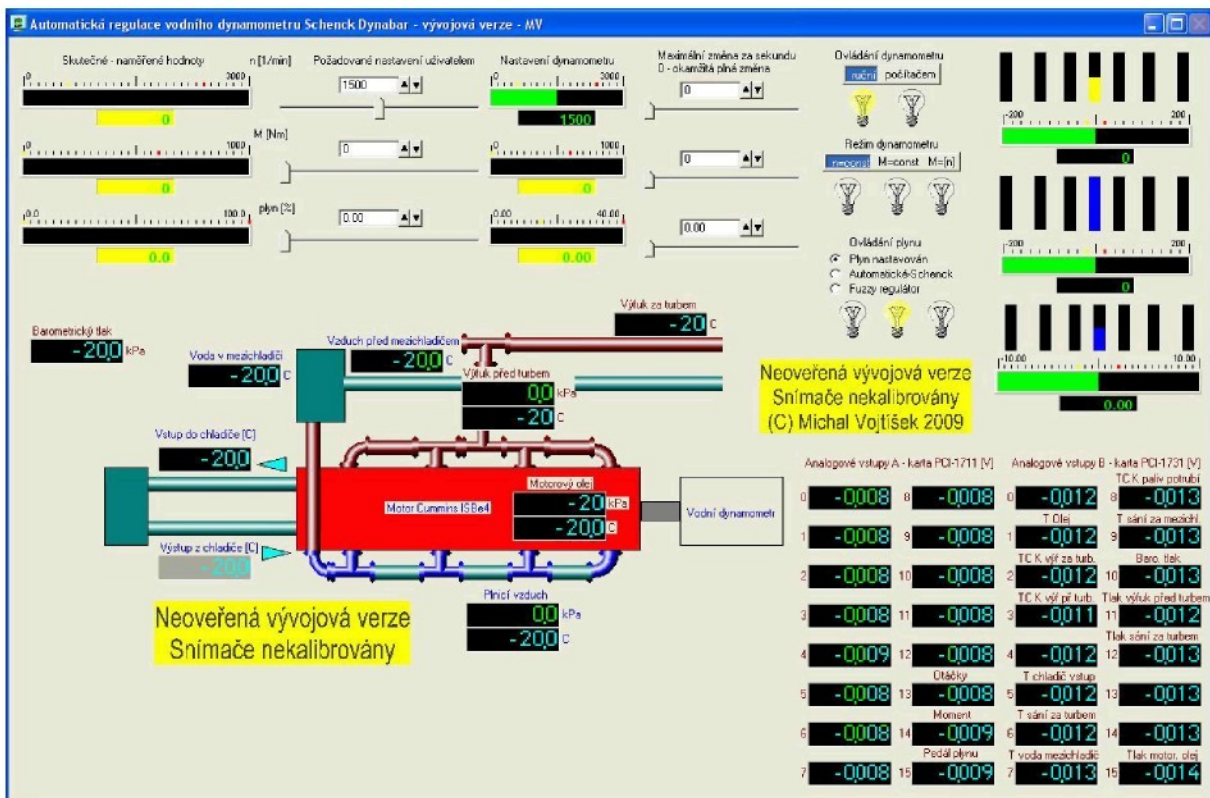
Ovládací stanoviště je společné se stanovištěm č. 4. Pro sběr dat je použito grafické prostředí programu Controlweb – aplikace vytvořená na TUL, prozatím je ve stádiu vývoje a testování. Vývojová verze grafického rozhraní je na obr. 13. Aktuálně použité snímače jsou v tabulce 8.

Maximální výkon [kW]	700
Maximální moment [Nm]	3 000
Maximální otáčky [ $\text{min}^{-1}$ ]	7 500

Tab. 7 Technické údaje stanoviště číslo 5 - Schenck D 700 – 1e



Obr. 12 Brzdové stanoviště číslo 5 - Schenck D 700 – 1e



Obr. 13 Grafické prostředí programu Controlweb pro stanoviště č. 5 – aplikace vytvořená na TUL (vývojová verze)

Parametr	Výrobce	Rozsah
Měřicí karta PCI-1711 (měřicí karty společné pro stanoviště 4 a 5)	Adventech	16 x AI 0-10V 16 DI, 16 DO
		2 x AO 0-10V
Měřicí karta PCI-1731	Adventech	16 x AI 0-10V 16 DI, 16 DO
Aplikace Control Web	Moravské přístroje	
Tlak v sání za turbodmychadlem	JSP/BD Senzore	0-400 kPa abs.
Tlak v sání za mezichladičem	JSP/BD senzore	0-400 kPa abs.
Tlak v sání		-100 kPa rel.
Tlak v sání (rezerva)	Jumo	0-100 kPa abs.
Tlak oleje	Jumo	0-10 bar rel.
Tlak výfuku před turbem	Jumo	0-5 bar rel.
Tlak výfuku za turbem	JSP	-25 +25 kPa
Tlak výfuku za turbem (rezerva)	Jumo	0-40 kPa rel.
Hmotnostní tok nasávaného vzduchu	Clonka	
Teplota výfuku před turbem	JSP	T/C K
Teplota výfuku za turbem	JSP	T/C K
Teplota nasávaného vzduchu	Jumo Vibrotemp	Pt 100
Teplota vzduchu za turbem	Jumo Vibrotemp	Pt 100
Teplota vzduchu za mezichladičem	Jumo Vibrotemp	Pt 100
Teplota oleje	Jumo Vibrotemp	Pt 100
Teplota chladicí kapaliny - vstup	Jumo Vibrotemp	Pt 100
Teplota chladicí kapaliny - výstup	Jumo Vibrotemp	Pt 100
Teplota paliva - nezapojen	Jumo Vibrotemp	Pt 100
Teplota vody v mezichladiči	Jumo Vibrotemp	Pt 100
Převodníky T/C nebo Pt-100 na 4-20 mA	JSP P5311 2x	
Převodníky Pt-100 na 4-20 mA	JSP 8x	

Tab. 8 Použité snímače na stanovišti číslo 5 - Schenck D 700 – 1e

### 3.6 Brzdové stanoviště č. 6

Na stanovišti číslo 6 je umístěn asynchronní dynamometr ASD 235 M250, který je na obr. 14. Dynamometry řady ASD jsou konstruovány na bázi vysokootáčkového asynchronního stroje, vybaveného tenzometrickou měřící přírubou a inkrementálním snímačem otáčivé rychlosti. Toto uspořádání umožňuje měření a regulaci poháněných a zatěžovacích kroutících momentů včetně momentů vznikajících při dynamickém zatěžování od setrvačných hmot a tím simuloval a měřit průběhy dynamických testů. Technické údaje dynamometru jsou v tab. 9.

Regulaci otáček a momentu provádí přímo digitální regulační obvody měřiče SIMOVERT SIEMENS, který je spojený přes komunikační linku PROFIBUS-DP (1.5 Mbaud) s PLC SIMATIC S7-300. Naměřená data jsou předána na obrazovku operátorského panelu OP27 nebo na obrazovku řídícího počítače (option – měřící

systém CMSW). Zadávání režimů a žádaných hodnot z klávesnice operátorského panelu, případně prostřednictvím komunikace PROFIBUS z řídícího počítače.

Jako ovládací software je použit program CMS, který zajišťuje sběr naměřených dat, jejich archivaci a vyhodnocení buď formou tištěného protokolu nebo na pevném disku počítače. Dále umožňuje automatizovat opakující se měření na brzdovém stanovišti pomocí tzv. automatických zkoušek. CMS zajišťuje také nepřetržitou kontrolu všech měřených veličin a při správné konfiguraci zaručí okamžitou a správnou reakci na překročení kterékoli z měřených veličin, čímž se předejde poškození testovaného motoru. CMS je určen pro operační systémy Windows NT 4.0 nebo Windows 2000 Pro. Kromě řídící jednotky brzdového stanoviště ovládá i další přístroje nutné pro testování motoru, např. měření profuku, analýzu výfukových plynů atd. Kromě toho je zajištěn i sběr dat z analogových kanálů, které jsou obvykle využity pro snímání teplot a tlaků v důležitých bodech testovaného motoru, aktuálně použité snímače jsou v tab. 10. Grafické prostředí programu CMS je na obr. 15.

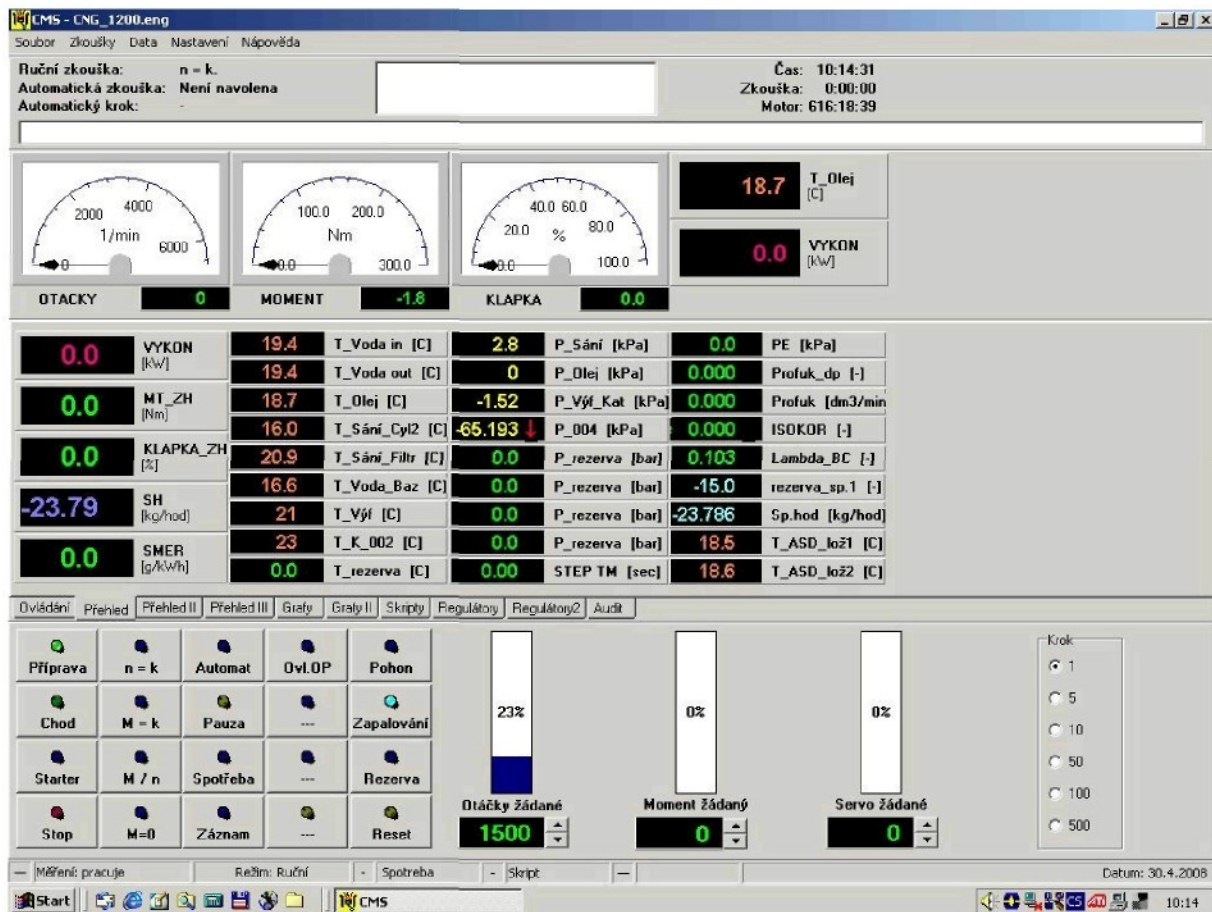
Chlazení motoru je velmi zjednodušené a provizorní. Klasický motorový chladič je uložen do otevřené plechové nádoby. Do té přitéká studená voda z vodovodního řadu a po ohřátí odtéká do kanalizace. Toto řešení je vzhledem k velké ztrátě vody nevhodné a neekonomické.

Maximální výkon (mot./ gen.) [kW]	235 / 250
Maximální moment (mot./ gen.) [Nm]	460 / 480
Maximální otáčky [ $\text{min}^{-1}$ ]	10 000

Tab. 9 Technické údaje stanoviště číslo 6 - ASD 235 M250



Obr. 14 Brzdové stanoviště číslo 6 - ASD 235 M250



Obr. 15 Grafické prostředí programu CMS pro brzdové stanoviště číslo 6

Parametr	Snímač – přístroj	Rozsah
Otáčky motoru [1/min]	Snímač dynamometru ASD 235	
Poloha škrtící klapky [°]	Snímač dynamometru ASD 235	
Točivý moment [Nm]	Snímač dynamometru ASD 235	
Množství vzduchu	Výpočet ze spotřeby paliva a $\lambda$	
$\lambda$ palivové směsi [-]	$\lambda$ sonda: VAG COM-ETAS	
Předstih zážehu [°KH]		
Teplota nasávaného vzduchu [°C]	Teploměr Pt 100	-50 ÷ 300
Teplota za škrticí klapkou [°C]	Pt100 – JUMO Vibrotemp	-50 ÷ 300
Tlak za škrticí klapkou [kPa]	Snímač DMP BD 331	-100 ÷ 250
Teplota oleje [°C]	Pt 100	-50 ÷ 300
Tlak oleje [kPa]	Snímač DMP BD 331	0 ÷ 600
Teplota chladicí kapaliny – výstup z motoru [°C]	Pt 100	-50 ÷ 300

Teplota výfukových plynů před a za katalyzátorem [°C]	Termočlánek 3mm JUMO K	-200 ÷ 1150
Relativní vlhkost vzduchu [%]	Vaisala	
Barometrický tlak [kPa]	HYDRARGRIC B1	80 ÷ 106
Tlak výfukových plynů před katalyzátorem [kPa]	Snímač DMP BD 331	0 ÷ 250
Snímač tlaku - nezapojen [kPa]	Snímač DMP BD 331	-80 ÷ 250
Snímač tlaku - nezapojen [kPa]		0 ÷ 250

Tab. 10 Použité snímače na stanovišti číslo 6 – ASD 235 M250

### 3.7 Brzdové stanoviště č. 7

Na tomto stanovišti je umístěn vířivý dynamometr MEZ Brno 2VD110/6 o maximálním výkonu 220 kW (obr. 16). V současnosti je na toto stanoviště instalován vířivý dynamometr Schenck WT 150. Jeho výkonové parametry jsou v tab. 1 a jsou stejné jako u stanoviště č. 2.



Obr. 16 Brzdové stanoviště číslo 7 - MEZ Brno 2VD110/6

### **3.8 Brzdové stanoviště č. 8**

Toto zařízení (obr. 17) se skládá z jednoválcového spalovacího motoru uloženého na společné základové desce s elektrickým motorgenerátorem a skříňovým rozvaděčem. Spalovací motor prošel úpravami, díky kterým byl zvětšen rozsah kompresního poměru na 4:1 až 16:1, který je možné měnit plynule za chodu. Motor je upraven pro spalování vodíku, který je vefukován do sacího potrubí nebo přímo do válce motoru. Motor je také upraven pro měření tlaku ve válci.

Pro simulaci přeplňování je stanoviště vybaveno vzduchovým kompresorem 3 DSK-100-EKO od ČKD Praha. Ten dosahuje tlaku 1,1 MPa a výkonnosti 100 m<sup>3</sup>/h. Kompresor je vybaven vestavěným mezichladičem, dochlazovačem a tlumičem sání. Vzduch je z kompresoru přiveden do tlakové nádoby odkud je přiveden k motoru s tlakem regulovaným na požadovanou hodnotu.

Otáčky motoru jsou udržovány na stálé hodnotě 1500 ot/min spojením spalovacího motoru klínovými řemeny s elektrickým synchronním motorgenerátorem, který spalovací motor brzdí. Aby mohl tento motorgenerátor nastartovat, spalovací motor je konstruován pro asynchronní rozběh.

Na konsole nad elektrickým motorgenerátorem je uložen skříňový rozvaděč, ve kterém jsou umístěny elektrické měřící přístroje.

Elektronická řídící jednotka EVIS-L 102 byla vyvinuta pro potřebu Technické univerzity v Liberci, katedry strojů průmyslové dopravy pro experimentální práce s jednoválcovým spalovacím motorem na plynné palivo (propan-butan, zemní plyn) nebo tekuté (benzín).

Elektronická řídící jednotka EVIS-L 102 je mikropočítáčový řídící systém, který ovládá okamžik a délku otevření vstřikovacího ventilu paliva pro přesné dávkování pro pohonné směs a okamžik zážehu jiskrou, včetně možnosti nastavení velikosti akumulované energie v zapalovací cívce. EVIS-L pracuje zcela autonomně, jednotlivé provozní parametry motoru se nastavují pomocí deseti potenciometrů na čelním panelu jednotky. Jejich hodnoty jsou vysílány po sériové lince RS 232C společně s okamžitými otáčkami a napětím snímaným z lambda sondy.

Po připojení počítače je možno v reálném čase zobrazovat výše uvedené parametry a ukládat do databáze s následným zpracováním pomocí speciálního software.

Toto stanoviště se již delší dobu nepoužívá.



Obr. 17 Brzdové stanoviště číslo 8 – OKC - Oktan

### **3.9 Brzdové stanoviště č. 9**

Na tomto stanovišti je umístěn komutátorový dynamometr KS 56B – 4. Je to v podstatě komutátorový derivační stroj napájený do statoru. Rotor je uložen na valivých ložiskách a tvoří se statorem mechanický celek, který je výkyvně uložen na ložiskových stojanech. Kroutící moment rotoru, vznikající při zatěžovací a' při chodu generátorickém nebo motorickém, působí na stator v souhlasném nebo opačném smyslu než na rotor.

Protože stator je výkyvně uložen, je možno zjistit přímo velikost momentu, vahou přes rameno upevněné ke statoru. Stator dynamometru je napájen přímo ze sítě, rotor přes indukční regulátor. Změnou regulačního napětí připojeného na rotor mění se otáčky dynamometru. Brzdové stanoviště je na obr. 18.

S běžně dodávaným příslušenstvím nedovoluje se plynulý přechod z chodu generátorického na motorický a naopak.

Volba způsobu práce provádí se před zapnutím dynamometru.

K dynamometru je připojen šestiválcový motor LIAZ. Ten je upraven tak, že pět válců pracuje jako kompresor pro simulaci přeplňování 1. válce. Jeden válec neutáhne celý motor, proto musí být protáčen dynamometrem.

Motor je upraven pro výzkum spalování zemního plynu a vodíku na 1. válci. Ze vstupního tlaku 2,2 MPa je redukován na 0,8 MPa. Je použit přímý vefuk do válce.

Dynamometr je ovládán ručně, ovládání motoru je pomocí průmyslového počítače, který řídí zapalování a vefuky. Ten je společný pro brzdová stanoviště 9 a 10.

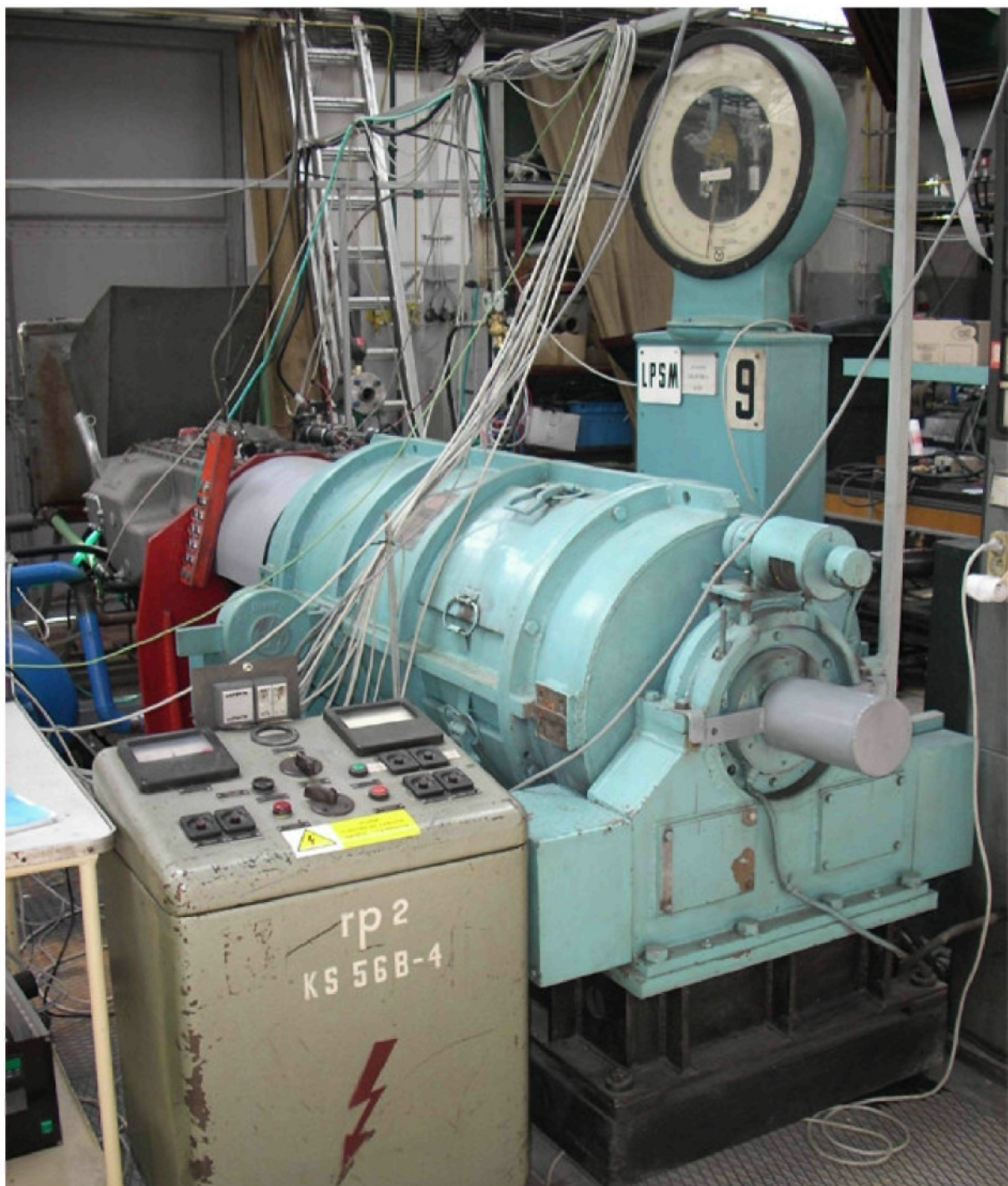
Sběr dat se provádí přes National instruments NI cDAQ-9172, pomocí programu Labview 4 v aplikaci vlastní tvorby, grafické rozhraní je na obr. 19. Je možné připojit až osm různých modulů (proudové, napěťové, moduly pro termočlánky).

Přenos dat je proveden přes USB do počítače.

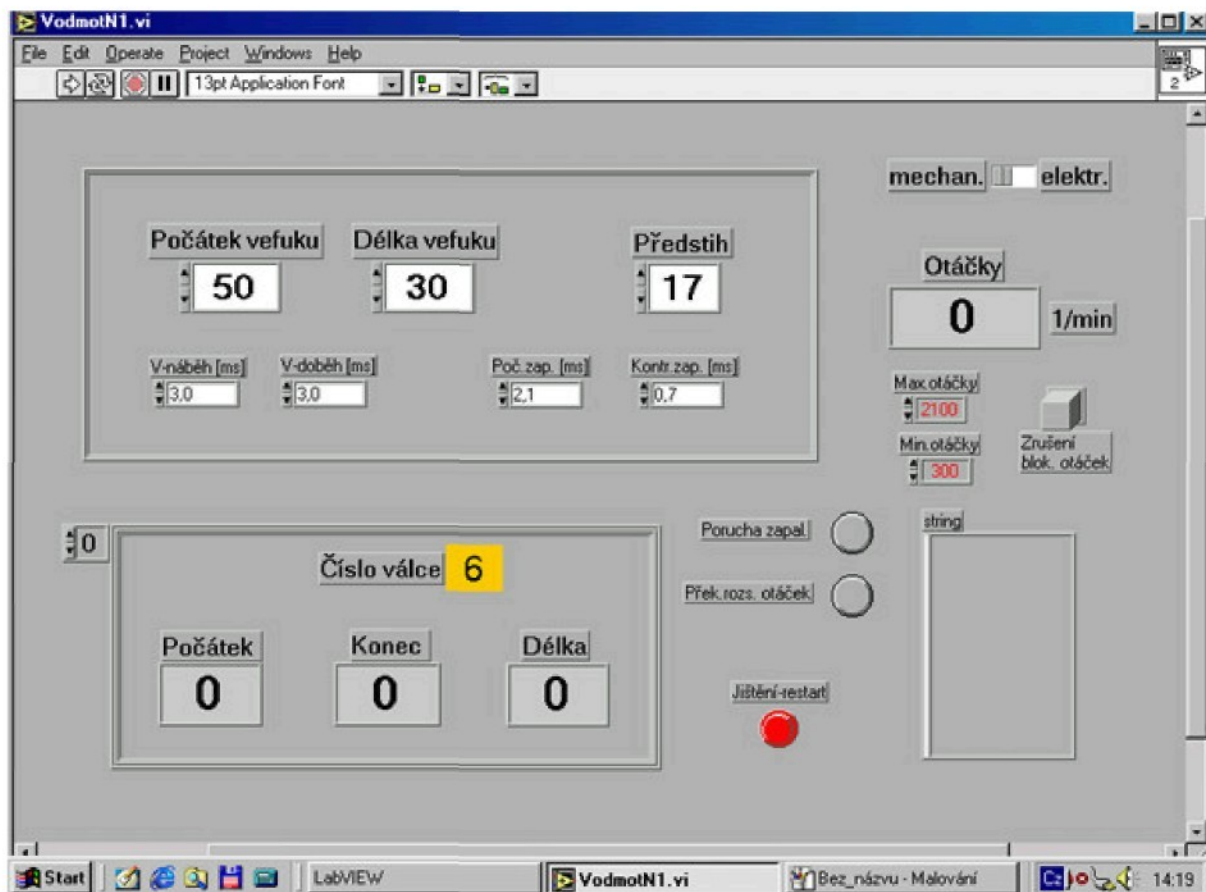
Aktuálně připojené snímače jsou v tabulce 12.

Maximální výkon [kW]	280
Maximální moment [Nm]	950
Maximální otáčky [ $\text{min}^{-1}$ ]	2800

Tab. 11 Technické údaje stanoviště číslo 9 – Komutátorový dynamometr KS 56B – 4



Obr. 18 Brzdové stanoviště číslo 9 - Komutátorový dynamometr KS 56B – 4



Obr. 19 Grafické prostředí programu Labview 4 pro brzdové stanoviště číslo 9 a 10

Parametr	Snímač – přístroj	Rozsah
Množství vzduchu – v současné době nefunkční [ $m^3/h$ ]	Průtokoměr Fischer & Porter	$30 \div 300$
Tlak oleje [bar]	BD senzor DMP 331	$0 \div 6$
Tlak ve výfuku [bar]	BD senzor DMP 331	$0 \div 4$
Tlak v sání [bar]	BD senzor DMP 331	$-1 \div 4$
Tlak plynu [bar]	BD sensor DMP 331	$0 \div 25$
Teplota nasávaného vzduchu [ $^{\circ}C$ ]	Pt 100	
Teplota plynu [ $^{\circ}C$ ]	Pt 100	
Teplota oleje [ $^{\circ}C$ ]	Pt 100	
Teplota vody [ $^{\circ}C$ ]	Pt 100	
Teplota výfukových plynů [ $^{\circ}C$ ]	T/C K	

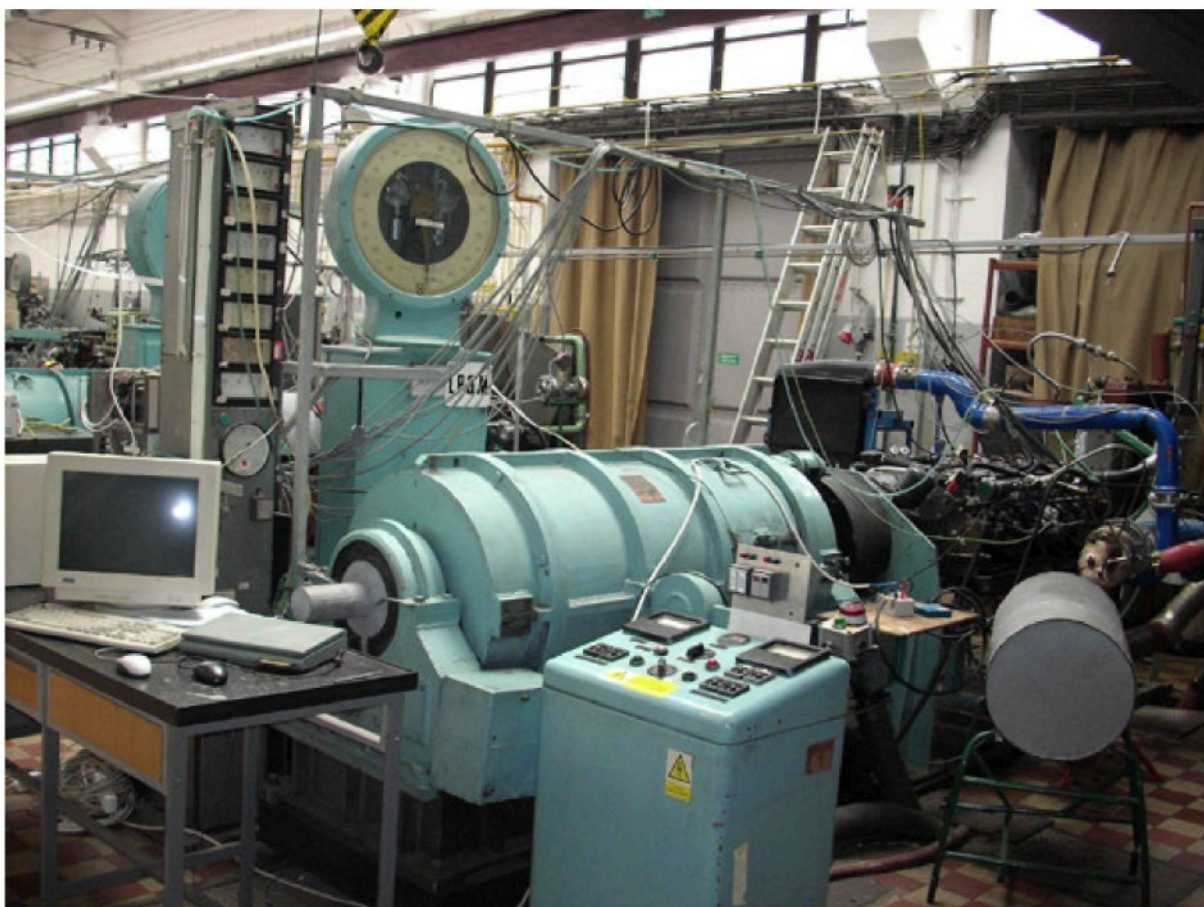
Tab. 12 Použité snímače na stanovišti číslo 9 - Komutátorový dynamometr KS 56B- 4

### **3.10 Brzdové stanoviště č. 10**

Na tomto stanovišti (obr. 20) je umístěn stejný komutátorový dynamometr KS 56B – 4 jako na stanovišti číslo 9. Jeho technické parametry jsou v tabulce 11 a charakteristika v příloze 7. Ovládání motoru je pomocí průmyslového počítače, který řídí zapalování a vefuky. Ten je společný pro brzdová stanoviště 9 a 10. Škrtící klapku řídí druhý počítač programem Controlweb 2000.

Sběr dat se provádí pomocí programu Controlweb 2000, jeho grafické prostředí je na obr. 21.

Ovládání motoru se provádí pomocí programu napsaném pro Labview 4, kde se nastavuje počátek vefuku, délka vefuku a předstih, grafické prostředí je na obr. 19.



Obr. 20 Brzdové stanoviště číslo 10 - Komutátorový dynamometr KS 56B – 4



Obr. 21 Grafické prostředí programu Controlweb 2000 pro brzdové stanoviště č. 10

Parametr	Snímač – přístroj	Rozsah
Množství vzduchu [m³/h]	Průtokoměr Fischer & Porter D10S	30 ÷ 300 m³/h
Tlak oleje [bar]	Huba Control 501	0 ÷ 6
Tlak plynu [bar]	BD senzor DMP 331	0 ÷ 25
Tlak vzduchu za turbem [bar]	Huba Control 501	0 ÷ 4
Tlak výfukových plynů před turbem [bar]	Huba Control 501	0 ÷ 4
Teplota vzduchu za turbem [°C]	Pt 100	
Teplota plynů před turbem [°C]	Termočlánek KP/X K	-50 ÷ 700
Teplota plynů za turbem [°C]	Termočlánek KP/X K	-50 ÷ 700
Tlak vzduchu v sacím potrubí [bar]	BD senzor JSP	0 ÷ 400
Teplota chladící kapaliny [°C]	Pt 100	
Teplota vzduchu před turbem [°C]	Pt 100	
Teplota oleje - vana [°C]	Pt 100	

Tab. 13 Použité snímače na stanovišti číslo 10 - Komutátorový dynamometr KS 56B - 4

### **3.11 Společné mobilní příslušenství**

Jedná se o speciální měřící přístroje a techniku umístěnou na přídavných stojanech. Tyto přístroje je možné používat u kteréhokoli stanoviště. Protože současný stav laboratoře neumožňuje současné měření na dvou stanovištích současně, je možné tyto přístroje umístit k aktuálně používanému stanovišti.

#### **3.11.1 Měření plynných emisí**

Vliv existence administrativních limitů emise škodlivin na konstrukci současných spalovacích motorů je značný. Nové typy jsou vyvíjeny cíleně na splnění požadavků emisních předpisů, které budou platit v období sériové výroby příslušného typu. S průběžným zpřísňováním požadavků ekologické legislativy se postupně vyčerpaly možnosti zlepšování emisních parametrů v oblastech, které by se daly charakterizovat jako odstraňování dřívějších konstrukčních chyb. Serizení v současnosti vyráběných motorů je prakticky vždy kompromisem mezi jejich ekologickými parametry (kromě emise škodlivin je nutné brát také ohled na emisi hluku) a energetickými vlastnostmi (měrný výkon, účinnost).

#### **Složení výfukových plynů spalovacího motoru:**

Při spalování uhlovodíkového paliva se vzduchem vzniká dokonalou oxidací uhlíku a vodíku obsaženého v palivu oxid uhličitý ( $\text{CO}_2$ ) a voda ( $\text{H}_2\text{O}$ ). Při nedokonalé oxidaci těchto prvků jsou ve spalinách přítomny oxid uhelnatý ( $\text{CO}$ ) a vodík ( $\text{H}_2$ ). Při použití vzduchu jako okysličovadla je vždy nejvýznamnější složkou spalin dusík ( $\text{N}_2$ ). Kyslík ( $\text{O}_2$ ) se objevuje ve výfukových plynech, když se celé jeho množství nepoužije k oxidaci paliva, protože byl v čerstvé směsi v přebytku, anebo se nevyužil z jiných důvodů. Za vysokých teplot ve spalovacím prostoru vznikají oxidací vzdušného dusíku oxidy dusíku ( $\text{NO}_x$ ) skládající se zejména z oxidu dusnatého ( $\text{NO}$ ) a menšího množství oxidu dusičitého ( $\text{NO}_2$ ). Při velmi nepříznivých globálních, či lokálních podmínkách pro oxidaci paliva obsahují výfukové plyny nespálené uhlovodíky (HC) různého složení (co do obsahu individuálních uhlovodíků). U motorů s vnější tvorbou směsi se tato složka objevuje jako součást spalin i z důvodu úniku části čerstvé směsi přímo do výfukového potrubí zkratovým vyplachováním. Za totálního nepřístupu vzduchu (uvnitř kapičky kapalného paliva) nastává při vysoké teplotě dekompozice molekul uhlovodíků, jejímž výsledkem je přítomnost pevného uhlíku (sazí) ve spalinách. S výfukovými plynů odchází z motoru též jisté (velmi malé) množství dalších (pevných) částic (vysokomolekulové produkty tepelné degradace mazacího oleje, prach, popel, částečky rzi atd.).

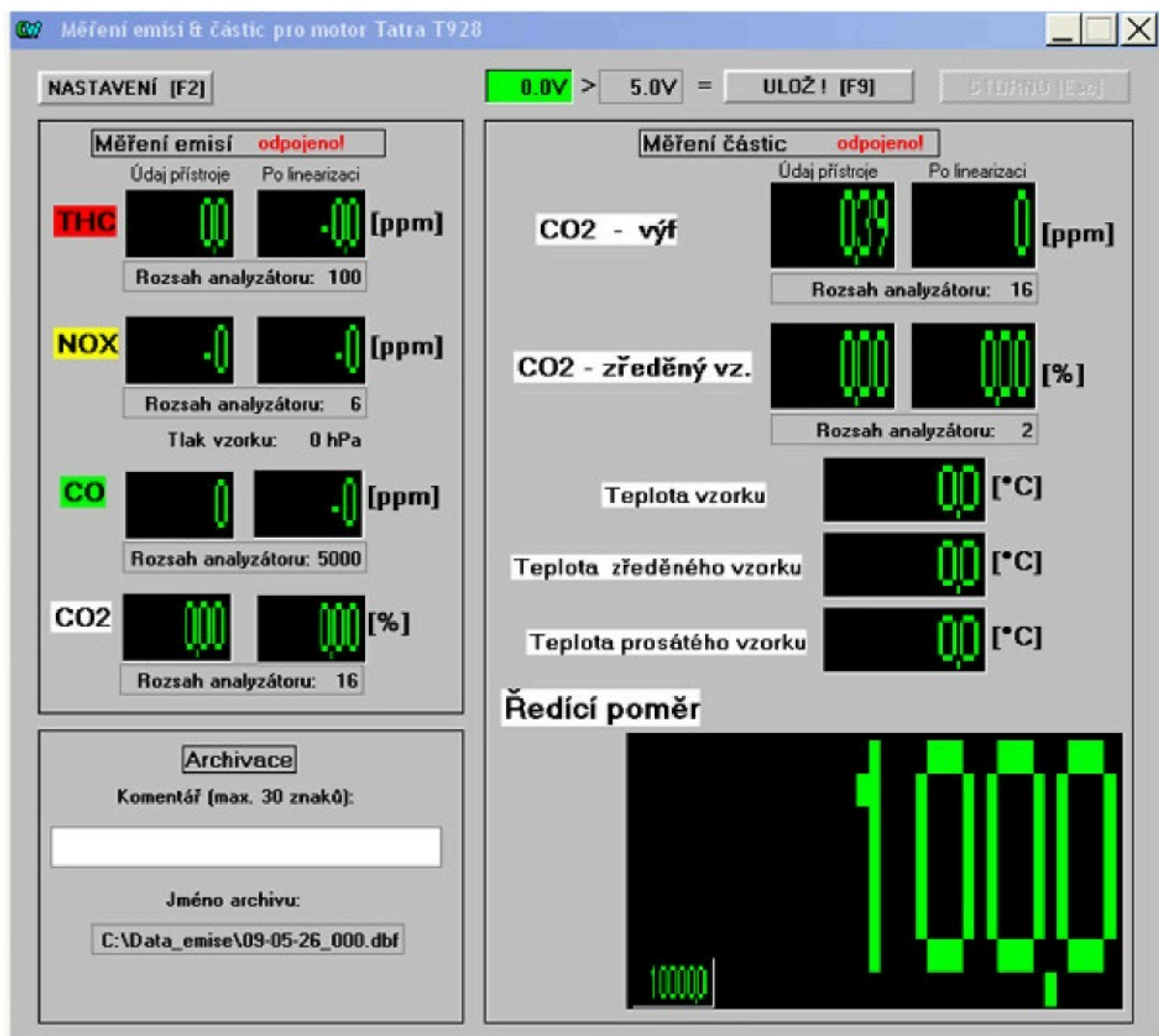
Síra obsažená v některých uhlovodíkových palivech vytváří při spalování v motoru oxidy síry, které se následně objevují ve spalinách.  
Produkce oxidů síry je sledována nepřímo limitováním obsahu síry v palivu.



Obr. 22 Analyzátory spalin

Analyzátory spalin jsou umístěny na pojízdných stojanech obr. 22. Při měření je nutno připojit tlakové lahve s pracovními plyny, které jsou umístěny na pojízdném vozíku. Seřízení analyzátorů před měřením se provádí kalibračními plyny.

Sběr dat může být napojen k jednotlivým stanovištím nebo je možno vyhodnocovat nezávisle. Pro nezávislý sběr dat slouží program Controlweb 2000, ten je možné spustit samostatně jen pro měření emisí nebo pro měření emisí a pevných částic, jeho grafické prostředí je na obr. 23. Seznam analyzátorů je v tabulce 14.



Obr. 23 Grafické prostředí programu Controlweb 2000 pro měření emisí a pevných částic

Měřená veličina	Analyzátor	Rozsah
Koncentrace CO před a za katalyzátorem [%]	HB URAS 2T	0 ÷ 9
Koncentrace CO za katalyzátorem (pro naftové motory i před katalyzátorem) [ppm]	Horiba VIA 150	0 ÷ 5000
Koncentrace CO <sub>2</sub> před a za katalyzátorem [%]	URAS 3E	0 ÷ 17
Koncentrace NOx před a za katalyzátorem [ppm]	Rosemount NGA 2000	0 ÷ 5000
Koncentrace NO <sub>x</sub> před a za katalyzátorem [ppm]	Horiba	0 ÷ 2500
Koncentrace THC před a za katalyzátorem [ppm]	Amluk	0 ÷ 10 000
Koncentrace THC před a za katalyzátorem [ppm]	Fidas	0 ÷ 1000

Koncentrace THC před a za katalyzátorem [ppm]	Fidas	0 ÷ 10 000
Koncentrace THC před a za katalyzátorem [ppm]	HORIBA	0 ÷ 6000
Koncentrace O <sub>2</sub> před a za katalyzátorem [%]	Rosemount NGA 2000	0 ÷ 30

Tab. 14 Analyzátory spalin v laboratoři motorů

### 3.11.2 Měření pevných částic

#### Způsoby měření pevných částic:

##### 1.) Měření kouřivosti filtrační metodou

Jedná se o metodu jednorázového odběru vzorku s jeho pozdějším vyhodnocením. Před měřením se vsune čistý filtrační papírek a píst se stlačí a zajistí. Poté se nátrubek sondy vsune do výfukového potrubí a odblokuje píst, čímž dojde k nasáti vzorku. Kontaminovaný papírek se vyfotí fotometrem, na základě rozdílu množství světla odraženého od čistého a použitého papírku se určuje tzv. stupeň zčernání.

Na tomto principu pracuje přístroj AVL 415.

##### 2.) Měření opacimetrem

Princip tohoto měření spočívá v prosvěcování sloupce spalin, jejichž průhlednost je snížena díky obsaženým částicím.

Další možností měření je využití absorpce infračerveného záření.

Hartrige smokemeter MK3 používá k určení kouřivosti prosvěcování sloupce spalin.

##### 3.) Hmotnostní měření koncentrace částic

Při tomto měření je velmi důležité napodobit podmínky, při nichž dochází k ulpívání a kondenzaci škodlivých látek na povrchu pevných částeček, tedy míšení spalin se vzduchem. Z tohoto důvodu se výfukové plyny ředí vzduchem dodávaným zvláštním dmychadlem. Takto ředěné výfukové plyny se filtruji přes filtrační element ze skelných vláken potažených teflonem (Pallflex). Zjišťuje se hmotnost částic usazených na filtru pomocí přesných vah.

Pro hmotnostní měření pomocí ředícího tunelu je nutné znát ředící poměr, který je dán podílem koncentrace CO<sub>2</sub> ve výfukovém plynu a ředěném vzorku.

Měřená veličina	Analyzátor	Rozsah
Koncentrace CO <sub>2</sub> neředěné výfukové plyny [%]	HB URAS 2T	0 ÷ 16
Koncentrace CO <sub>2</sub> ředěné výfukové plyny [%]	HB URAS 2T	0 ÷ 2,5

Tab. 15 Analyzátory z pojízdného stojanu pro měření koncentrace CO<sub>2</sub>

### **3.11.3 Měření kapalných paliv**

#### **Způsoby měření spotřeby paliva**

a) odměrné nádoby (volumetrický způsob)

Jsou nejjednodušším měřidlem. Pomocí třícestného kohoutu se baňky naplní z hlavní nádrže. Poté se kohout přesměruje tak, aby palivo protékalo jenom z baňky, na které jsou rysky, určující přesně objem. Zjišťuje se čas, za který klesající hladina protne rysky.

b) hmotnostní měřiče spotřeby (gravimetrický způsob)

Na vahách je umístěna nádoba s palivem. Z této je dopravním čerpadlem zásobován palivový systém. Při sledovaném režimu je spotřeba odečtena z ukazatele vah za určitý čas.

c) měřiče spotřeby průtokové

Zpravidla pracují na principu přímé úměry průtoku a otáček zubového čerpadla. Další možností je objemové čerpadlo s obráceným chodem. Průtok paliva uvádí do pohybu pisty čerpadla a tím roztáčí klikový hřídel. Otáčky jsou převedeny na signál a kontrolní přístroj ukazuje okamžitou spotřebu.

- přídavná zařízení

U palivových systémů, kde je přebytečné palivo vraceno do systému (přepad od vstřiku), nebo kde z důvodu předehřívání paliva toto cirkuluje, je nezbytné měřiče doplnit zařízením, které eliminuje takto vznikající chyby. Měřiče spotřeby nelze zařadit do vysokotlaké větve vstřikování. Z této větve je však přebytečné palivo vraceno do nádrže. Tak vzniká chyba, kterou odstraní přídavné zařízení.

#### **Váha Sartorius IC 64**

Slouží k měření spotřeby paliva při měření váhovou metodou u všech stanovišť. Zjišťuje se úbytek paliva z nádoby umístěné na misce váhy. K odvodu, případně i přívodu paliva do nádoby na váze slouží trubka upevněná mimo váhu a zasahující pod hladinu paliva v nádobce. Měří se úbytek hmotnostního množství paliva za čas běhu motoru.

#### **Průtokový měřič spotřeby paliva PLU 401-108**

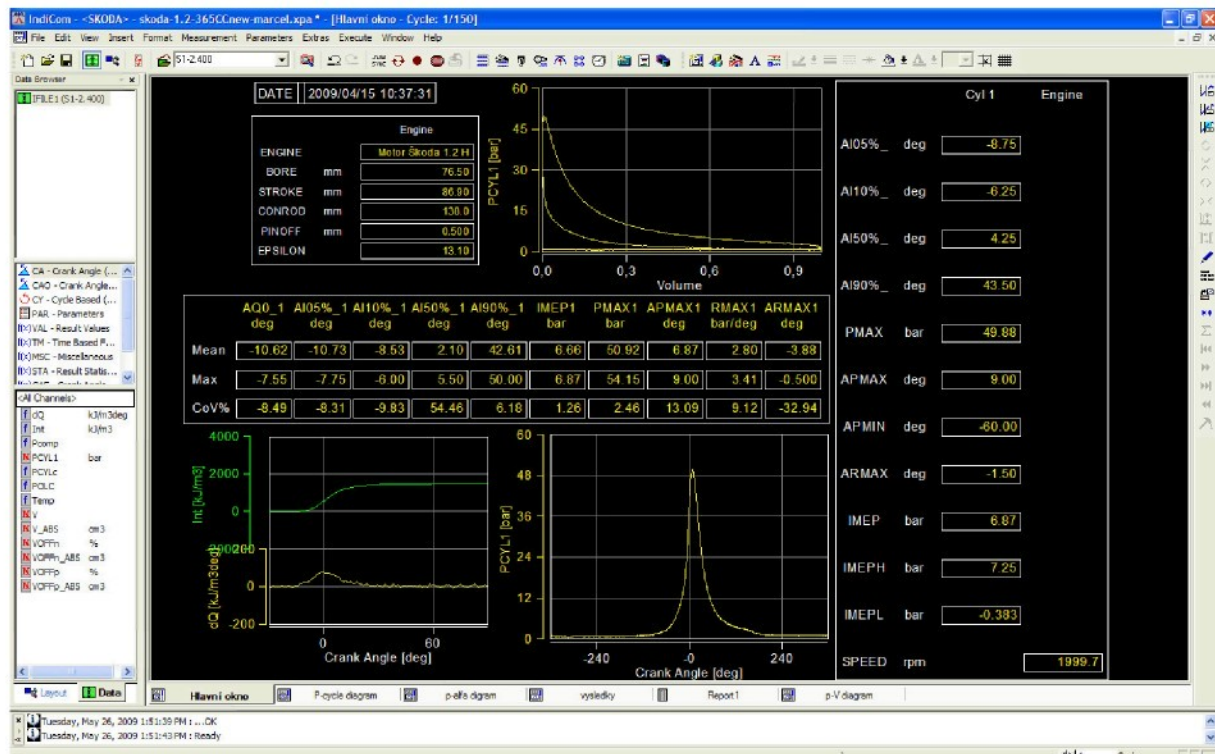
Používá se k měření spotřeby kapalných paliv. Jeho maximální průtok je 60 l/h. Je vybaven měřením teploty protékajícího paliva. Zpětné vedení je připraveno pro případ měření motoru s vracením přebytečného paliva do nádrže (např. motor se vstřikováním). Je možné jej použít u všech stanovišť.

### **3.11.4 Měření koncentrace vodíku**

Analyzátor H – Sense je určen k měření koncentrace vodíku od 0 – 100%, používá se např. ke zjišťování zbytkového vodíku ve výfukových plynech, ke zjištění úniku vodíku přes pístní kroužky do karteru motoru, atd.

### 3.11.5 Indikace tlaku ve válci spalovacího motoru

K indikaci tlaku ve válci spalovacího motoru se používá Indimetru AVL 619 se sběrem dat pomocí softwaru IndiCom, jeho grafické prostředí je na obr. 24. V hlavě válce spalovacího motoru je umístěn snímač tlaku a na řemenici klikového hřídele je umístěn inkrementální snímač otáček. V grafickém prostředí programu IndiCom můžeme odečítat následující hodnoty: střední indikovaný tlak, maximální tlak, poloha maximálního tlaku vůči horní úvratí, gradient nárůstu tlaku, poloha gradientu vůči horní úvratí, teoretický počátek hoření, úhel natočení klyky při vyhoření paliva 5%, 10%, 50%, 90% a další parametry.



Obr. 24 Grafické prostředí programu IndiCom pro měření tlaku ve válci spalovacího motoru

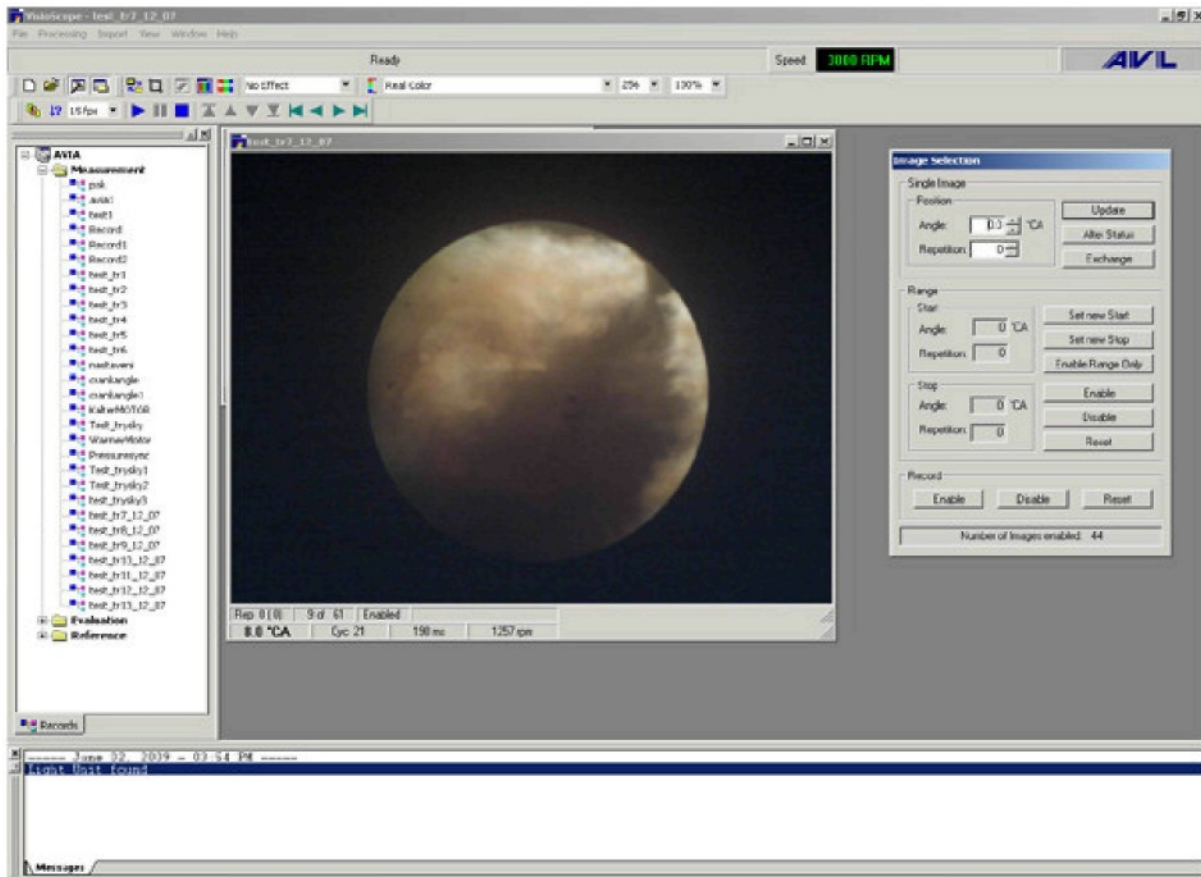
### 3.11.6 Vizualizace

Laboratoř motorů TUL je jako jediná v České republice vybavena Visioscopem AVL. Tímto přístrojem je možné sledovat průběh hoření ve válci spalovacího motoru, průběh vstříkování do sacího kanálu, dění v převodovce a mnoho dalších běžným způsobem nepozorovatelných dějů. Ke sledování se používají endoskopy, které tvoří optická čočka opatřená skleněným krytem a optické vedení. Pro sledování dějů za vysokých teplot se používá endoskop chlazený stlačeným vzduchem o tlaku 6 barů. Nechlazený endoskop a přívodem světla se používá ke sledování dějů kde nejsou vysoké teploty. K endoskopu se připojí kamera, kterou se zaznamenávají probíhající děje do počítače. K dispozici je barevná VGA kamera PixelFly a černobílá vysoko citlivá kamera DicamPro. Visioscop AVL s chlazeným a nechlazeným endoskopem je

na obr. 25. Grafické prostředí programu AVL Visioscope 1.1 s ukázkou záznamu hoření je na obr. 26.



Obr. 25 Visioscop AVL s chlazeným a nechlazeným endoskopem



Obr. 26 Grafické prostředí programu AVL Visioscope 1.1 – zobrazení hoření ve válcích motoru

## 4 Popis a uspořádání cizích laboratoří motorů

V rámci bakalářské práce jsem navštívil laboratoř motorů ČVUT v Praze a laboratoř motorů Škoda auto a.s. v Mladé Boleslavi.

### 4.1 Popis uspořádání a vybavení laboratoře motorů ČVUT

V jedné části laboratoře je umístěn válcový dynamometr do 200 kW a 200 km/h. Je zde také uzavřený stav na zkoušení převodovek.

V druhé části jsou čtyři oddělené boxy s brzdovými stanovišti. Ovládací stanoviště jsou oddělené v tzv. velíně. Pro sběr dat je použit software Labwiev a Testpoint.

Ve všech boxech jsou jeřáby o nosnosti 3 tuny, určené k manipulaci s motory a brzdam. Klimatizace pro odvětrání případných úniků plynu. Chladící voda z dynamometrů a motorů je svedena do jímky o objemu asi  $3 \text{ m}^3$ . Kdyby se voda v jímce nestačila chladit, je k vodnímu okruhu připojena chladící mikrověž. Celá budova má svojí vlastní trafostanici 22kV/400V a může dodávat elektrický proud vyrobený na brzdových stanovištích zpět do elektrické sítě.

#### Box 1

Zde je umístěn asynchronní dynamometr VUES Brno ASD 440K-04. Je určen pro motory o výkonu do 440 kW a  $6000 \text{ ot./min}^{-1}$ .

Druhý dynamometr v tomto boxu je MS 171 z roku 1966. Je to stejnosměrný dynamometr využívající Ward-Leonardovo soustrojí. To bylo předvedeno roku 1891 a brzy se stalo nejrozšířenějším způsobem plynulého řízení otáček elektrických motorů. V současné době se pro regulaci otáček a výkonu používá spíše asynchronní motor s frekvenčním měničem.

#### Box 2

Zde je komutátorový dynamometr KS56B4 o výkonu 280 kW.

Druhým dynamometrem je v tomto boxu je SDG 225 KM5 od firmy Mezservis. Tento dynamometr je určen pro motory o výkonu do 247 kW a do  $2900 \text{ ot./min}^{-1}$ .

#### Box 3

Ve třetím boxu je stejnosměrný dynamometr 2DS 1036KV od firmy Mezservis. Je určen pro motory o výkonu do 315 kW při 3000 ot./min., jeho maximální otáčky jsou 4500 ot./min.

Jako druhá je zde vodní vířivá brzda WD 110 pracující na principu vířivých proudů. Je složena ze dvou stejných částí o výkonu  $2 \times 110 \text{ kW}$ . Tato brzda se může používat jako jedna o výkonu 220 kW nebo dvě oddělené. Spojení se provádí sešroubováním dvou přírub. Její maximální otáčky jsou 6000 ot./min.

K měření paliva jsou zde dynamické váhy AVL 733. V tomto boxu se používají pro měření nafty.

Pro měření emisí je zde umístěn analyzátor spalin, který je složen z několika jednotlivých analyzátorů. URAS 14 pro měření  $\text{NO}_x$ . URAS 10 pro měření  $\text{CO}_2$  a  $\text{CH}_4$ . URAS 3 pro měření CO. MAGNOS pro měření  $\text{O}_2$ .

K měření viditelného kouře je zde Opacimetr AVL 4390, ten měří opticky množství světla pohlcené kouřem.

#### Box 4

V tomto boxu je dynamometr 1DS 736-V od firmy Mezservis.

K zapojení se připravuje vířivá brzda Heenan&Froude pro měření motorů do 6000 ot./min.

K laboratoři motorů patří i elektrodílna a dvě dílny pro zámečnické práce. Poslední částí je aerodynamická trať pro měření vírových vlastností sacích kanálů. K vytváření podtlaku slouží křídlový kompresor.

Laboratoř je velmi dobře vybavena, je možné měřit více motorů současně. Není zde problém s hlučností. Nevýhodou boxového uspořádání jsou poměrně malé průchody mezi jednotlivými boxy, což může ztěžovat manipulaci s nově umístovanými motory.

## **4.2 Popis uspořádání a vybavení laboratoře motorů ŠKODA AUTO a.s.**

Brzdová stanoviště jsou rozmístěna v boxech, mezi nimi jsou v chodbě umístěna ovládací stanoviště.

Všechny boxy jsou vybaveny rozvodem pěti kapalných paliv. Přívodem vzduchu s úpravou vlhkosti a teploty. Cirkulace vzduchu udržuje stálou teplotu 25°C. Požadovanou teplotu vody, oleje a paliva udržují výměníky. Pro chlazení vířivých brzd je voda upravována proti zanášení vodním kamenem. Všechna stanoviště jsou vybavena odvodem výfukových plynů.

Z důvodu bezpečnosti jsou u všech stanovišť umístěny snímače CO, teploty a paliva. V případě nebezpečí požáru je uzavřen přívod paliva a jsou přivoláni hasiči.

Jednotlivé brzdy jsou umístěny v boxech, některá stanoviště mají zvláštní vybavení.

1. Schenck 150 kW vířivá

2. Schenck 240 kW vířivá

3. Schenck 130 kW vířivá

4. Schenck 130 kW vířivá

Tato brzda používá ovládací software Venus 3.15 Alpha od firmy Volkswagen, program se upravuje podle požadavků zkoušky. Stanoviště je vybaveno měřením hluku v prostoru.

5. Schenck 130 kW používá ovládání Schenck x-one.

6. Schenck asynchronní

Tato brzda je vybavena frekvenčním měničem. Má rychlé rekce. Dokáže simulovat řazení a může protáčet motor. Je zde umístěno průtokové měření paliva.

7. AVL 240 kW vířivá je ovládána systém AVL PUMA 5.

8. AVL 130 kW asynchronní

Na stanovištích 5. a 6. je možné měřit emise pomocí spektrometru, který měří úbytek intenzity světla v různých spektrech. Na těchto stanovištích je také možné měřit koncentrace CO, CO<sub>2</sub>, NO, NO<sub>x</sub>, N<sub>2</sub>O, aromatické uhlovodíky a vodní páru.

K 7. a 8. stanovišti je přiveden rozvod cejchovních plynů.

Analyzátorem spalin Horiba je možné měřit koncentrace CO, CO<sub>2</sub>, O<sub>2</sub>. Koncentrace NO<sub>x</sub> a HC se měří infračerveným analyzátorem. THC plameno-ionizačním analyzátorem.

Tato laboratoř je dobře vybavena na dlouhodobé zkoušky, vzhledem k brzdovým stanovištěm umístěným v boxech. Jako jediná je vybavena měřením hlučnosti v prostoru.

## 5 Porovnání laboratoří

Z hlediska stavebního uspořádání vybočuje laboratoř TUL svým halovým uspořádáním, které bylo obvyklé v době výstavby roku 1965. Toto uspořádání má nevýhodu v hlučnosti provozu a nevyhovuje dnešním požadavkům na pracovní prostředí. Technickou výhodou zůstává odvětrání velkého prostoru, což se osvědčuje zejména při experimentech s plynnými palivy.

Z hlediska počtu a typu výkonových brzd. Pro vysoké výkony ( 600 – 700 kW ) vyhovují pouze vodní brzdy Schenck v TUL, jsou ovšem omezeny pro stacionární testy. Vířivé brzdy Schenck jsou ve všech sledovaných laboratořích, poněkud lépe vybavené PC řízením a sběrem dat v TUL a Škoda auto a. s. Nestacionární testy jsou měřeny asynchronními střídavými dynamometry, které jsou v Škoda auto a TUL. Stejnosměrné dynamometry v ČVUT, mají větší moment setrvačnosti rotoru.

Z hlediska infrastruktury rozvodu paliv. TUL má pevné rozvody na plynná paliva, které jsou přivedené ke všem stanovištěm. Jedná se o rozvody středního a vysokého tlaku vodíku, zemního plynu a kapalného propan-butanolu. Kapalná paliva (nafta, benzín) jsou v mobilních zásobnících. Škoda auto a.s. i ČVUT má pevné rozvody na kapalná paliva (nafta, benzín). Přívod plynných paliv na ČVUT není na takové úrovni jako v TUL. Škoda auto a. s. plynná paliva nepoužívá.

Z hlediska vybavenosti měřící technikou. Indikační technikou pro měření změn tlaku ve válci motoru disponují všechna pracoviště. Optickou vizualizační techniku (Visioscope AVL) a měření vysokých koncentrací vodíku (H-Sence) disponuje jen TUL. Jen laboratoř Škoda auto a.s. je vybavena měřením hlučnosti v prostoru a ČVUT jako jediná disponuje aerodynamickou tratí pro měření vírových vlastností sacích kanálů.

## 6 Návrhy na zlepšení stavu a modernizace

### Přesunutí ovládání některých brzd do velína

Z důvodu hlučnosti běhu motorů mohou pracovat jednotlivá stanoviště pouze samostatně. Stanoviště číslo 2, 3, 4 a 5 mají ovládání v oddělené místnosti. V zadní části laboratoře je nad hlavním rozvaděčem ovládací kabina (obr.27), která dříve sloužila k ovládání stanoviště číslo 10. Byly zde prováděny především dlouhodobé

zkoušky a obsluha tak byla ušetřena hluku motoru. Z důvodu původního účelu této kabiny by bylo vhodné přesunout ovládání brzdových stanovišť číslo 9 a 10 do této kabiny.

V případě měření na stanovišti číslo 9 nebo 10 by bylo možné současně měřit i na některém ze stanovišť číslo 2, 3, 4, 5, kde je ovládací stanoviště umístěno v odhlučněné místnosti. Zároveň by nevznikl problém s přetížením elektrické sítě, protože tato stanoviště jsou chlazena vodou.

Ztratila by se tím výhoda poslechu motoru a v případě nežádoucích zvuků možnost dřívějšího rozpoznání nebezpečí havárie motoru. Tato výhoda není zanedbatelná, ale dnešní moderní laboratoře používají ovládací stanoviště oddělené a odhlučněné od boxů s brzdovými stanovišti. Jednou z možností je i reprodukovaný zvuk motoru o nižší úrovni hlasitosti.



Obr. 27 Ovládací kabina (Velín)

### Dynamická váha na palivo

Umístění dynamické váhy na palivo k nejmodernější brzdě na stanovišti číslo 6 by zpřesnilo měření spotřeby paliva. Spotřeba paliva by mohla být při měření zaznamenávána přímo ovládacím softwarem.

## **Chlazení motorů**

Chlazení motorů je řešeno samostatně pro každý motor zvlášť. U stanoviště číslo 6 je použitý klasický motorový chladič. Ten je umístěný v nádrži s vodou. Do té je puštěna voda z vodovodního řadu a po ohřátí je vypouštěna do kanálu, toto řešení je neekonomické a spíše provizorní. V případě použití výměníku by bylo možné chladící okruh motoru ochlazovat okruhem napojeným na chladící okruh dynamometrů chlazených vodou využívající vodu z bazénu.

## 7 Závěr

V bakalářské práci je sepsána souhrnná dokumentace současného stavu laboratoře motorů KVM – TUL. Obsahuje popis laboratoře motorů, rozmístění jednotlivých brzdrových stanovišť, jejich vybavení a příslušenství. Popis společného mobilního příslušenství využívaného u více stanovišť.

Součástí bakalářské práce jsou také návrhy na úpravy a modernizaci současného stavu laboratoře.

Laboratoř motorů KVM – TUL má odlišnou koncepci halového uspořádání než navštívené laboratoře ČVUT v Praze a Škoda auto a. s. v Mladé Boleslavi, které mají stanoviště oddělena v boxech. I přes nevýhody v hlučnosti a tím omezení použití více brzd současně má toto uspořádání výhody v nižší náchylnosti na odvětrání laboratoře vzhledem k několikanásobně většímu objemu vzduchu v laboratoři. Další velkou výhodou je použití mobilních analyzátorů pro měření emisí výfukových plynů a pevných částic, které je možné používat u všech brzdrových stanovišť.

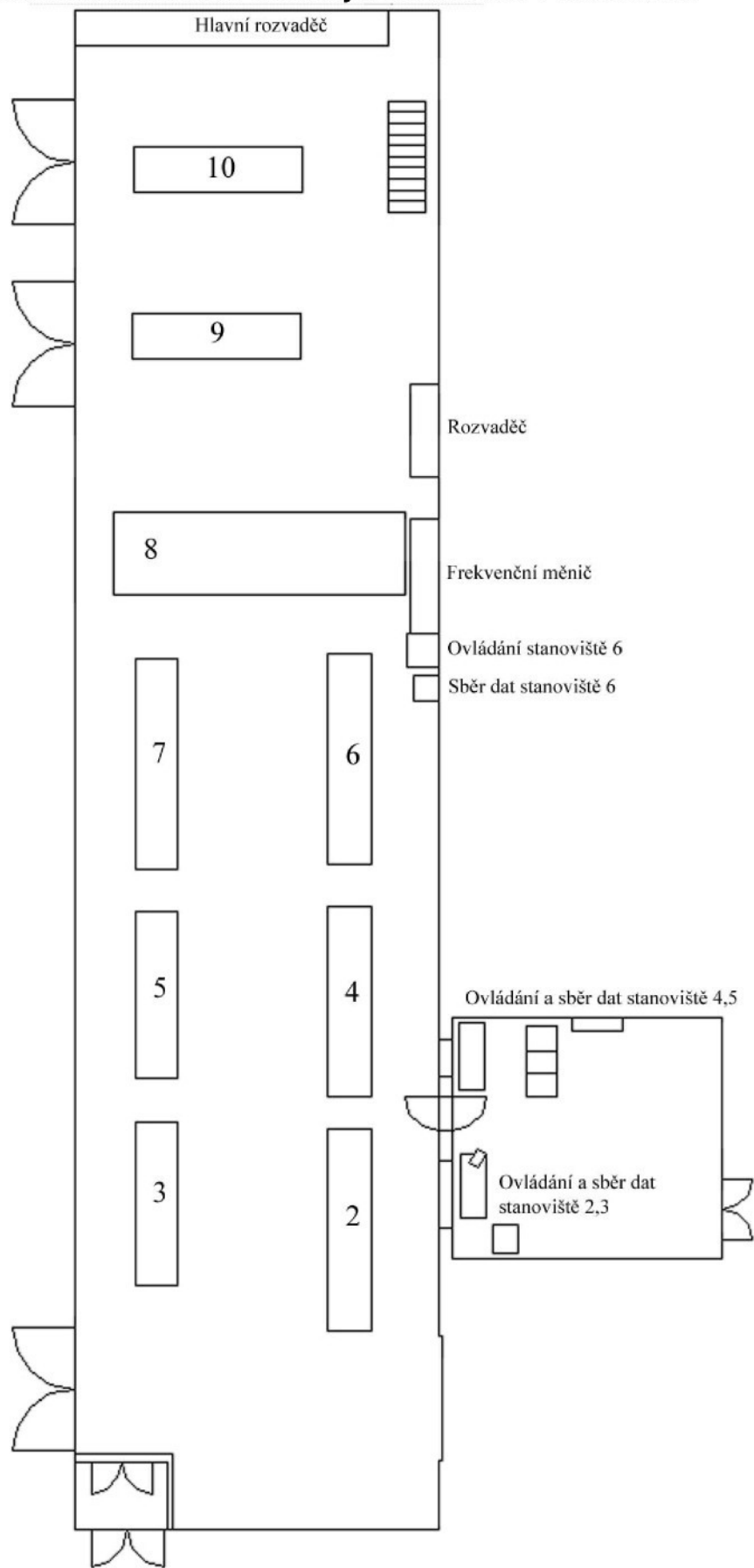
Z hlediska přístrojového vybavení jsou na vysoké úrovni vybavenosti pracoviště zejména Škoda auto a. s. a TUL. TUL má navíc špičkovou techniku pro vizualizaci dějů uvnitř válce nebo sacích a či výfukových traktů. Rovněž jedinečné je i zařízení H – Sence pro měření koncentrací vodíku ve výfukových plynech či v karteru motoru. ČVUT má dlouhodobou tradici v optimalizaci průtokových vlastností kanálů spalovacích motorů a experimentech s vodíkem. TUL má dlouhodobou tradici v optimalizaci plynových motorů na LPG, CNG a vodík a v poslední době se objevují kapalná alternativní paliva.

Cílem je také využití dokumentace katedrou vozidel a motorů k získávání nových zakázek vědy a výzkumu.

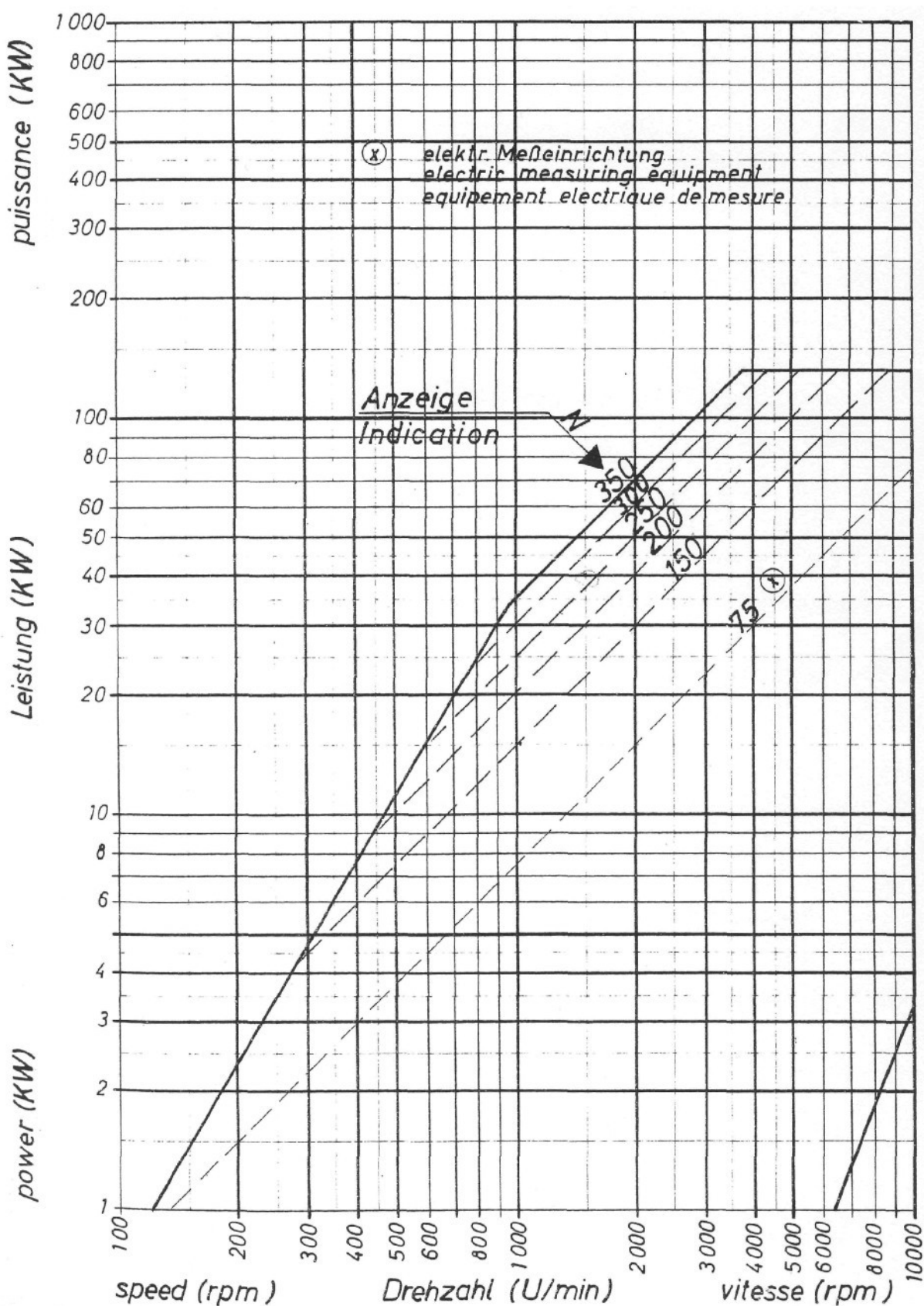
## **Seznam použité literatury:**

1. Vlk František: Zkoušení a diagnostika motorových vozidel, 1. vydání, Brno 2001
2. Jiří First a kol.: Zkoušení automobilů a motocyklů Příručka pro konstruktéry, 1. vydání, Praha, 2008
3. Bohumil Ferenc: Spalovací motory Karburátory a vstřikování paliva, 1. vydání, Praha, 2004
4. Michal Takáts: Měření emisí spalovacích motorů, 1. vydání, Praha 1997
5. Václav Bartoš a kol.: Elektrické stroje, 1. vydání, Plzeň, 2006
6. Tomáš Jarošek: Zkušební stanoviště W 150 (Schenck), 2001
7. Pracovní příručka Vřívé dynamometry řady WT, 1999
8. Pracovní příručka AVL 733S Dynamický měřič spotřeby paliva, 1999
9. Zařízení pro teplotní stabilizaci PIKAZ – VDZ, Brno, 2000
10. Wirbelstrom-Leistungsbremsen WT 190, 2000
11. Betriebsanleitung für hydraulische Leistungsbremse DYNABAR D630-1
12. Betriebsanleitung Motorenprüfstand mit Hydraulischer Leistungsbremse D 700-1e, 1989
13. Zkušební stanoviště s asynchronním dynamometrem ASD
14. Návod k obsluze a údržbě zkušebního zařízení OKC na stanovení oktanových čísel motorových paliv, Brno, 1956
15. EVIS – L102 Řídící jednotka zkušebního jednoválce
16. Slavomír Bezouška: DP Zvýšení rychloběžnosti zkušebního pístového motoru, Liberec, 1999
17. Hynek Drozda: DP Přeplňování jednoválcového zkušebního motoru OKC-Oktan, Liberec, 2000
18. Komutátorový dynamometr KS 56B-4, 1960

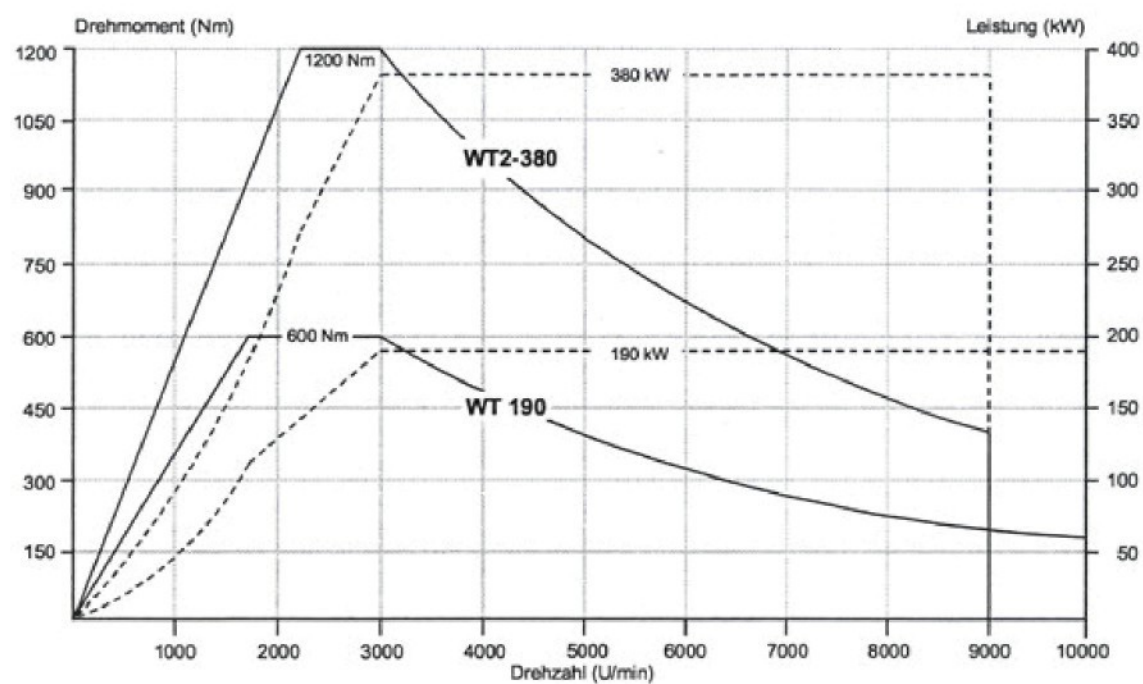
**Příloha 1: Schéma rozmístění brzdrových stanovišť v laboratoři:**



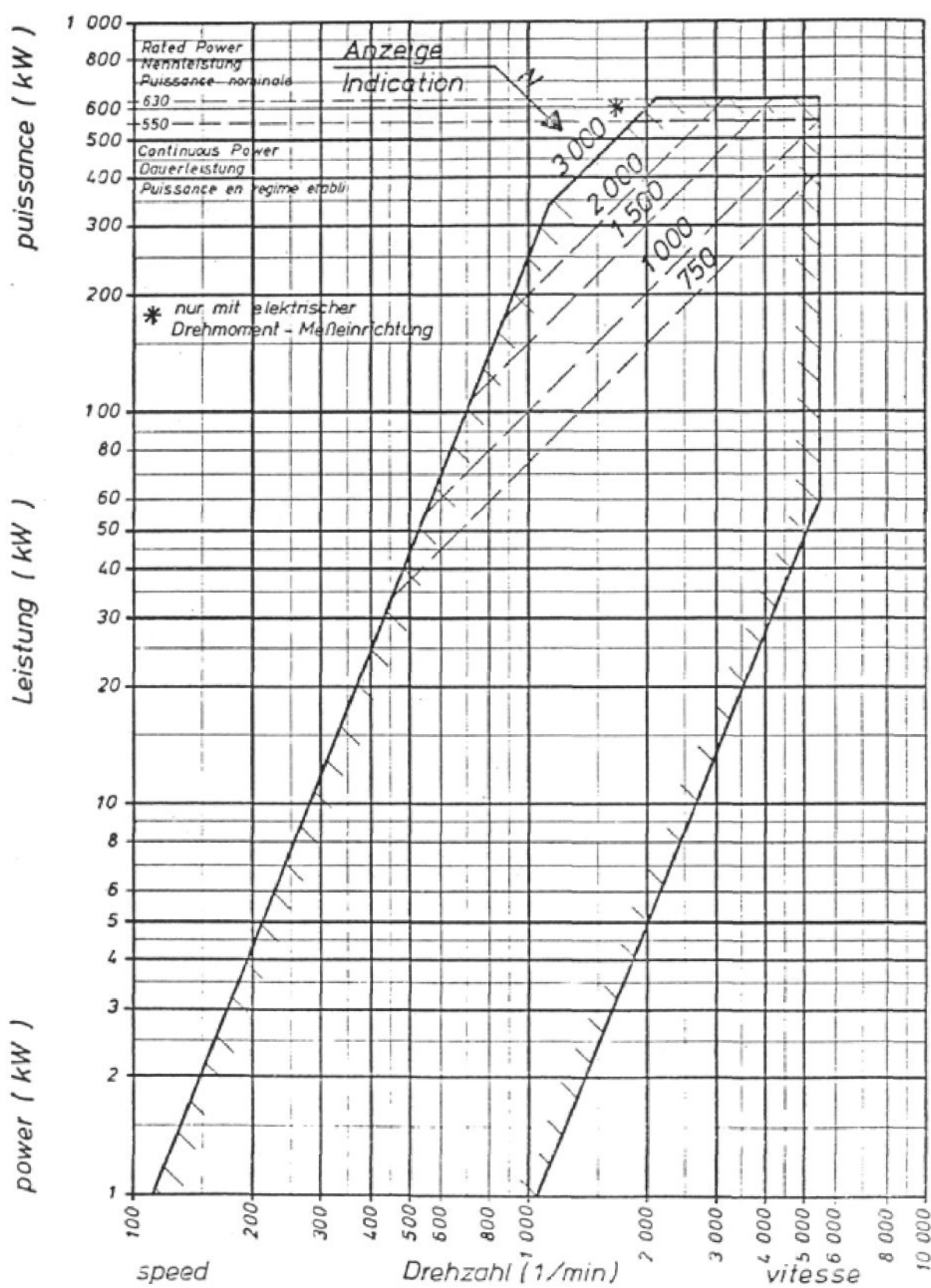
Příloha 2: Stanoviště 2 charakteristika dynamometru Schenck WT 150:



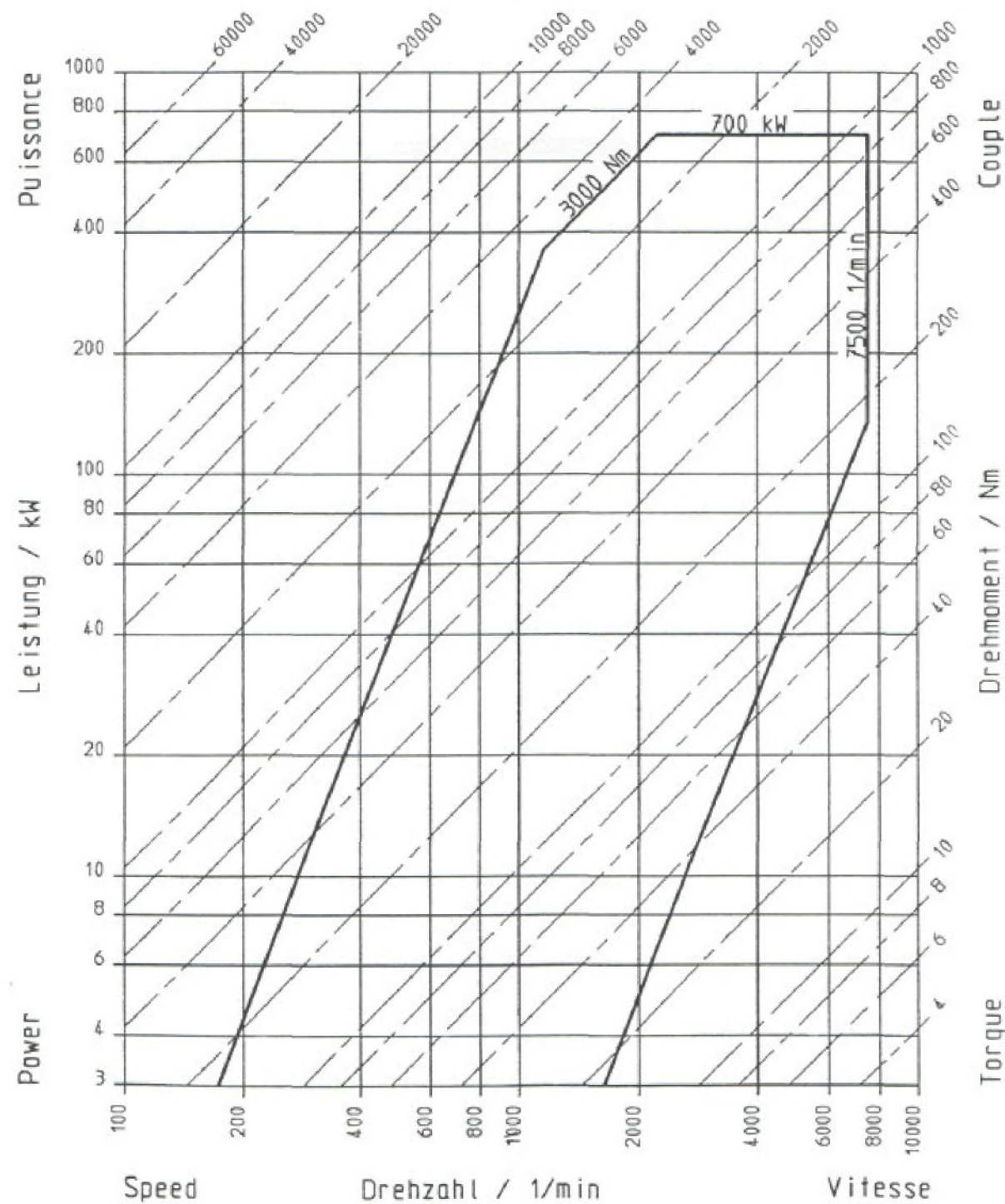
**Příloha 3: Stanoviště 3 charakteristika dynamometru Schenck WT 190:**



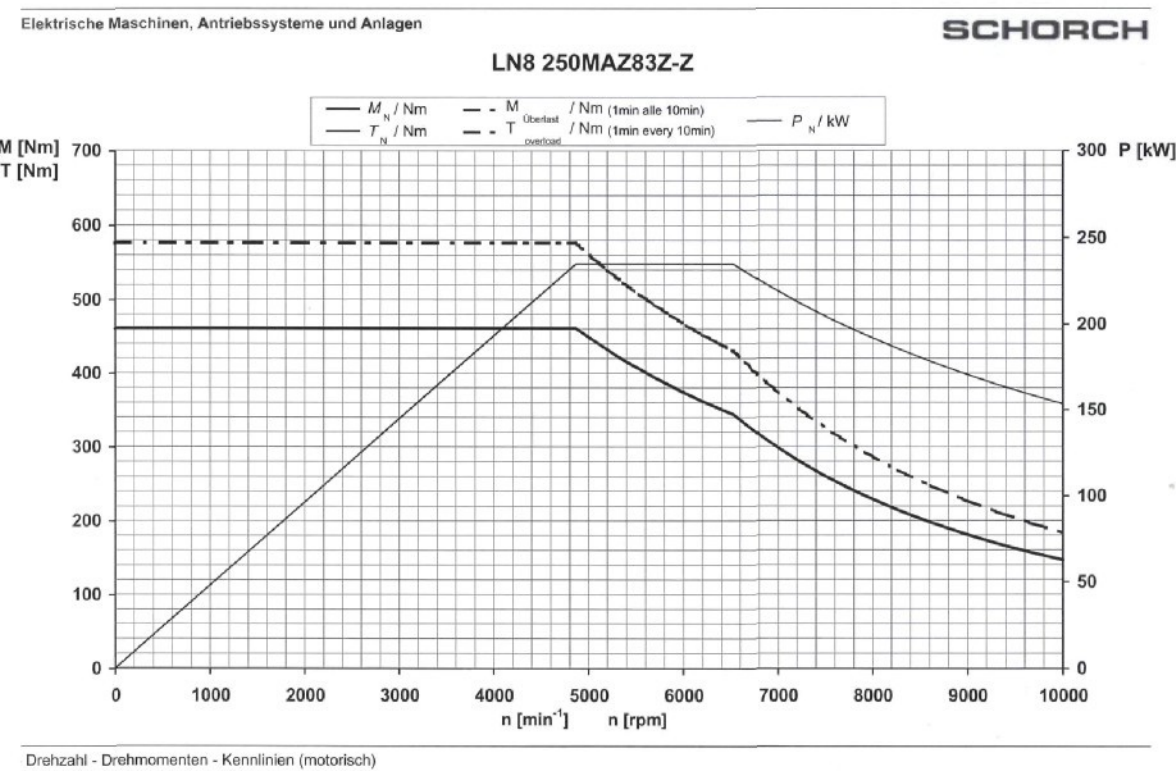
Příloha 4: Stanoviště 4 charakteristika dynamometru Schenck D 630 – 1:



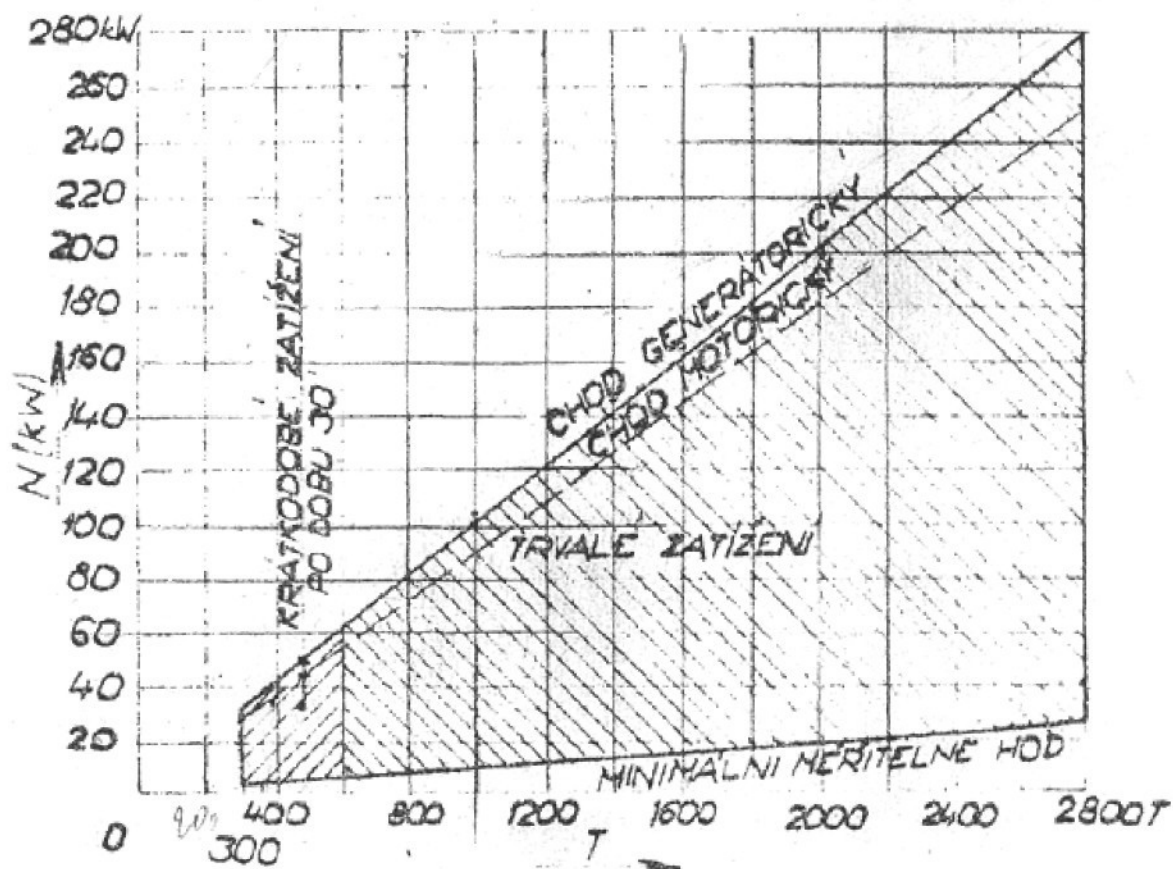
**Příloha 5: Stanoviště 5 charakteristika dynamometru Schenck D 700 – 1e:**

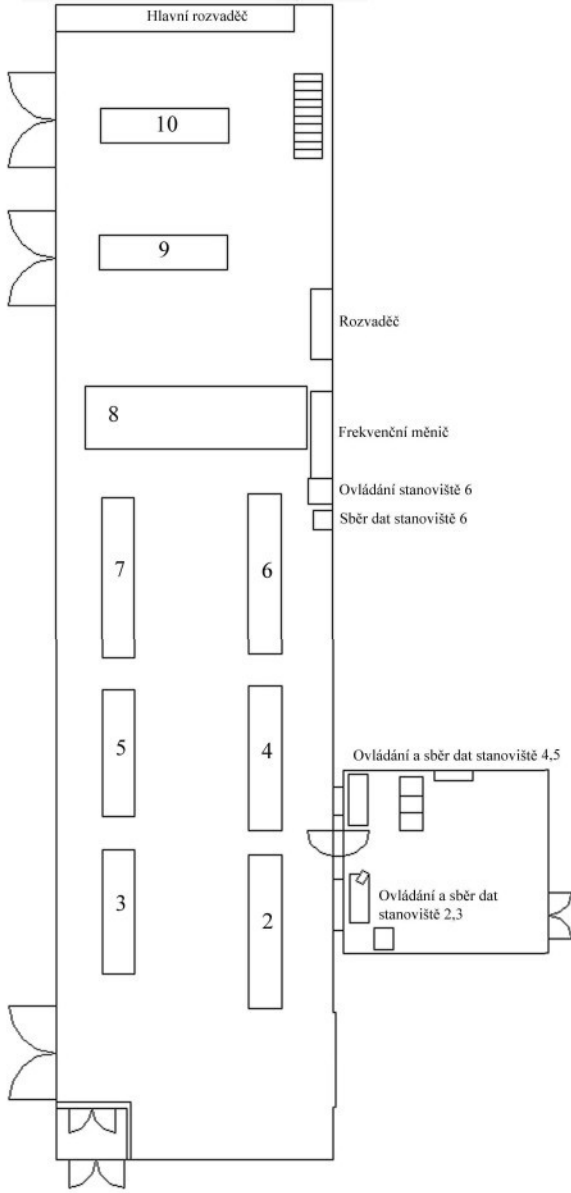


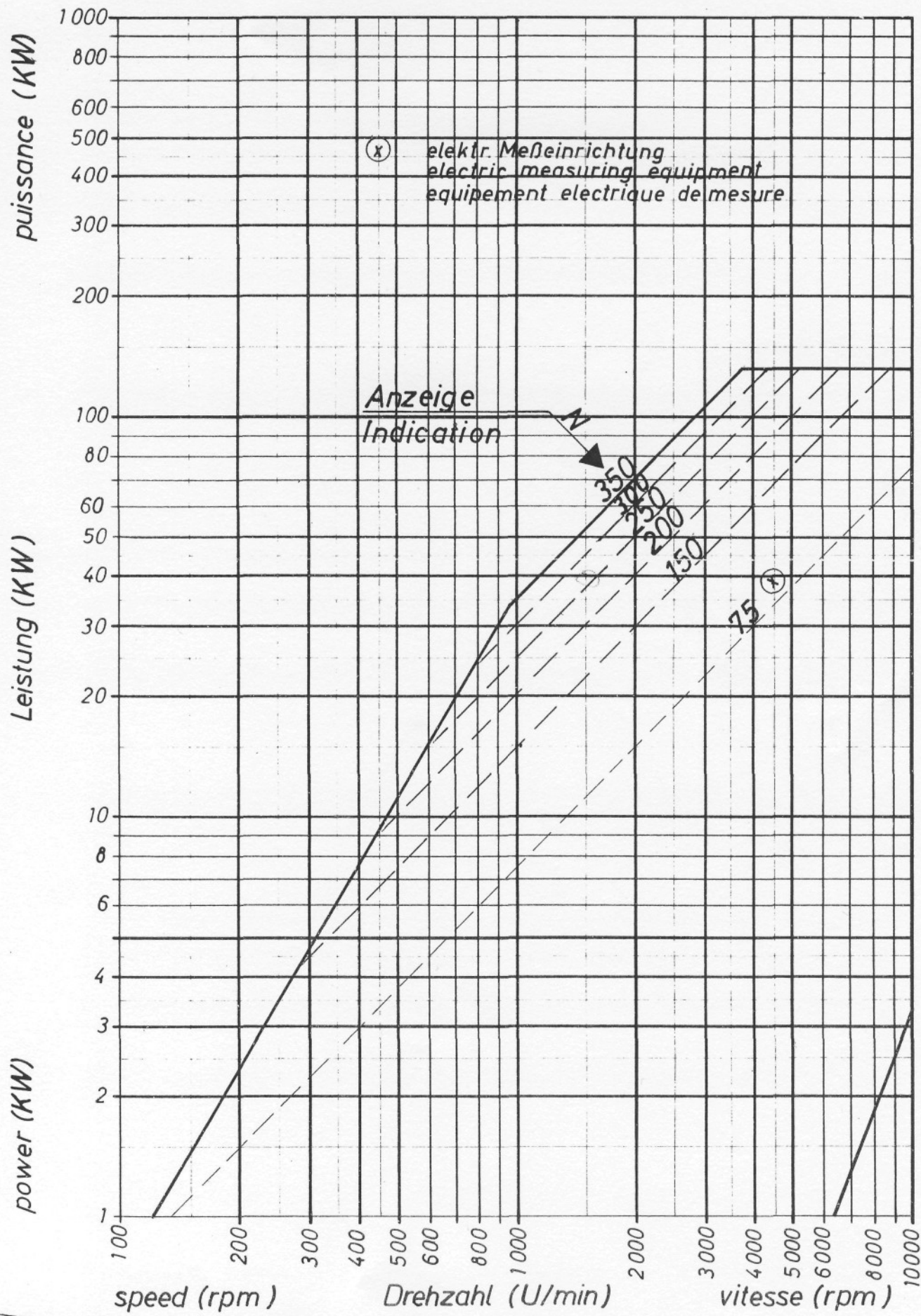
## Příloha 6: Stanoviště 6 charakteristika dynamometru ASD 235 M250:



Příloha 7: Stanoviště 9 a 10 charakteristika dynamometru KS 56B – 4:







Name Datum

Alle Rechte vorbehalten. Vervielfältigung und  
Weitergabe an Dritte nicht gestattet. Zu wider-  
handlungen verpflichten zu Schadensersatz  
und können strafrechtliche Folgen haben.

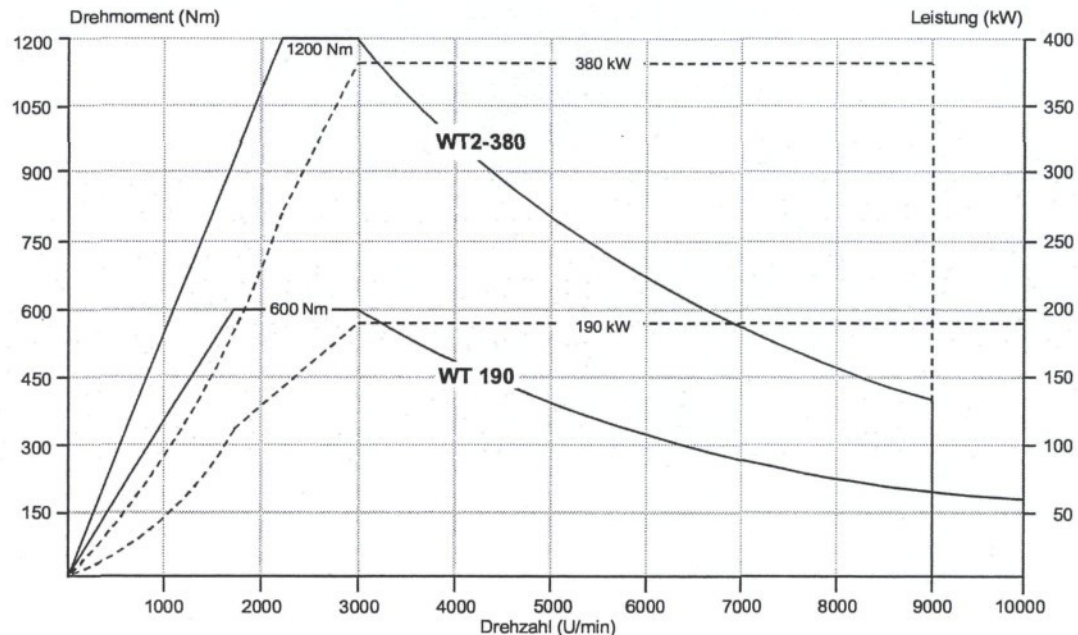
Nm/Vd 172 4



Carl Schenck  
Maschinenfabrik GmbH Darmstadt

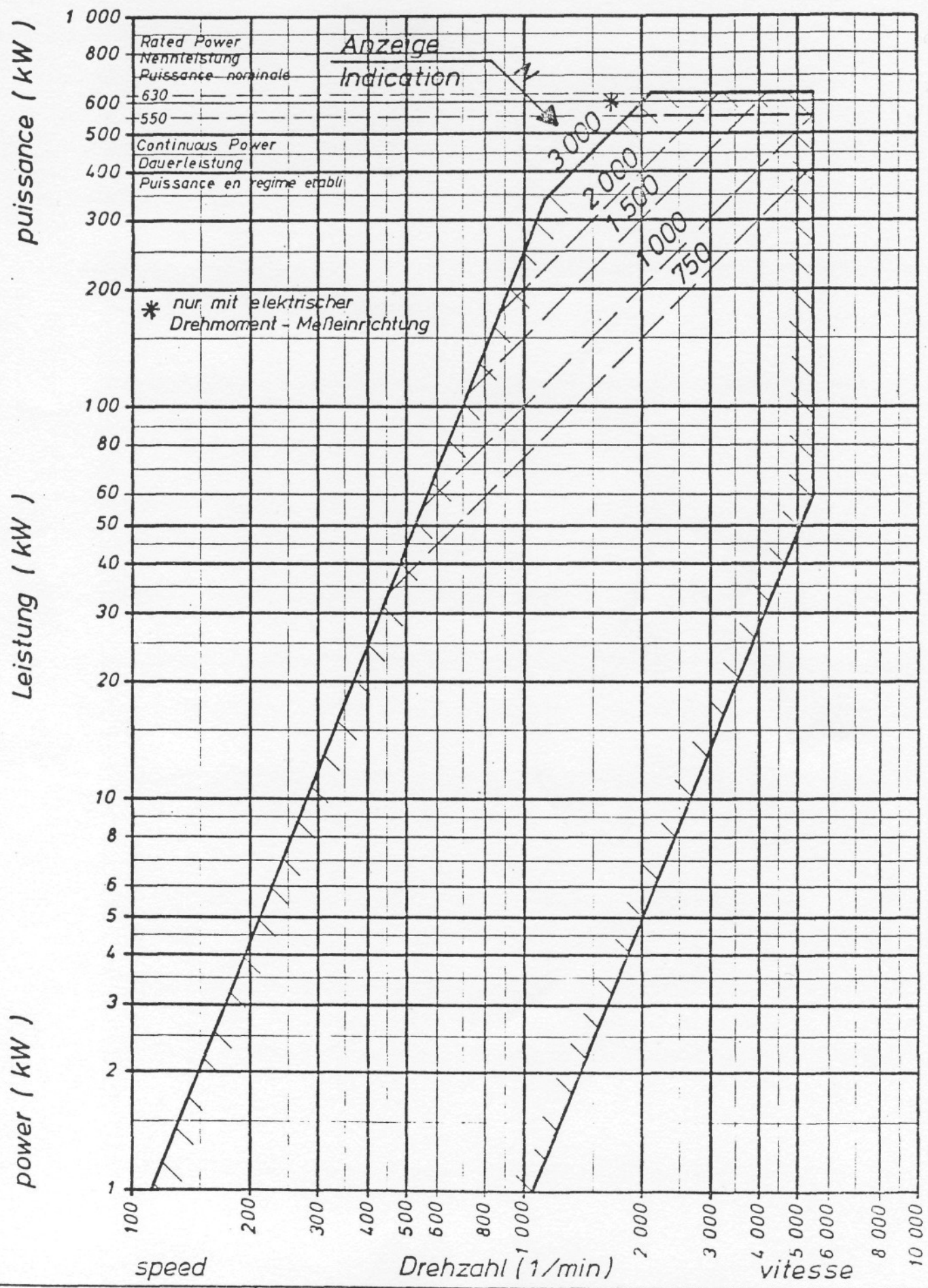
D, 3.2

## 2.5.1. Leistungsbereich WT 190 und WT2-380



Hydraulische Leistungsbremse  
D 630 - 1

LP8 516



Ks.	11.77
Schürgs	11.11.77
Name	Datum

Für diese Unterlage behalten  
wir uns alle Rechte gemäß  
DIN 34 Abschnitt 2.1 vor

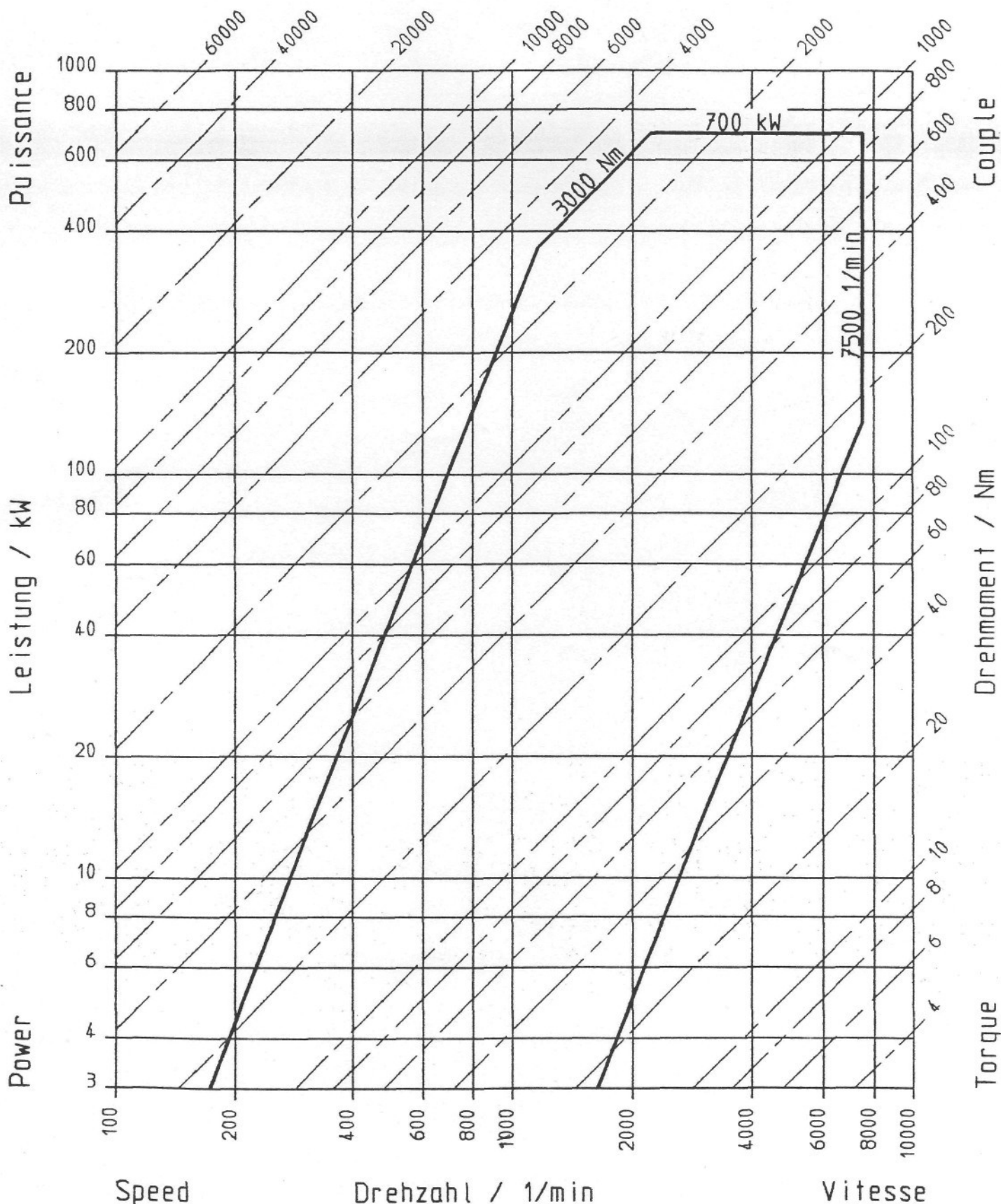
© CARL SCHENCK AG  
D-61 Darmstadt

282

Hydraulische Leistungsbremse  
Hydraulic Dynamometer  
Frein hydraulique

 SCHENCK

D 700-1

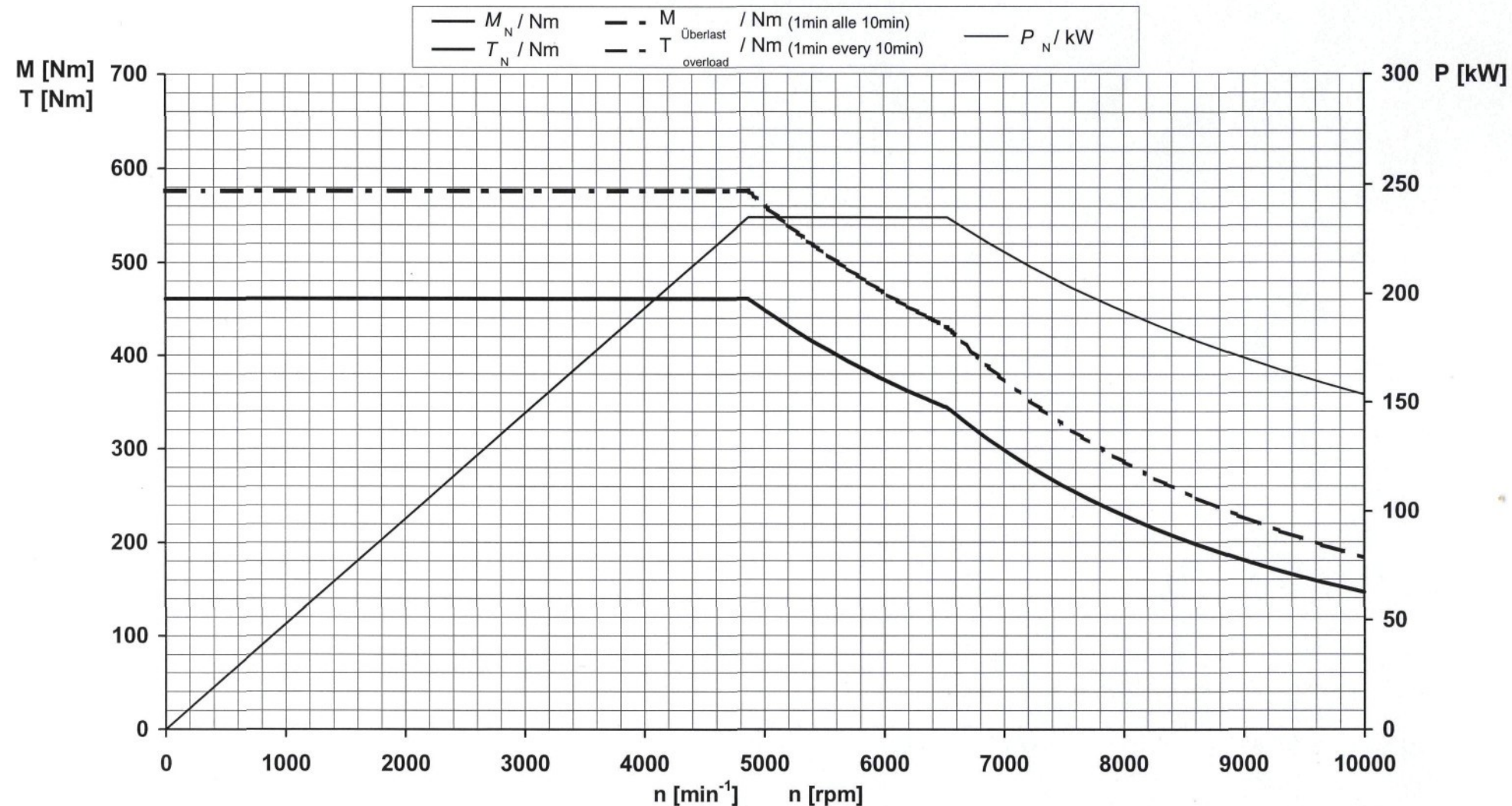


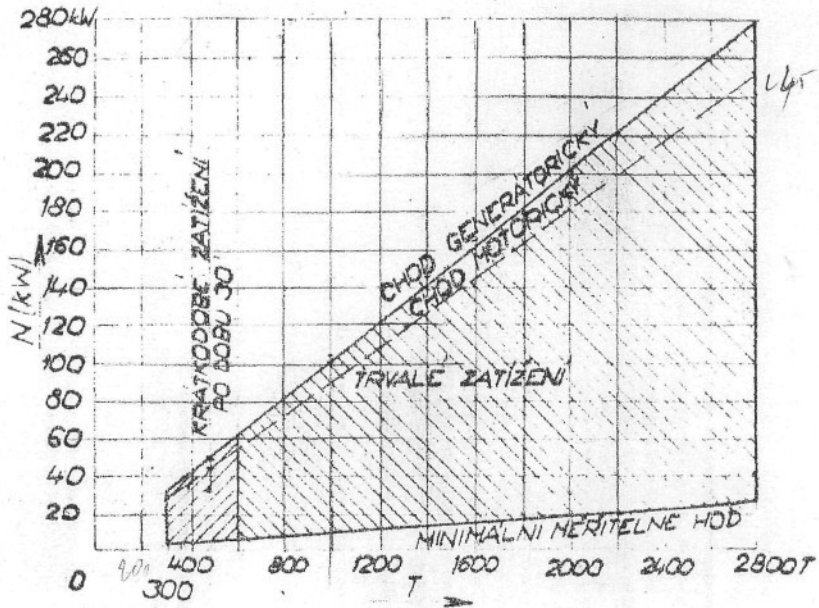
Weitergabe sowie Vervielfältigung dieser Unterlage ist nicht gestattet. Alle Eigentums- und Urheberrechte verbleiben bei CARL SCHENCK AG.

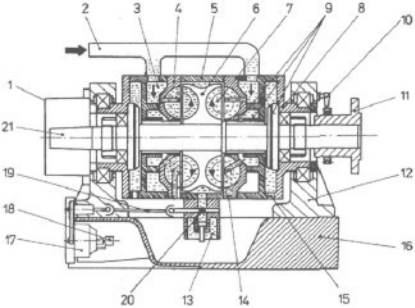
Transmission to third parties and reproduction of this documentation are not permitted. CARL SCHENCK AG reserve any rights of ownership and copyrights.

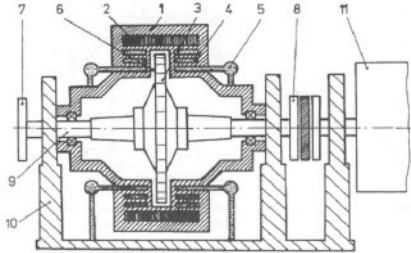
La reproduction et la remise de ces documents à une tierce personne sont interdites. Tous droits de propriété et d'auteur sont réservés à la SA CARL SCHENCK.

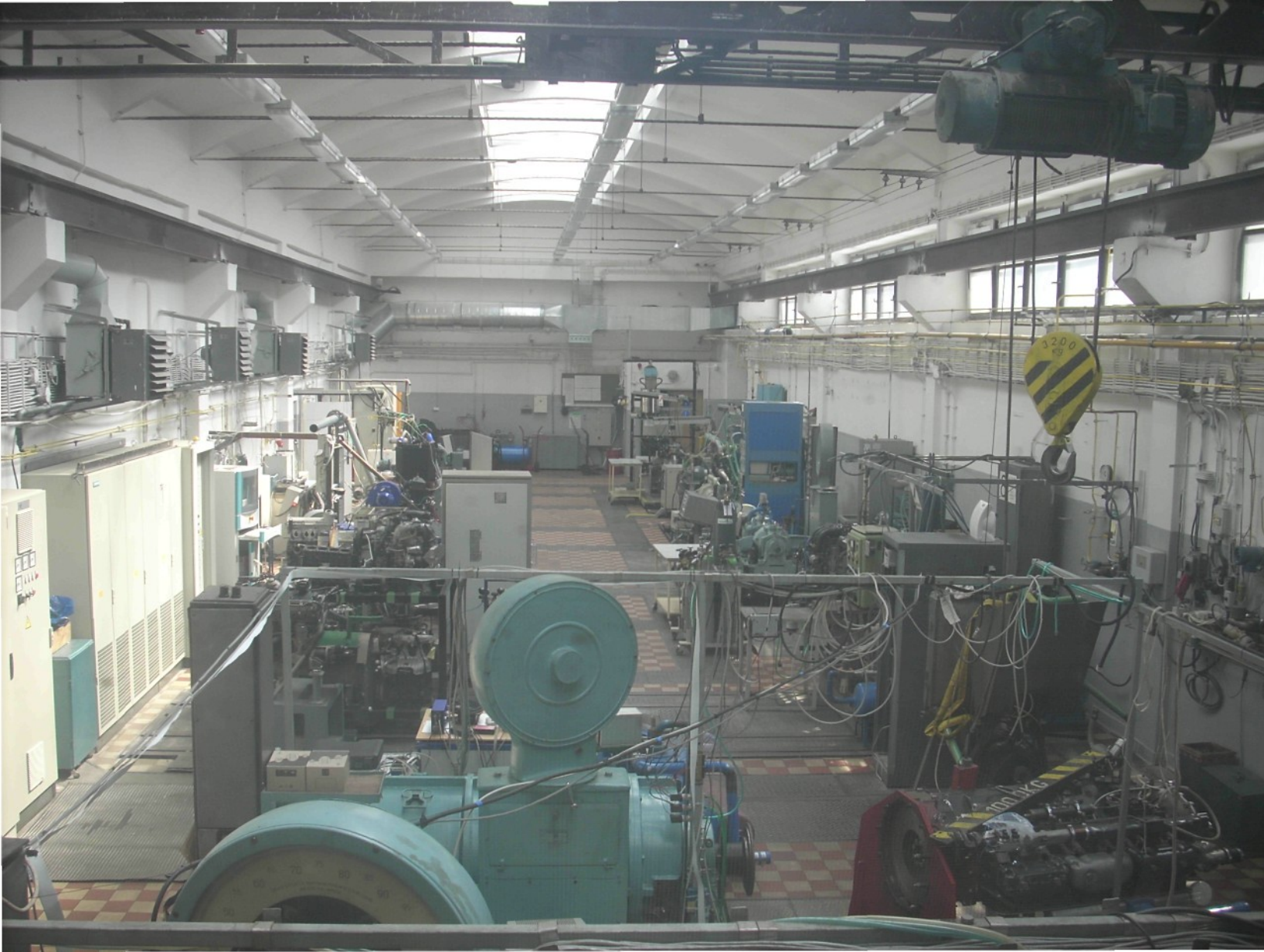
DLP6 610

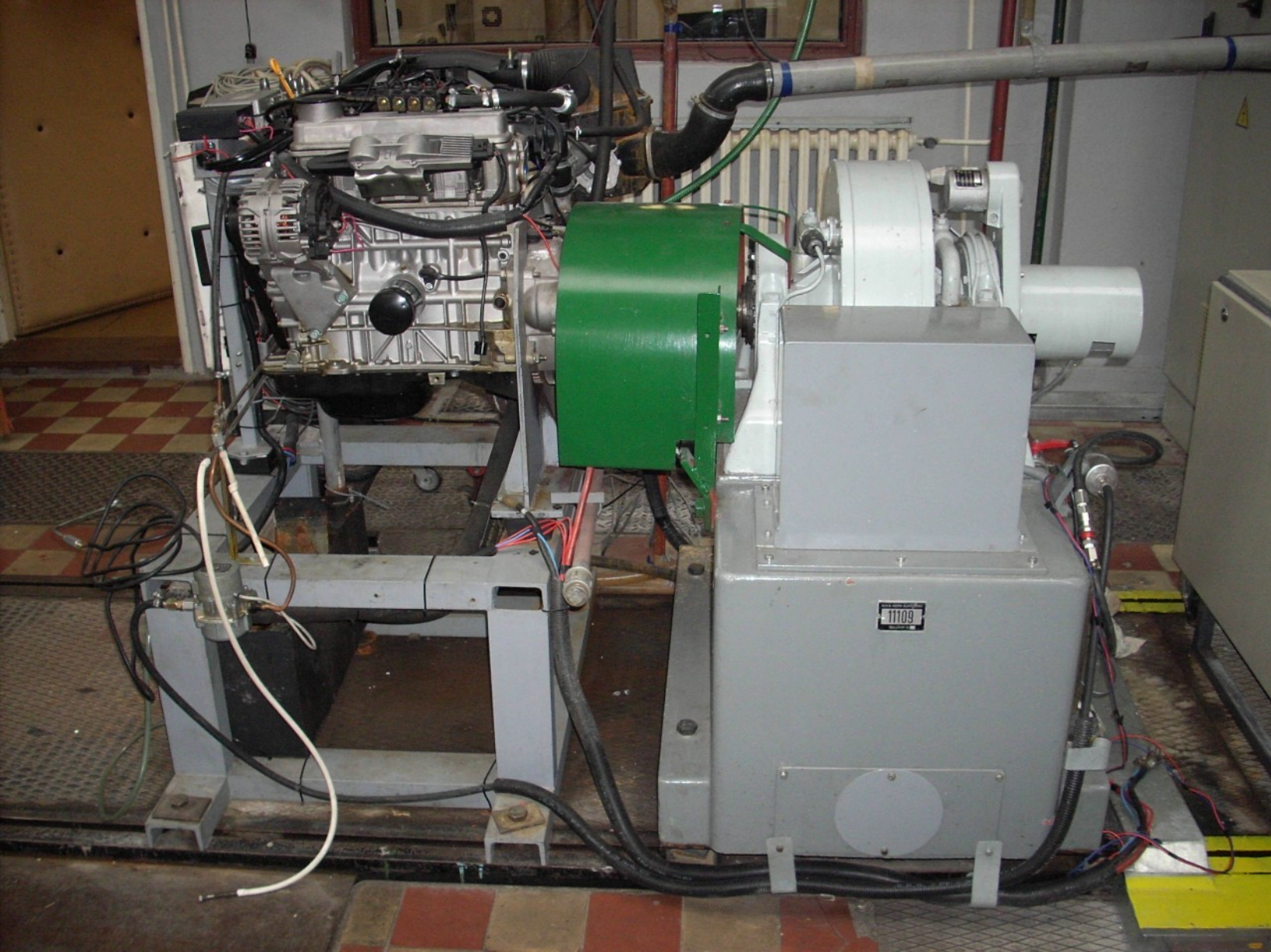
**LN8 250MAZ83Z-Z**











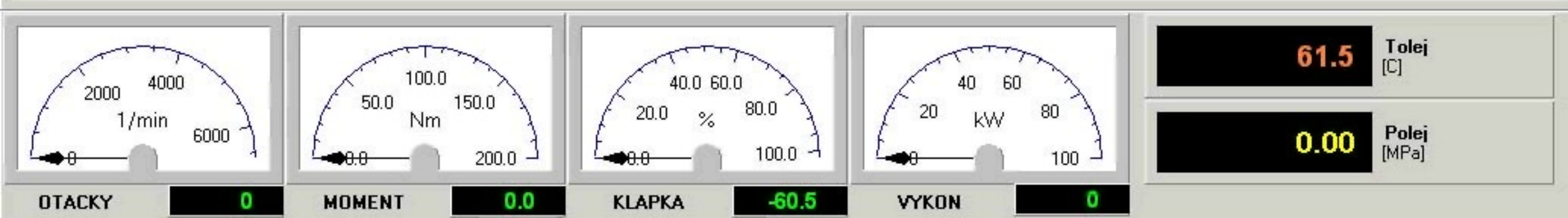
111109

MEZ servis  
VÝSTAV



Ruční zkouška: **n = k.**  
 Automatická zkouška: **Není navolena**  
 Automatický krok: **-**

Čas: 14:48:21  
 Zkouška: 0:00:00  
 Motor: 4:02:15

0.0	VÝKON [kW]	49.9	Tv_VST [C]	0.00	Polej [MPa]	9	REZIM [-]	0.0	HC [-]
		58.9	Tv_VYST [C]	-99.9 ↓	Psaci [kPa]	0	Rez [-]	0.0	CO [-]
0.0	MT_ZH [Nm]	61.5	Tolej [C]	0.2	Pvyfuk [kPa]	0.000	Sp.hod [kg/hod]	0.0	NOx [-]
0.0	KLAPKA_ZH [%]	25.1	Tsaci_CL [C]	0.00	deltaP [kPa]	0.000	ISOKOR [2002]	0.0	CO2 [-]
0.000	SH [kg/hod]	25.8	Tsaci_POT [C]	0.0	Rez [-]	4.0	Pbar [kPa]	4.0	Rez1 [-]
		174.0	Tvyf1 [C]	0.0	Rez [-]	4.0	REL_VLH [-]	4.0	Rez2 [-]
		-0.8	Tvyf2 [C]	0.0	Rez [-]	4.0	Rez6 [-]	4.0	Rez3 [-]
0.0	SMER [g/kWh]	-0.2	Trez [C]	0.0	Rez [-]	4.0	Rez7 [-]	4.0	Rez4 [-]
		0	Rez [-]	0.00	STEP TM [sec]	4.0	Rez8 [-]	4.0	Rez5 [-]

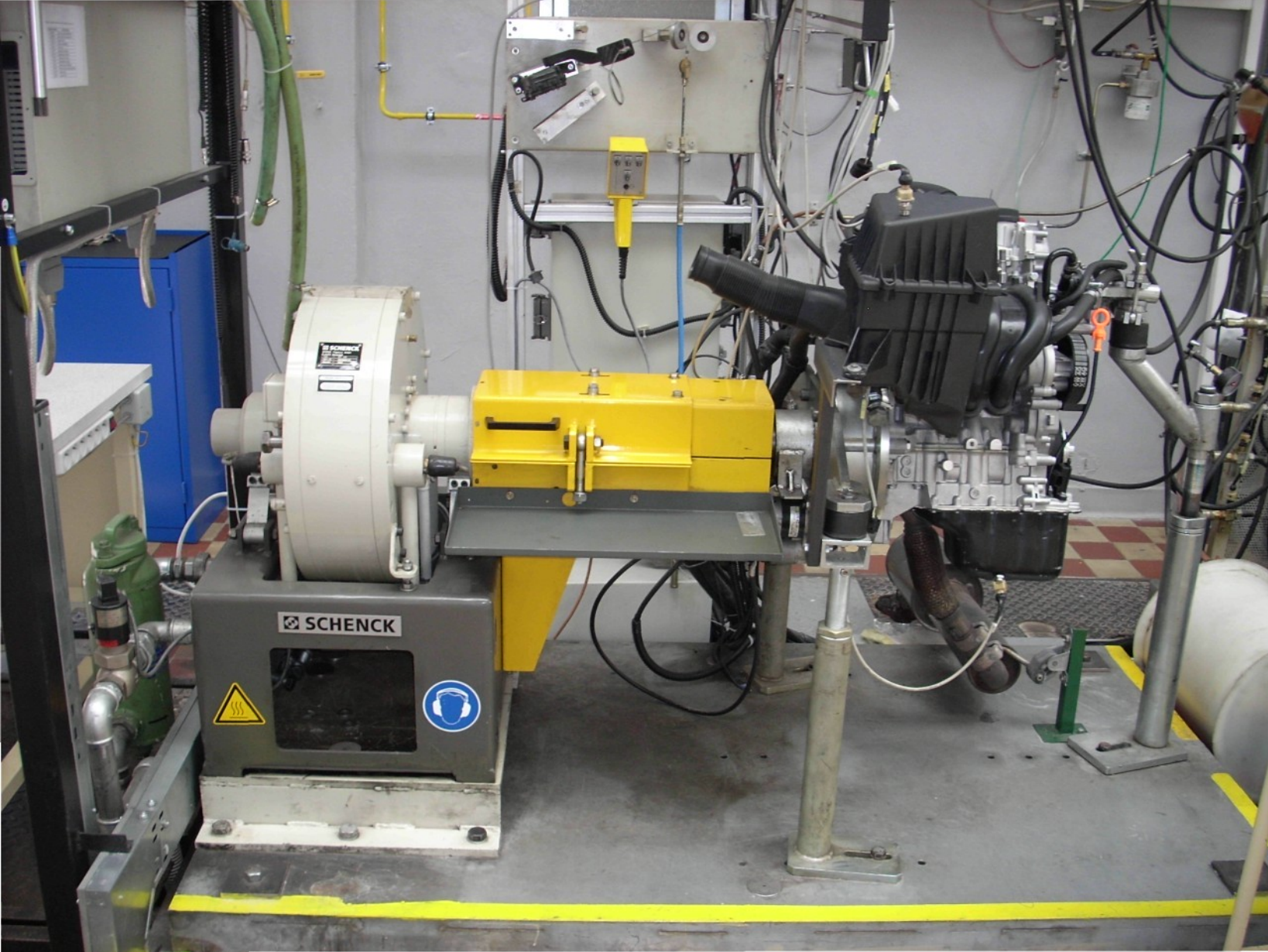
Ovládání Přehled Přehled II Přehled III Grafy Grafy II Skripty Regulátory Regulátory2 Audit

Příprava	n = k	Automat	---	Zapalování
Chod	M = k	Pauza	Chl.PIKAZ	---

Starter	n / M	Spotřeba	M / n	---
Stop	M=0	Záznam	Další	Reset

0%	0%	0%
Otácky žádané	Moment žádaný	Servo žádané
0	0	0
Krok	<input type="radio"/> 1 <input type="radio"/> 5 <input type="radio"/> 10 <input type="radio"/> 50 <input type="radio"/> 100 <input type="radio"/> 500	



Soubor Zdroby Data Nastavení Náporéda

Rudník zkouška: n = 1.

Automatická zkouška: Není prováděna

Automatický krok:

14:46:24 M\_yzd - podřízení mazal

14:46:24 M\_yzd - hodnota v mezech

Čas: 14:46:24

Zkouška: 0.00-00

Motor: 0.00-00



OTADKY

0



MOHENT

1.0



KLAPKA

0.0



VYKON

0.0

0	OTADKY_ZH [1/min]	26.7	T_OLEVS [°C]	0.01 ↓	P_OLEJ [MPa]	0.00	P_ISO [kW]
		24.0	T_OLEVY [°C]	1	P_PALVY_B [MPa]	1.1	HT_ISO [Nm]
0.0	HT_ZH [Nm]	24.5	T_VODVS [°C]	11	P_VODA2 [MPa]	0.0	PE_ISO [kPa]
		24.7	T_VODVY [°C]	0.2	P_SADI [kPa]	1.040	ISOKDR [-]
0.0	KLAPKA_ZH [%]	26	T_VYFH [°C]	-1.0	P_VYFPK [MPa]	43.3	REL_VLH [%]
0.000	SH [kg/hod]	22	T_VYFZ [°C]	-0.6	P_VYFZK [MPa]	966	P_BAROM [mbm]
0.0	SMERISO [g/kWh]	26.4	T_PROST [°C]	27.4	T_V202T [°C]	-0.2	P_V202T [MPa]
		26.8	T_V2D [°C]	27.0	T_V202H [°C]	0.2	P_V202H [MPa]
		26.2	T_PALVY_B [°C]	25.1	T_PALVY_B [°C]	0.0	P_VYFZK2 [kPa]

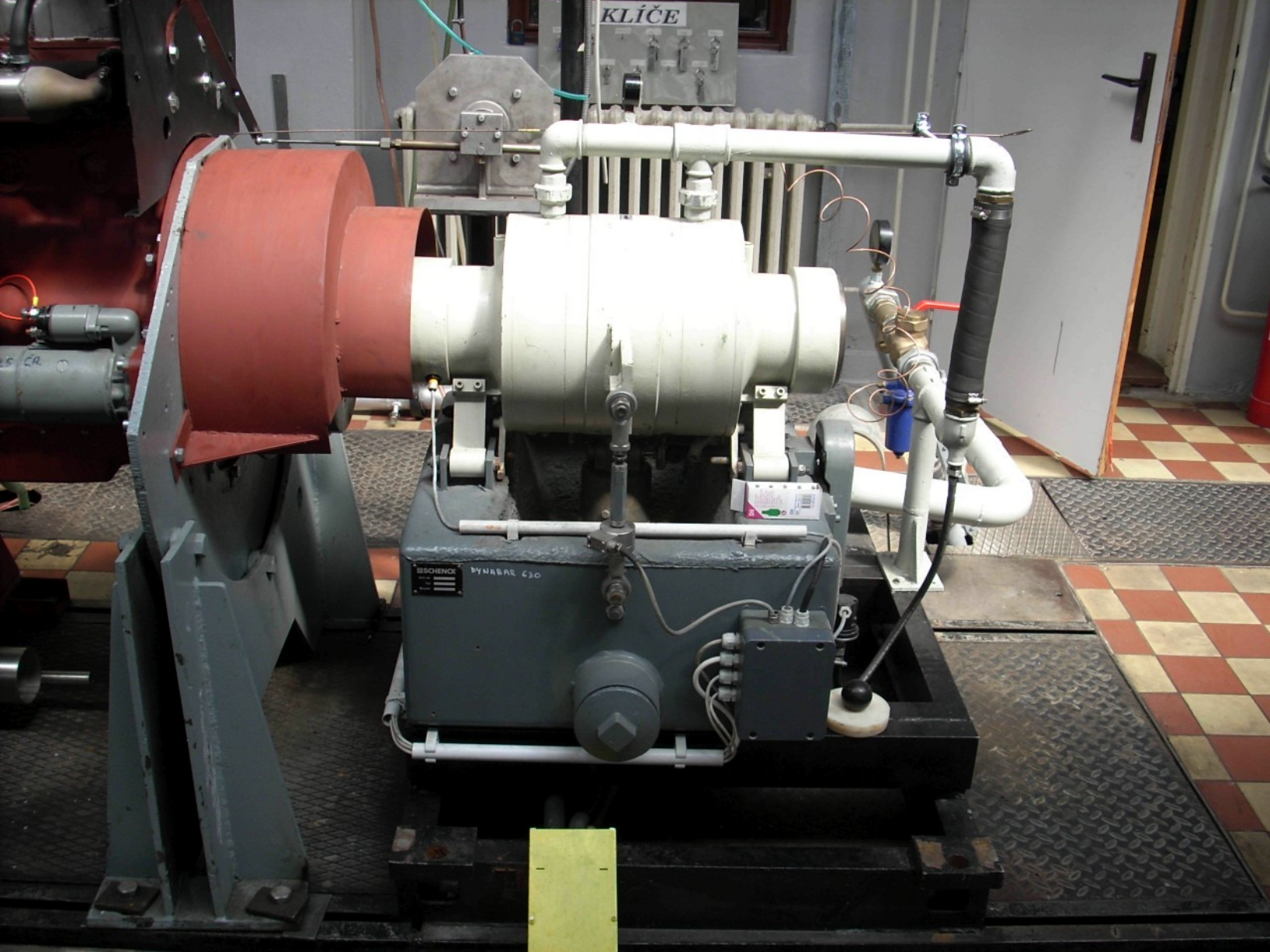
Ovládání Přehled Přehled II Externí přípojka Systémové údaje Stránky

— Měření: pracující

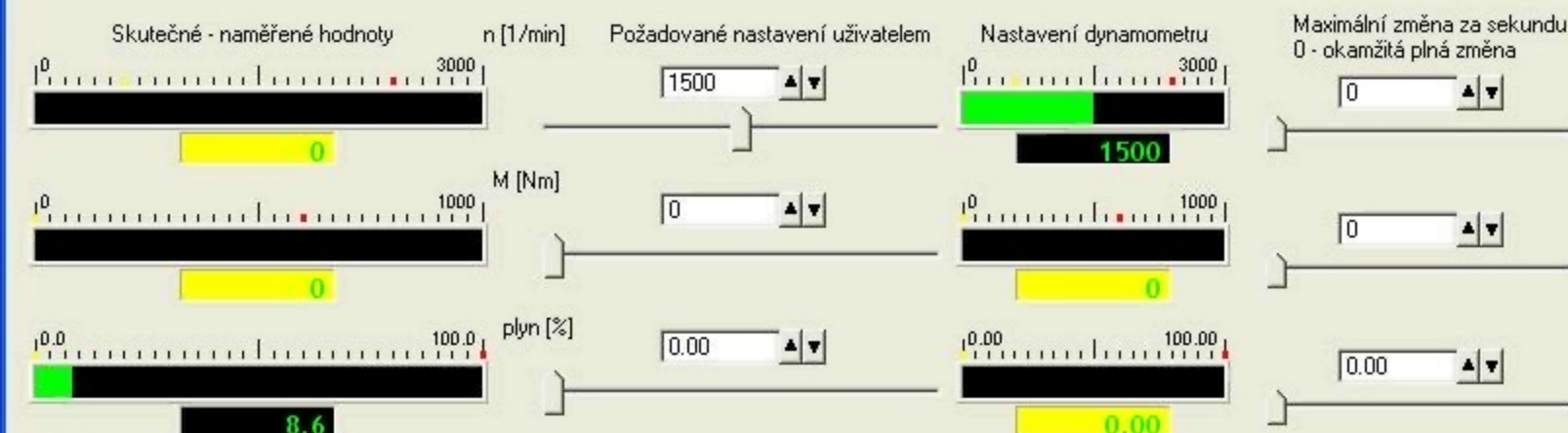
Rudný Rudní

Spotřeba

Datum: 21.5.2009







Ovládání dynamometru

ruční      počítačem



Režim dynamometru

n=const      M=const      M=(n)

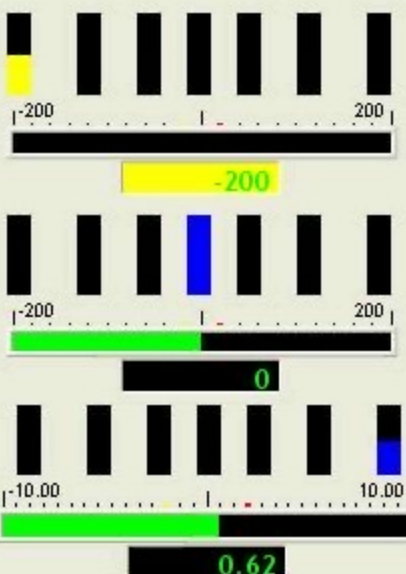


Ovládání plynu

Plyn nastavován

Automatické-Schenck

Fuzzy regulátor



Tlak na filtru [kPa]      Teplota filtru - vstup [C]

-001      25

Filtr častic

 9627 Baro tlak [mbar]  
 268 Teplota [C]  
 397 Vlhkost [%]

Vodní dynamometr

Výstup vody z brzdy [C]  
282

Výfuk za turbem

-00 kPa

28 C

TURBO

Průtok [kg/h]

-14

Podtlak před turbem [kPa]  
001

Motorový olej

-2 kPa

27.0 C

Výfuk před turbem

-1.4 kPa

25 C

Plnicí vzduch před mezichladičem

-05 kPa

325 C

Motor Zetor 1505

Palivo válec č.1

23.3 C

Vstřikovací čerpadlo

25.2 C

Sací potrubí včetně EGR

0.4 kPa

26.7 C

Výstup do chladiče [C]

26.1

25.1

Výstup z chladiče [C]

25.1

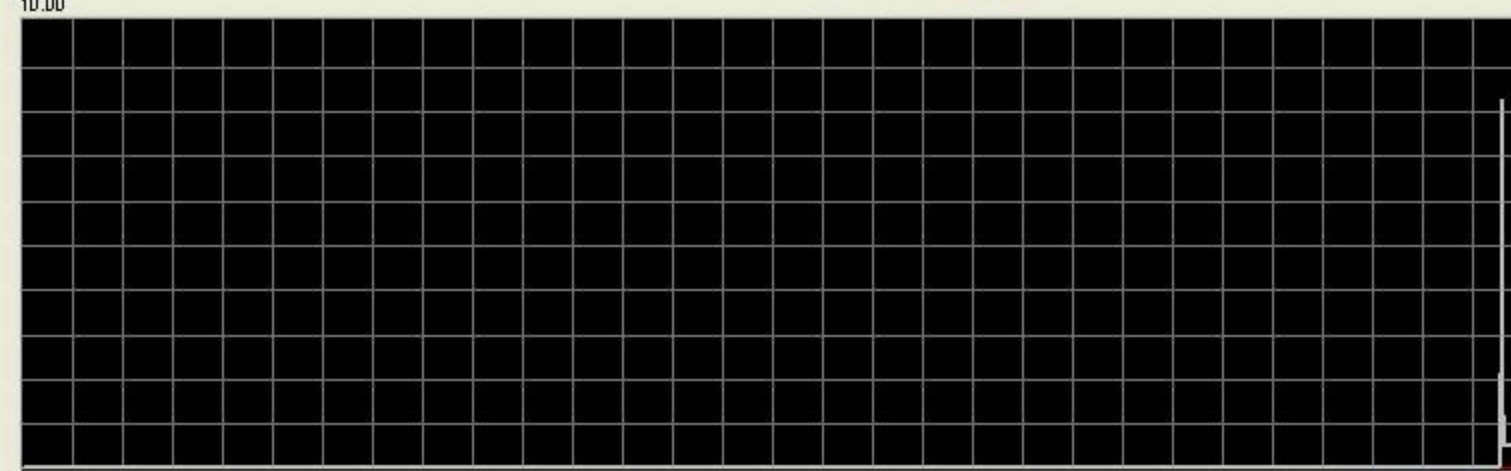
Plnicí vzduch

02 kPa

300 C

00 kPa

10.00

Ovládání vodního dynamometru Schenck Dynabar D-630  
Katedra vozidel a motorů, Technická univerzita v Liberci

(C) MV 2008,2009

Motor Zetor 1505 - provoz na rostlinný olej

Grantový úkol GAČR 101/08/1717

Analogové vstupy A - karta PCI-1711 [V]

T paliva vstup do čerp.      Dif.tlak +/- 7 kPa

0 1444 8 -0005

Neobsazen      Barometrický tlak

1 -0008 9 3042

Neobsazen      Teplota vzduchu

2 -0008 10 2676

Tlak na filtru častic      Rel. vlhkost vzduchu

3 0948 11 2483

Tlak sání rezerva      Externí napětí

4 -0008 12 0536

Tlak výf před turb.

5 0946 13 -0008

Tlak sání za EGR

6 0011 14 -0004

Tlak sání za mezichl.

7 0006 15 0859

Pedál plynu

Analogové vstupy B - karta PCI-1731 [V]

TC K výf př turb.      TC K paliv potrubí

0 2119 8 2099

Neobsazen      T voda dynamometr

1 2146 9 2938

Neobsazen      Podtlak před turbem

2 2896 10 9545

Tlak na filtru za turbem      Tlak sání za turbem

3 3101 11 1856

Tlak sání za turbem      Tlak výfuk za turbem

4 2861 12 1878

Tlak chladič výstup      Tlak motor. olej

5 2824 13 1857

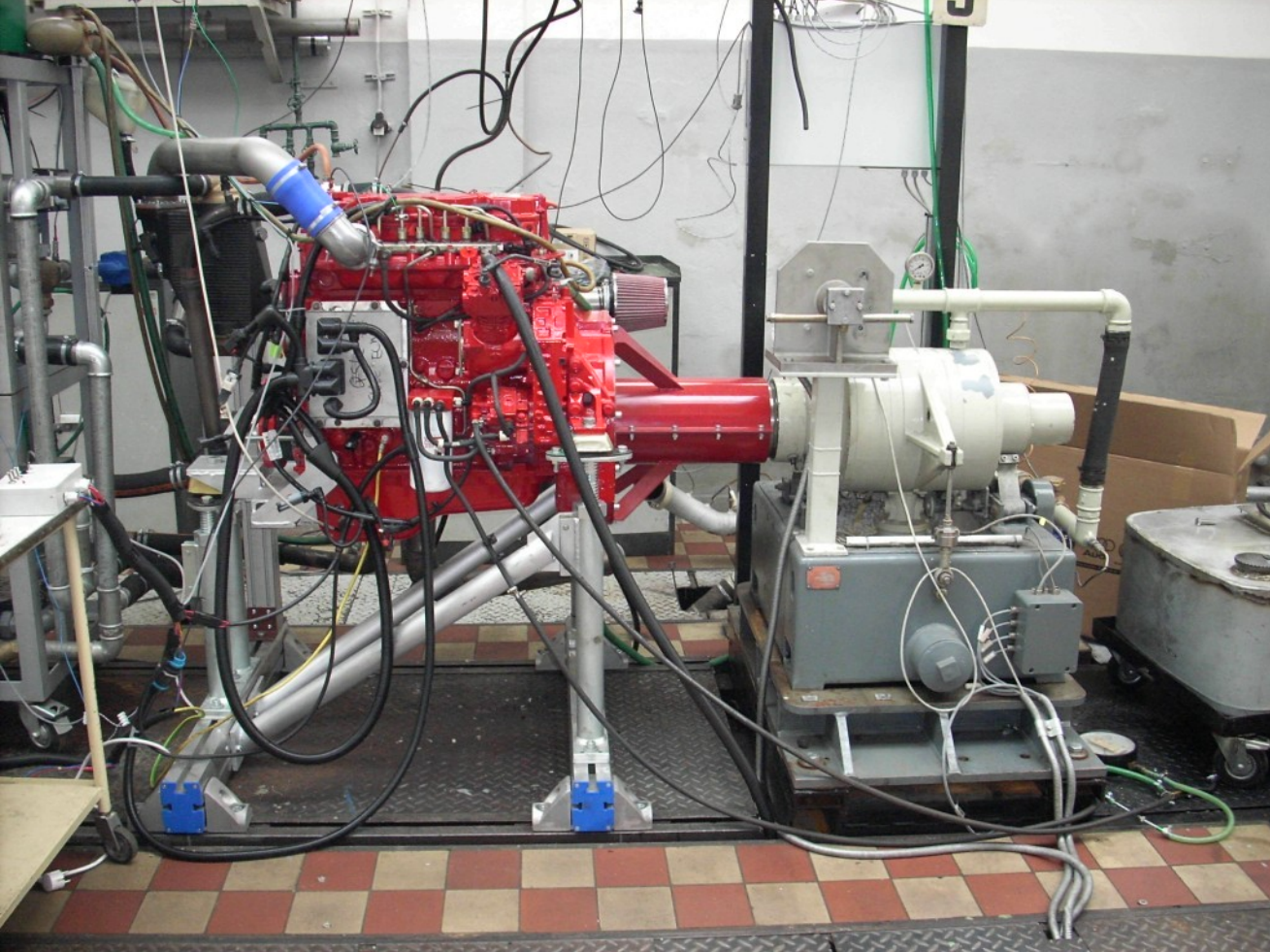
Tlak sání za EGR

6 2882 14 2086

TC K hrana filtru

7 3007 15 1870

Prutok vzduchu





Ovládání dynamometru  
 ruční       počítačem

Režim dynamometru  
 n=const    M=const    M=(n)

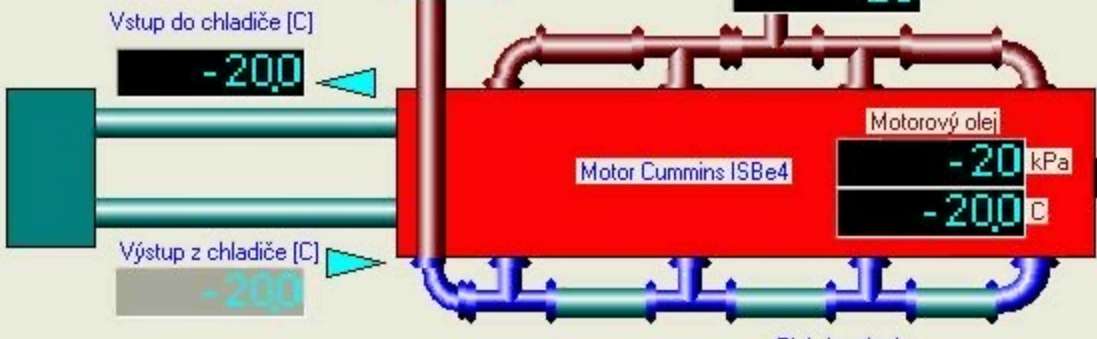
Ovládání plynu  
 Plyn nastavován  
 Automatické-Schenck  
 Fuzzy regulátor

Výfuk za turbem      -20 °C

Neoverená vývojová verze  
 Snímače nekalibrovány  
 (C) Michal Vojtíšek 2009

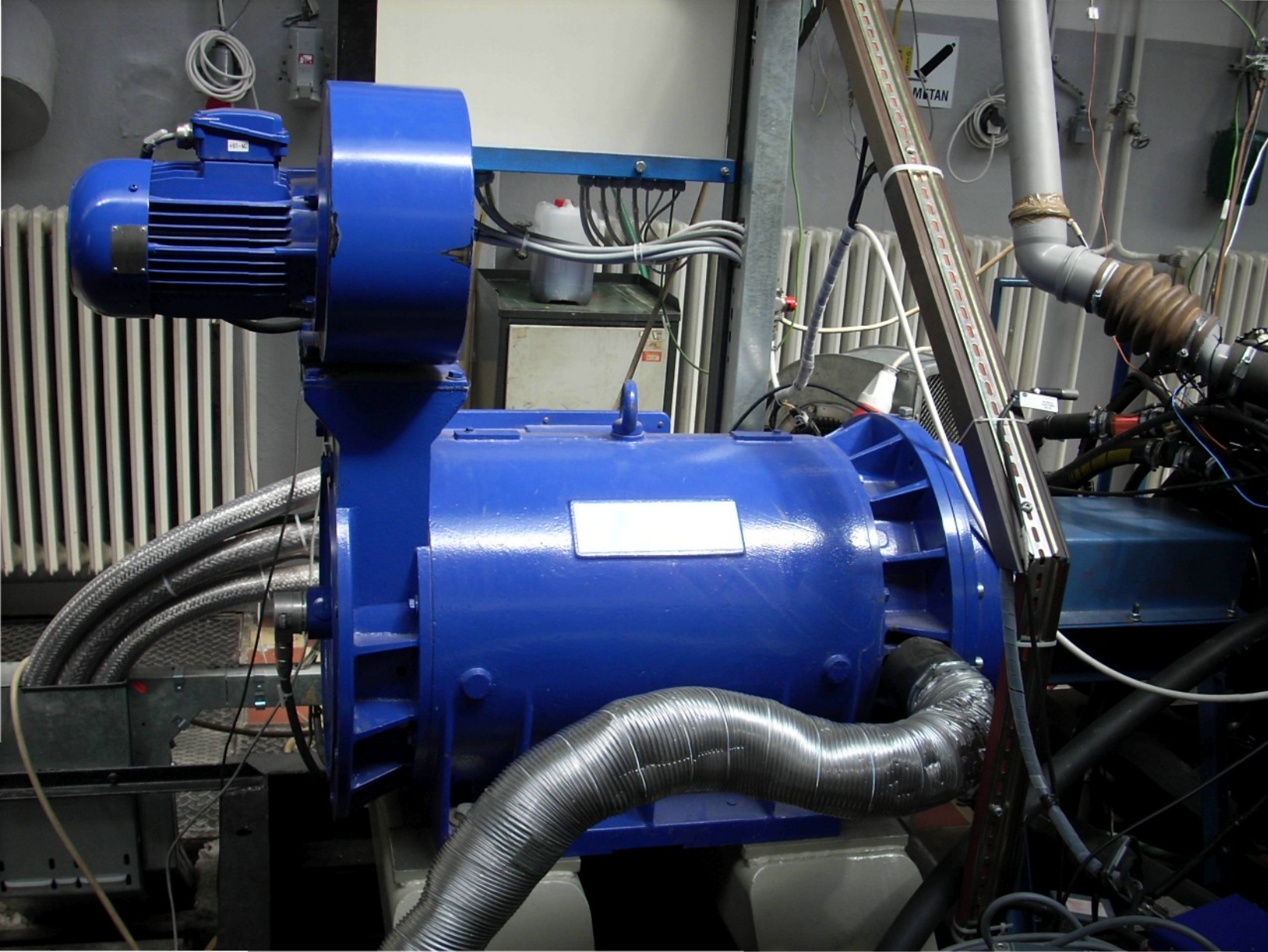
Barometrický tlak  
 -200 kPa

Voda v mezichladiči      -200 °C  
 Vzduch před mezichladičem      -200 °C  
 Výfuk před turbem      0.0 kPa  
 -20 °C



Neoverená vývojová verze  
 Snímače nekalibrovány

Analogové vstupy A - karta PCI-1711 [V]		Analogové vstupy B - karta PCI-1731 [V]	
0	-0.008	8	-0.008
1	-0.008	9	-0.008
2	-0.008	10	-0.008
3	-0.008	11	-0.008
4	-0.009	12	-0.008
5	-0.008	13	-0.008
6	-0.008	14	-0.009
7	-0.008	15	-0.009
Otáčky		T chladič vstup	
Moment		T sání za turbem	
Pedál plynu		T voda mezichladič	
T sání za turbem		T tlak motor. olej	
T tlak výfuk před turbem			
T tlak sání za turbem			
T tlak sání za mezichl.			
T tlak výfuk za turb.			
T tlak vody v mezichladič			
T tlak vody v chladiči			
T tlak vody v motoru			
T tlak vody v výfuku			
T tlak vody v sání			
T tlak vody v vodním dynamometru			
T tlak vody v chladiči			
T tlak vody v výfuku			
T tlak vody v sání			
T tlak vody v vodním dynamometru			
T tlak vody v chladiči			
T tlak vody v výfuku			
T tlak vody v sání			
T tlak vody v vodním dynamometru			
T tlak vody v chladiči			
T tlak vody v výfuku			
T tlak vody v sání			
T tlak vody v vodním dynamometru			
T tlak vody v chladiči			
T tlak vody v výfuku			
T tlak vody v sání			
T tlak vody v vodním dynamometru			
T tlak vody v chladiči			
T tlak vody v výfuku			
T tlak vody v sání			
T tlak vody v vodním dynamometru			
T tlak vody v chladiči			
T tlak vody v výfuku			
T tlak vody v sání			
T tlak vody v vodním dynamometru			
T tlak vody v chladiči			
T tlak vody v výfuku			
T tlak vody v sání			
T tlak vody v vodním dynamometru			
T tlak vody v chladiči			
T tlak vody v výfuku			
T tlak vody v sání			
T tlak vody v vodním dynamometru			
T tlak vody v chladiči			
T tlak vody v výfuku			
T tlak vody v sání			
T tlak vody v vodním dynamometru			
T tlak vody v chladiči			
T tlak vody v výfuku			
T tlak vody v sání			
T tlak vody v vodním dynamometru			
T tlak vody v chladiči			
T tlak vody v výfuku			
T tlak vody v sání			
T tlak vody v vodním dynamometru			
T tlak vody v chladiči			
T tlak vody v výfuku			
T tlak vody v sání			
T tlak vody v vodním dynamometru			
T tlak vody v chladiči			
T tlak vody v výfuku			
T tlak vody v sání			
T tlak vody v vodním dynamometru			
T tlak vody v chladiči			
T tlak vody v výfuku			
T tlak vody v sání			
T tlak vody v vodním dynamometru			
T tlak vody v chladiči			
T tlak vody v výfuku			
T tlak vody v sání			
T tlak vody v vodním dynamometru			
T tlak vody v chladiči			
T tlak vody v výfuku			
T tlak vody v sání			
T tlak vody v vodním dynamometru			
T tlak vody v chladiči			
T tlak vody v výfuku			
T tlak vody v sání			
T tlak vody v vodním dynamometru			
T tlak vody v chladiči			
T tlak vody v výfuku			
T tlak vody v sání			
T tlak vody v vodním dynamometru			
T tlak vody v chladiči			
T tlak vody v výfuku			
T tlak vody v sání			
T tlak vody v vodním dynamometru			
T tlak vody v chladiči			
T tlak vody v výfuku			
T tlak vody v sání			
T tlak vody v vodním dynamometru			
T tlak vody v chladiči			
T tlak vody v výfuku			
T tlak vody v sání			
T tlak vody v vodním dynamometru			
T tlak vody v chladiči			
T tlak vody v výfuku			
T tlak vody v sání			
T tlak vody v vodním dynamometru			
T tlak vody v chladiči			
T tlak vody v výfuku			
T tlak vody v sání			
T tlak vody v vodním dynamometru			
T tlak vody v chladiči			
T tlak vody v výfuku			
T tlak vody v sání			
T tlak vody v vodním dynamometru			
T tlak vody v chladiči			
T tlak vody v výfuku			
T tlak vody v sání			
T tlak vody v vodním dynamometru			
T tlak vody v chladiči			
T tlak vody v výfuku			
T tlak vody v sání			
T tlak vody v vodním dynamometru			
T tlak vody v chladiči			
T tlak vody v výfuku			
T tlak vody v sání			
T tlak vody v vodním dynamometru			
T tlak vody v chladiči			
T tlak vody v výfuku			
T tlak vody v sání			
T tlak vody v vodním dynamometru			
T tlak vody v chladiči			
T tlak vody v výfuku			
T tlak vody v sání			
T tlak vody v vodním dynamometru			
T tlak vody v chladiči			
T tlak vody v výfuku			
T tlak vody v sání			
T tlak vody v vodním dynamometru			
T tlak vody v chladiči			
T tlak vody v výfuku			
T tlak vody v sání			
T tlak vody v vodním dynamometru			
T tlak vody v chladiči			
T tlak vody v výfuku			
T tlak vody v sání			
T tlak vody v vodním dynamometru			
T tlak vody v chladiči			
T tlak vody v výfuku			
T tlak vody v sání			
T tlak vody v vodním dynamometru			
T tlak vody v chladiči			
T tlak vody v výfuku			
T tlak vody v sání			



Ruční zkouška:  $n = k$ .

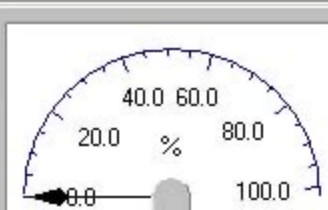
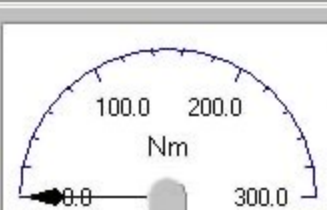
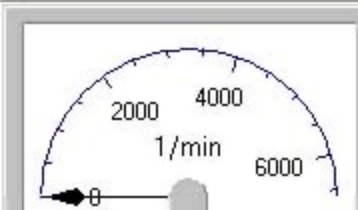
Automatická zkouška: Není navolena

Automatický krok: -

Čas: 10:14:31

Zkouška: 0:00:00

Motor: 616:18:39



OTACKY

0

MOMENT

-1.8

KLAPKA

0.0

0.0

VÝKON [kW]

19.4

T\_Voda in [°C]

2.8

P\_Sání [kPa]

0.0

PE [kPa]

0.0

MT\_ZH [Nm]

18.7

T\_Olej [°C]

-1.52

P\_Výf\_Kat [kPa]

0.000

Profuk\_dp [-]

0.0

KLAPKA\_ZH [%]

16.0

T\_Sání\_Cyl2 [°C]

-65.193

P\_004 [kPa]

0.000

ISOKOR [-]

-23.79

SH [kg/hod]

20.9

T\_Sání\_Filtr [°C]

0.0

P\_rezerva [bar]

0.103

Lambda\_BC [-]

16.6

T\_Výf [°C]

0.0

P\_rezerva [bar]

0.0

rezerva\_sp.1 [-]

21

T\_Výf [°C]

0.0

P\_rezerva [bar]

-15.0

rezerva\_sp.1 [-]

21

T\_K\_002 [°C]

0.0

P\_rezerva [bar]

18.5

T\_ASD\_lož1 [°C]

0.0

SMER [g/kWh]

0.0

T\_rezerva [°C]

0.00

STEP TM [sec]

18.6

T\_ASD\_lož2 [°C]

Ovládání Přehled Přehled II Přehled III Grafy Grafy II Skripty Regulátory Regulátory2 Audit

	Příprava		$n = k$		Automat		Ovl.OP		Pohon
	Chod		$M = k$		Pauza		Zapalování		
	Starter		$M / n$		Spotřeba		---		Rezerva
	Stop		$M=0$		Záznam		---		Reset

23%      0%      0%

Otácky žádané      Moment žádaný      Servo žádané

1500      0      0

Krok

1

5

10

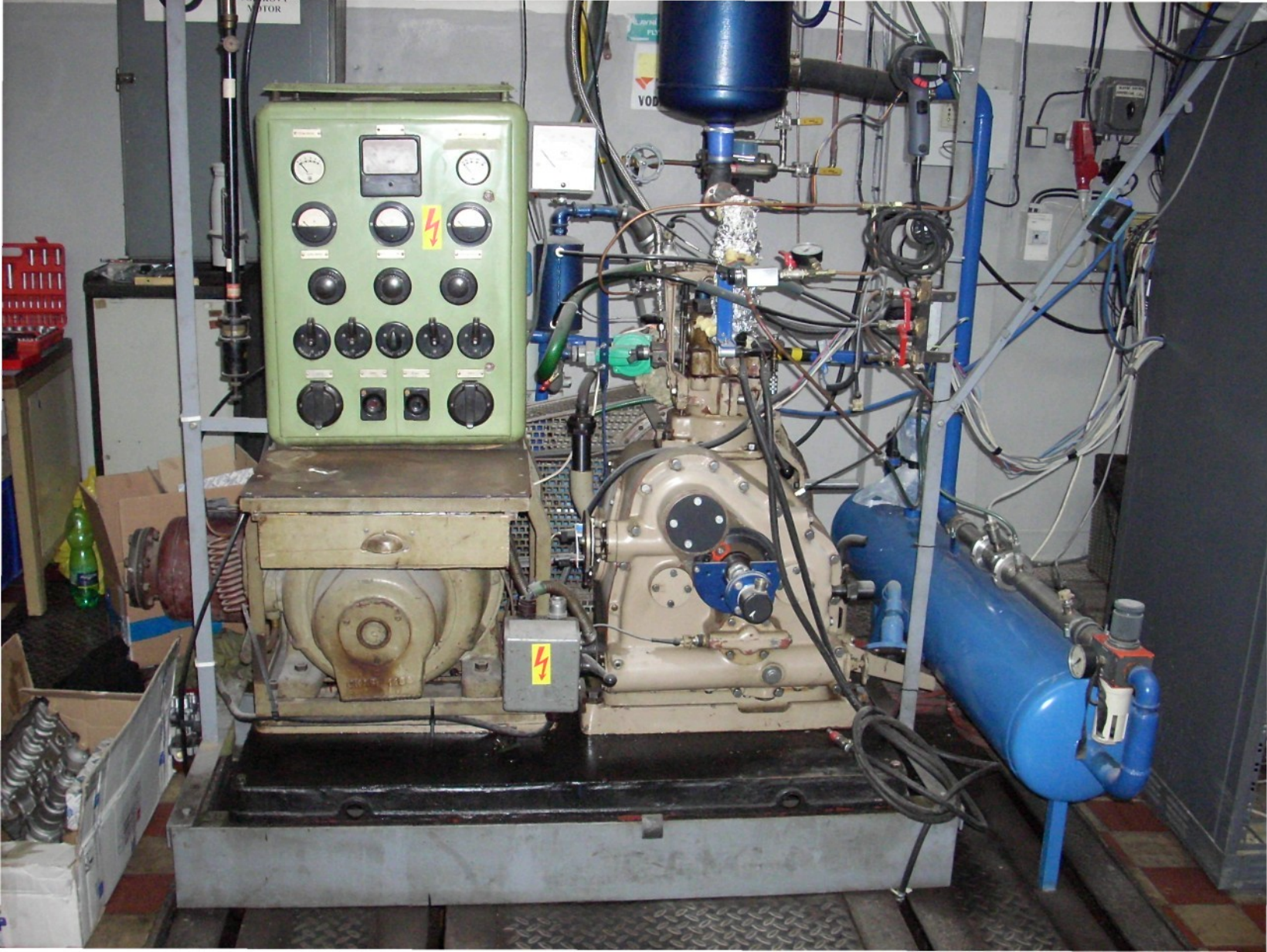
50

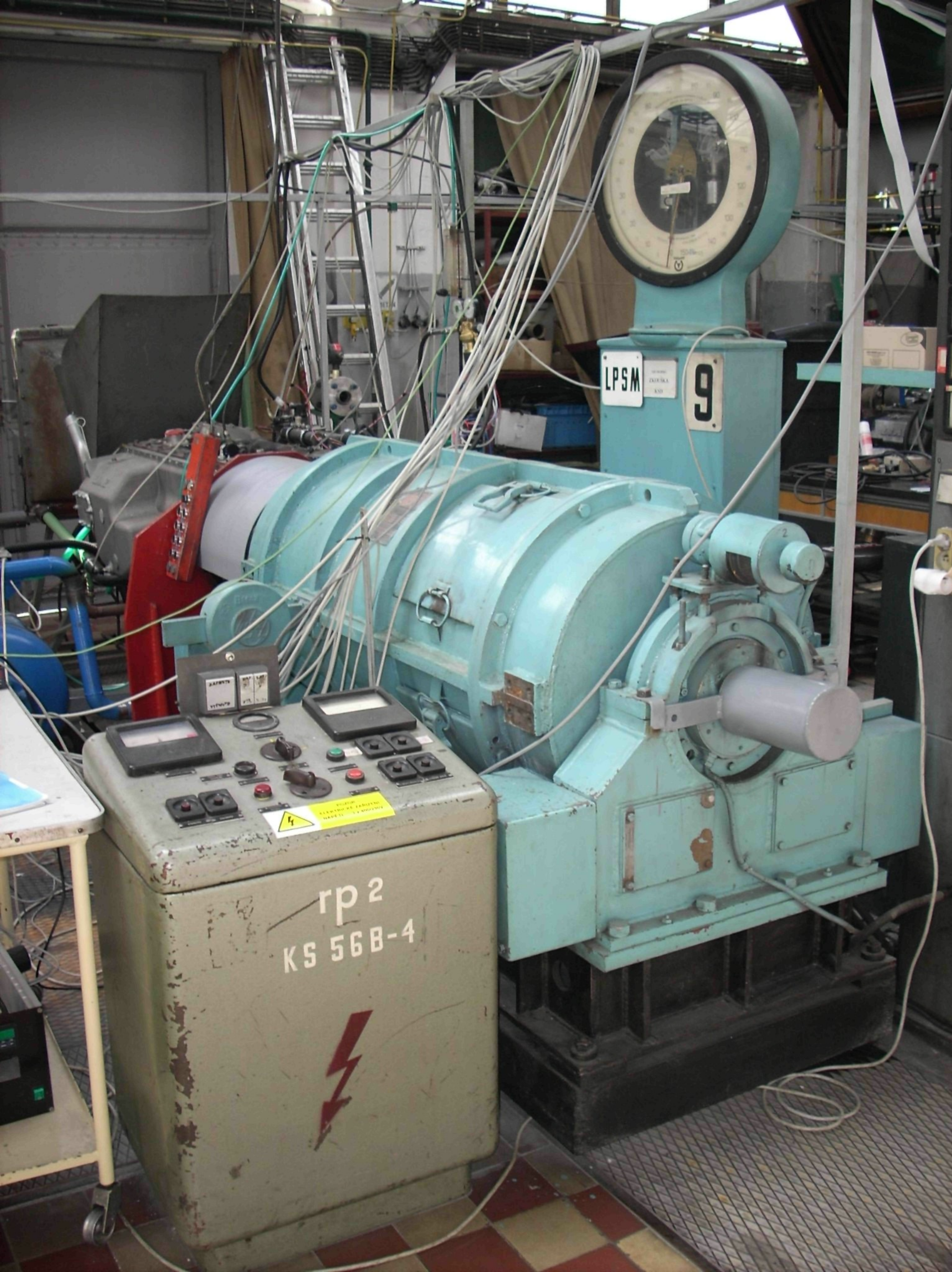
100

500

— Měření: pracuje Režim: Ruční - Spotreba - Skript — Datum: 30.4.2008







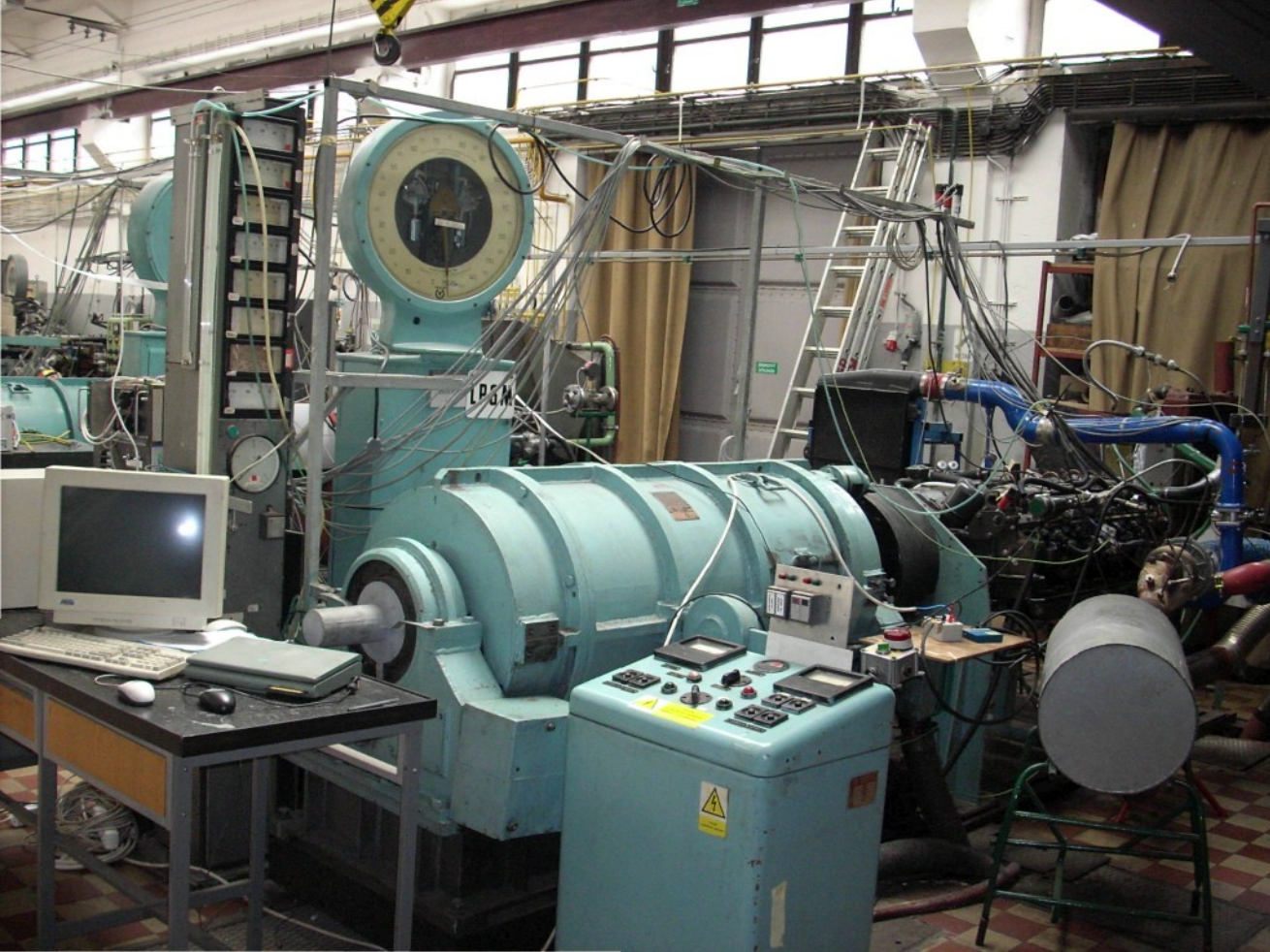
LPSM

9

rp2  
KS 56B-4







26. 05. 2009

13:40

Zadej! &gt;&gt;&gt;

Pbar [Pa]

96660

Vlhkost [%]

40

ZDE VYPNI APLIKACI ! &gt;&gt;&gt;

Teplota chladící vody [°C]

241

Teplota oleje [°C]

229

Teplota paliva [°C]

247

Množství spalovaného metanu [kg/h]

-0.002

Teplota nasávaného vzduchu [°C]

236

Tlak oleje [kPa]

0

Tlak paliva za regulátorem [bar]

00

Množství spalovaného vodíku [kg/h]

-0.010

Teplota vzduchu za dmychadlem [°C]

241

Teplota vzduchu v sání [°C]

226

Teplota spalin před turbínou [°C]

25

Teplota spalin za turbínou [°C]

26

Tlak vzduchu za dmychadlem [kPa]

-0.044

Tlak vzduchu v sání [kPa]

-149

Tlak spalin před turbínou [kPa]

-0.09

Množství nasátého vzduchu [m^3/h]

0

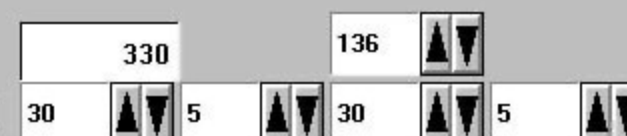
UEGO [V]

500

Aktuální poloha klapky

50.0

[ % ]



1.003

VYPNUTO

Krokový motor klapky ZAPNUT

Ovládácí obvod plynu ZAPNUT

Ovládácí obvod ŘJ ZAPNUT

Zadej polohu klapky (0 až 660)



Zadej požadovanou teplotu vody &gt;&gt;&gt;

90

Zadej požadovanou teplotu plynu &gt;&gt;&gt;

40

Kr. mom.    Otáčky    Počátek vef.    Délka vef.

?      ?

?      ?

?      ?

Předstih

?

Poznámka

?

č. archivu

0

ARCHIVUJ





## NASTAVENÍ [F2]

0.0V

&gt; 5.0V

= UL021 [F9]

Měření emisí odpojené

Odje přívěs

Polivinylchlorid

**TNO**

00

-00

[ppm]

Rozsah analyzátoru: 100

**NOX**

-0

-0

[ppm]

Rozsah analyzátoru: 6

Tlak vzorku: 0 NPa

**CO**

0

-0

[ppm]

Rozsah analyzátoru: 5000

**CO2**

000

000

[%]

Rozsah analyzátoru: 16

## Archivace

Komentář (max. 30 znaků):

Jméno archivu:

C:\Data\_emise\09-05-26\_000.dM

0.0V

&gt;

UL021 [F9]

Měření čisticí odpojené

Odje přívěs

Polivinylchlorid

009

-00

[ppm]

CO2 - výf

Rozsah analyzátoru: 16

CO2 - zředěný vz.

000

000

[%]

Rozsah analyzátoru: 2

Teplota vzorku

00

[°C]

Teplota zředěného vzorku

00

[°C]

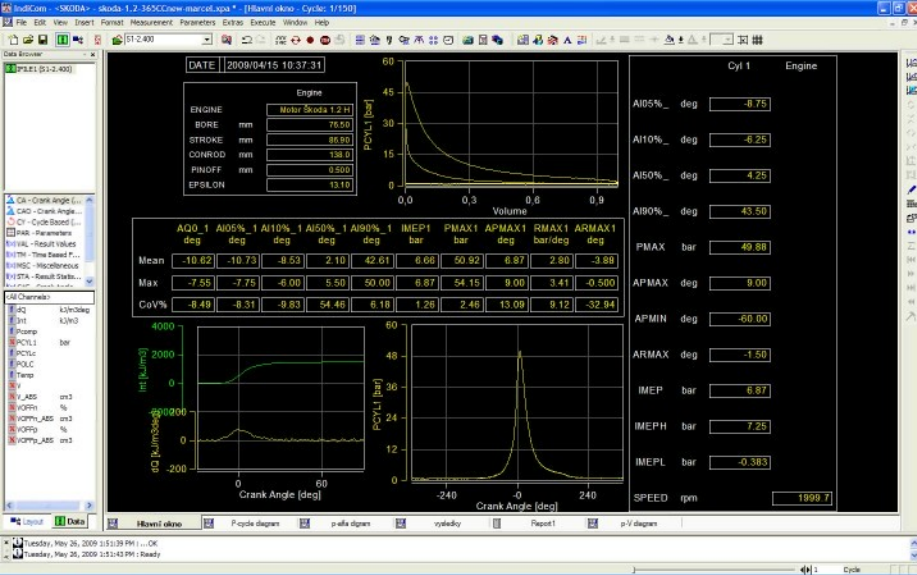
Teplota prosátého vzorku

00

[°C]

## Ředící poměr

  
10000



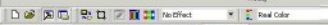


Ready

Speed

3000 RPM

AVL



No Effect

Real Color

256

100%

**AVIA**

- Measurement**
  - pol
  - avia1
  - heat1
  - Racord
  - Record1
  - Record2
  - heat\_bt1
  - heat\_bt2
  - heat\_bt3
  - heat\_bt4
  - heat\_bt5
  - heat\_bt6
  - heatavent
  - rankangle
  - rankangle1
  - FatherMOTOR
  - Test\_brykly
  - WarmerMotor
  - Pressuraync
  - Test\_brykly1
  - Test\_brykly2
  - Test\_brykly3
  - heat\_bt7\_12\_07
  - heat\_bt8\_12\_07
  - heat\_bt9\_12\_07
  - heat\_bt10\_12\_07
  - heat\_bt11\_12\_07
  - heat\_bt12\_12\_07
  - heat\_bt13\_12\_07
- Evaluation
- Reference

**Image Selection****Single Image**

Position

Angle:

0.0

°CA

Update

Repetition:

0

Alter Status

Exchange

**Range**

Start

Angle:

0

°CA

Set new Start

Repetition:

0

Set new Stop

Enable Range Only

**Stop**

Angle:

0

°CA

Enable

Repetition:

0

Disable

Reset

**Record**

Enable

Disable

Reset

Number of Images enabled: 44

Records

June 02, 2009 - 03:54 PM

Light Bolt found

Messages



VisiScope - test\_tr7...



15:56

